

Magfizika fizika tanár szakos hallgatók részére

Németh Judit

1998. július 15.

Tartalomjegyzék

1 Bevezetés	4
1.1. Atommag alkotórészei köréttől különállóak	4
1.2. Bonyolódási állapotok	6
1.3. A magfizika kezdetei	7
1.4. β bomlás	7
1.5. Antitrónák	9
2 Elemtípusok fizikája	11
2.1. Az elemi rész fogalma	11
2.2. Különállók	11
2.3. Elemtípusok bonyolásai	12
2.4. Elemtípusok legfontosabb tulajdonságai	13
2.5. Szimmetrikus és megmaradt törvények	16
2.6. A paritás és megmaradás szűrője	18
2.7. Megfigyelhető mennyiségek és asszimmetrikus	19
2.8. Megmaradt mennyiségek összefoglalása	20
2.9. Az elemi részek rendszerezése	21
2.10. A kvarkok	22
2.11. Elemtípusok rendszerezése	24
3 Magerők	26
3.1. A határrezonansok fogalma	26
3.2. A parciális hullámok módszere	27
3.3. Két nukleon rendszere: a deuteron	27
3.4. Isospin	29
3.5. Kis energiájú nukleon-nukleon szövök	30
3.6. Nagyenergiájú szövök	30
3.7. Két nukleon potenciál általános alakja a kísérletek alapján	32
3.8. Két nukleon potenciál általános alakja szimmetria elvekből	33
3.8.1. Vektorok vektorizációja szimmetrikus operációk esetén	33
3.8.2. A legalábban osztott potenciál szimmetriaelvek alapján	33
4 Alapállapotú atommagok	35
4.1. Magmodellök	35
4.1.1. Modellalkotás a magfizikában, maganyag fogalma	35
4.1.2. Maganyag	36
4.1.3. Magmodell típusai	36
4.2. Telítettség és csoppmodell	36
4.3. Flüggetlen részecske modellök	37
4.3.1. Fermi gáz modell	37
4.3.2. Harmonikus rezonáns modell	40
4.3.3. Hartree Fock kiszélések	42
4.3.4. Flüggetlen részecske modellök	43
4.3.5. Az egyrészecske energia fogalma	44
4.3.6. Flüggetlen részecske modell alkalmashatóságának oka	44
4.4. Magmomentumok flüggetlen részecske modell alapján	45

4.4.1. Spin	45
4.4.2. Elektromágneses kvadrupól momentum	45
4.4.3. Magok mágneses momentumáma	46
4.5. Egyesített magmodell	47
4.5.1. Atommagok energálja deformált potenciálvölgyben	47
4.5.2. Kollektív modell	48
4.5.3. Egyesített magmodell	49
4.6. Állapotegyenlet és effektív tömeg	50
5 Gerjesztett magok	52
5.1. A reakciók típusai, reakciómechanizmus	52
5.2. Magreakciók leírása	54
5.3. Magreakciók hatáskeresztsétele	56
5.4. A béta bomlás elminősége	58
5.5. Atommagok elektromágneses átmenet	59
5.6. Maghasadás	61
5.6.1. A hasadás kísérleti leírása	61
5.6.2. Hasadási termékek	65
5.7. Hasadási energia meghatározása héjmodellből	67
5.8. Az atomenergia felhasználása	68
5.8.1. Neutron kibocsátás hasadáskor	69
5.8.2. Hasadási reaktorok	70
5.8.3. Fúziós reaktorok	72
5.8.4. Atombombák	73
6 A magfizika felhasználása	74
6.1. A magfizika a fizika egyéb területein	74
6.2. Sugárterhelés	75
6.3. A radioaktivitás orvosi felhasználása	77
6.4. Kormeghatározás radikaktív izotópokkal	77
6.5. Izotópok ipari és mérgeződésig alkalmazása	78
7 Csillagfejlődés	80
7.1. Virágzó törzsel	80
7.2. A Nap energiatermelése	81
7.3. A csillagokban levajló magreakciók	81
7.4. A csillagfejlődés menete	82
7.5. A csillagfejlődés végállapota	84
7.5.1. Fehér törpeök létállomása	84
7.5.2. Supernova robbanás	85
7.6. Neutroncsillag	89
7.6.1. A neutroncsillag megfigyelési lehetőségei	89
8 Kosmológia	91
8.1. A modern kosmológia kezdetei	91
8.2. A newtoni Univerzum fejlődése	92
8.3. Extrapoláció viszsa	95
8.4. Big Bang modell	95
8.5. Az Álet létállomásának és az interstelláris kötelezettségek feltételei	97

1. fejezet

Bevezetés

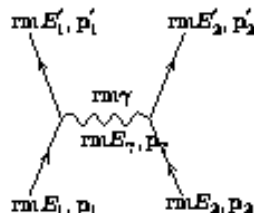
1.1. Atommag alkotórészei közötti kölcsönhatások

Mi történik az atommag alkotórészei?

1932, a neutron felidélezése óta tudjuk, hogy az elektromágneses és gravitációs erő nem jó. Kell lenni erre kölcsönhatásnak!

Az elektromágneses kölcsönhatás folyamatának áttekintése

Töltött részek között fotonok kiosztása



Rugalmassági áratlan: $E_1 = E'_1$, $E_2 = E'_2$ Impulsus megtartása a két osztópontban: $p'_1 = p_1 + p_7$,
és $p'_2 = p_2 - p_7$

Energiamegmaradás a két osztópontban: $E_1 = E'_1 + E_7$, $E_2 = E'_2 - E_7$.

Ezekből az következik, hogy $E_7 = 0$, és egyben van $p_7 > 0$ impulnsza. A fotonokra szokásos $E = pc$ összefüggés nem áll fenn ekkor a következő fotonakra. Nem valódi foton csatolható ki, hanem virtuális!

Összkötés előtt a teljes energia: $E = E_1 + E_2$

Foton emisszió után, de reabsorpció előtt: $E = E_1 + E_2 + E_7$

Nem marad meg az energia, ha $E_7 > 0$

Virtuális foton kilépésének magyarázata a határhatlanossági reláció. A fotonemisszió és reabsorpció kölcsönhatás elvált. Δt ideig fennállhat. ΔE energiabizonytalanság. $\Delta E \Delta t \approx h$. Ezért:

$$\Delta t \approx \frac{h}{\Delta E} = \frac{h}{\hbar \omega} = \frac{1}{\omega}$$

A foton által megtett út Δt idő alatt: $\Delta s \approx \Delta t \cdot c = \frac{c}{\omega}$. Az ω térfogatban kicsi, így Δs térfogatban nagy lehet.

Zérus tömegű kölcsönhatás részek végtelen hatótávolságot jelentenek. Ilyenek az elektromágneses és a gravitációs kölcsönhatás. (A foton és a graviton kölcsönhatik.) Ez az egyik oka, hogy használhatanak.

Az erős kölcsönhatás folyamatának áttekintése:

Analígia alapján hogyan irható le az erős kölcsönhatás?

A kölcsöntő részecske legyen most egy m nyugalmi tömegű részecske a foton helyett, ennek a szeréje során az energiabizonytalanság $E = mc^2$. Mag mérése: $a \sim 10^{-13} \text{ cm} = 1 \text{ fm}$. A virtuális kölcsöntő részecske esetén utat futja be a rendelkezésre álló időn alatt, akkor $a \approx c\Delta t \approx \frac{\hbar}{2\Delta E} = \frac{\hbar}{2mc}$. Ebből a kölcsöntő részecske tömegére adódik:

$$m = \frac{\hbar}{2 \cdot c \cdot a} \approx 10^{-26} \text{ kg} \approx 100 \text{ mev}$$

Yukawa gondolatmenete:

Yukawa gondolatmenete matematikailag volt, de ott is megtalálható az elektrodinamikai analígia. Az elektromágneses potenciállra fennáll a Poisson-egyenlet: $\Delta\Phi = 0$. A kvantummechanikában az impulmus $\vec{p} = -i\hbar\nabla$, ezért a Δ operátor: $\Delta = -\frac{\partial^2}{\partial r^2}$. A Poisson-egyenlet tehát $\vec{p}^2\Phi = 0$ -ként is felírható. Ennek relativisztikus általánosítására – a négyesimpulmus $p_\mu p^\mu = \frac{p^2}{c^2} - \vec{p}^2 = m_\Phi^2 c^2$ segítségével – a Klein-Gordon-egyenletet adódik:

$$\hbar^2 \left(\frac{1}{c^2} \frac{\partial^2}{\partial r^2} + \Delta \right) \Phi - m_\Phi^2 c^2 \Phi = 0$$

Statikus megoldással:

$$\Delta\Phi - \frac{m_\Phi^2 c^2}{\hbar^2} \Phi = 0$$

Oldjuk meg a statikus Klein-Gordon-egyenletet. A Laplace-operátor polárkoordinátaiban: $\Delta = \frac{\partial^2}{\partial r^2} + \frac{2}{r} \frac{\partial}{\partial r} - \frac{1}{r^2}$. Bevezetve a $\delta = \frac{\hbar}{mc}$ jelölést, az

$$\frac{\partial^2}{\partial r^2} \Phi + \frac{2}{r} \frac{\partial}{\partial r} \Phi - \frac{\delta^2}{r^2} \Phi = \frac{1}{\hbar^2} \Phi$$

egyenletet kapjuk. Keresünk a megoldást gombaszimmetrikus esetre. Ekkor $\frac{\partial^2}{\partial r^2} \Phi = 0$, hiszen L^2 -ben a szögek szerinti deriváltak szerepelnek. Egyenletünköt körül átalakítva kapjuk:

$$\frac{\partial^2}{\partial r^2} (r\Phi) = \frac{1}{\hbar^2} (r\Phi)$$

Az $r\Phi = u$ függvény használatával:

$$\frac{\partial^2 u}{\partial r^2} = \frac{1}{\hbar^2} u$$

alakú lez. egyenletünk. Ennek megoldása az exponenciális függvény:

$$u = Ae^{\frac{r}{\hbar}} + Be^{-\frac{r}{\hbar}}$$

Ha $r \rightarrow \infty$, akkor $u \rightarrow 0$ feltétel teljesülés, ezért $A = 0$. Visszatérve Φ -re kapjuk a Yukawa potenciált:

$$\Phi = -g \frac{e^{-\frac{r}{\hbar}}}{r}$$

A hatótávolság

$$r = \frac{\int r |\Phi|^2 dV}{\int |\Phi|^2 dV} = \frac{\int r e^{-\frac{2r}{\hbar}} dr}{\int e^{-\frac{2r}{\hbar}} dr} = \frac{\hbar}{2} = a = \frac{\hbar}{2mc}$$

azaz ugyanaz jött ki, mint a hatótávolság relativity!

A potenciál energia előjele negatív, mert a potenciál vonzó:

$$V = -g^2 \frac{e^{-\frac{r}{\hbar}}}{r}$$

Ha $g = e$ és $\hbar = \infty$, viszakaptuk a Coulomb potenciált.

$$g \sim 6e, \quad \frac{e^2}{\hbar c} = \frac{1}{137}, \quad \frac{g^2}{\hbar c} \sim 1$$

Következmény: 2 foton kiosztása valószínűlhető, 2 meson kiosztása jelentős! Yukawa gondolatmenete alapján a neutron illetve pi-meson felidézése.

1.2. Bomló Állapotok

Tekintünk független részek halmazát. Egy részeske bomljon el λ valószínűséggel egyetegyel idő alatt. Ha a t időpillanathan $N(t)$ részeske van összesen, a dt idő alatt elbomló részek száma $dN = -\lambda N(t)dt$, ebből az egyszerű bomlás differenciálegyenlete adódik, aminek megoldása az exponenciális bomlásrövénnyel: $N(t) = N(0)e^{-\lambda t}$.

Félleltartam, amikor $N(0)/2$ rész van jelen, $T_{1/2} = \frac{\ln 2}{\lambda}$. Az átlagos leltartam (τ) az, amennyit átlagosan egy részeske él az elbomlása előtt:

$$\tau = \frac{\int t e^{-\lambda t} dt}{\int e^{-\lambda t} dt} = \frac{1}{\lambda}$$

Tekintünk most kvantummechanikailag egy részesket, azaz viszalapunk egy bomló állapotot. Egy E energiájú részeske hullámföldje: $\Psi(t) = \Psi(0)e^{-\frac{i}{\hbar} Et}$. Ha E valós, akkor $|\Psi(0)|^2 = |\Psi(t)|^2$. Az a részeske nem bomlik el. Ha azonban az energia tartalmaz képtetes részt, $E = E_0 - i\frac{\Gamma}{2}$, akkor $|\Psi(t)|^2 = |\Psi(0)|^2 e^{-\frac{\Gamma}{\hbar} t}$. Viszalapunk az exponenciális bomlásrövénnyel, ha $\Gamma = \lambda\hbar$. Így a bomló részeske hullámföldje:

$$\Psi(t) = \Psi(0)e^{-\frac{i}{\hbar} E_0 t} e^{-\frac{\Gamma}{2} t}$$

Nézzük meg, mi a valószínűsége annak, hogy a kibocsátott energia E. Fourier transzformációval meglapjuk a valószínűségi amplitudót. Egy f(t) függvény Fourier-transzformálja:

$$g(\omega) = \frac{1}{\sqrt{2\pi}} \int_{-\infty}^{\infty} f(t) e^{i\omega t} dt$$

Az f(t) helyett az állapotfüggvényt transzformálva és figyelembe véve, hogy $E = \hbar\omega$, illetve $\Psi(t) = 0$ ha $t > 0$,

$$g(\omega) = \frac{1}{\sqrt{2\pi}} \Psi(0) \int_{-\infty}^{\infty} e^{i(-\frac{\hbar\omega}{\hbar})t} e^{-\frac{\Gamma}{2}t} dt = \frac{\Psi(0)}{\sqrt{2\pi}} \frac{i\hbar}{\hbar\omega - E_0 + \frac{\Gamma^2}{4}}$$

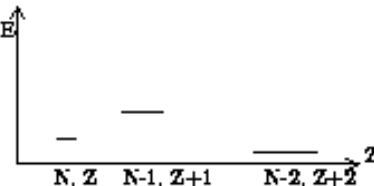
Az E állapot valószínűsége:

$$P(E) = |g(\omega)|^2 = \frac{C}{(E - E_0)^2 + \frac{\Gamma^2}{4}}$$

A C együtthatót a valószínűség egyre való normalizálával kaphatjuk meg. Így a valószínűségi eloszlásra meglapjuk az ún. Breit-Wigner-formulát:

$$P(E) = \frac{\frac{\Gamma}{2\pi}}{(E - E_0)^2 + \frac{\Gamma^2}{4}}$$

ahol $\tau = \frac{1}{\lambda} = \frac{\hbar}{\Gamma}$ a bomló állapot félleltartama, és $\Gamma = \lambda\hbar$ az energiaszélesség: $\Gamma\tau = \hbar$.



1.3. A magfizika kezdetei

- Atomok, csomóhatárolás.
- Förmül: $m_{\text{atom}} \sim n \cdot m_{\text{H}}$.
- Radionaktivitás 1896 Becquerel.
- 1903 – Rutherford, Soddy: az elemek átalakulnak.
- 1911 – Rutherford: az atommag felismerése.

Aldozatokkal?

Z törlesztés, $A m_H$ tömeg.

$$r = r_0 A^{\frac{1}{3}}, \quad r_0 = 1.15 \cdot 10^{-15} \text{m.}$$

- Thomson modell: A proton, $A-Z$ elektron
- Problémái:

1. Spin $2A - Z$ feles helyett A feles

2. Mágneses momentum:

$$\mu_e \sim O\left(\frac{e\hbar}{2m_p c}\right).$$

3. Kötései energia:

$$\Delta p \sim \frac{\hbar}{a} \quad \Delta E \sim \frac{\hbar^2}{2a^2 m} \quad a \sim 10^{-18} \text{cm.}$$

$\Delta E \sim 10 \text{MeV}$ protonra, $\sim 1000 \text{MeV}$ elektronra.

- 1932 – Chadwick: a neutron felismerése.

Atommag: Z proton, $A-Z$ neutron. Ez az előző problémákat mind megoldja.

1.4. β bomlás

A radioaktív bomlások tanulmányozása során magától értetődően merül fel a kérdés: ha a határhatárolásig relatív értelmében elektron nem lehet a magban, honnan erednek a β -bomlás során kilépő elektronok? A világot Fermi adta meg, aki azt a gondolatot vetette fel, hogy az elektronok kilépésük pillanatban keletkeznek olyan módon, hogy egy neutron protonra és elektronra bomlik szét.

Egy magára hagyott neutron 17 perc alatt bomlik el protonra és elektronra, miközben energia szabadul fel, ugyanis a neutron tömege több mint a proton és elektron tömegének együttese. Az atommagban azonban a neutron általban nem tud elbomlani. Képzeljük el, hogy alkotnak egy atomban az elektronok, a magban is a protonok és a neutronok adott kvantummállapotokban meghatározott energiával rendelkeznek. A Pauli-elv által minden egy adott állapotban csak egyetlen részecske lehet. A neutron tehát csak akkor bomlik el a magban, ha a bomlás során keletkezett proton energiája a Pauli-elv általánban nem lesz túl magas, vagyis még mindig energianyereség van. Ugyanezt a gondolatmenetet a kötötő görbét tanulmányozva is megérthetjük. Ha a magban egy neutront protonra váltottaunk, miközben elektron lép ki, a felszabadult energia (Mivel kisebb a fülempírkus kötötő energia léptet.)

$$\Delta E = -(m_n - m_p - m_e)c^2 + c_3 \frac{(2Z+1)}{A^{\frac{1}{3}}} - c_4 \frac{4(N-Z-1)}{A}.$$

Ha $\Delta E < 0$, a bomlás végrehemhet, $\Delta E > 0$ esetén azonban a neutron stabilis a magban.

A β -bonlás tanulmányozása során megvizsgálták a kiklépő elektronok energiáját. Az azt tapasztalták, hogy az energiaspektrum folytonos. Ez árthatetlennek tűnt, ugyanis a radioaktivitás α és γ -sugáradsz vonalas szerkezetétől. A kvantummechanika törvényei ismeretében azt várunk, hogy az elektronok energiaja a β -bonlás előtti Át utáni magállapotok energiájától függő adott. Eztük legyen.

A probléma sokkalig foglalkoztatta a kutatókat. Először azt tételezték fel, hogy az elektronok energiaja azért folytonos a mérés pillanatában, mert az elektronok az atomburkoló áthaladva az ott levő elektronokkal kölcsönhatásba kerülnek és energiat vesznek. Ez az energiaszteset az, ami folytonos. Az elnáleletet 1927-ben ellenőrizték. Olomszekrénybe vitték radioaktív bázisot, és enyhébb megakadályozták, hogy az elektronok elhagyvának a rendszerből, a vastag olomréteg ilyenkor ugyanis lelassítja az elektronokat, a teljes mosgási energiájuk hővé alakult. Megmuttva az olomrétegből felmelegedését, meghatározták a kiklépő elektronok összesenergiáját. Az elnálelet szerint az egy részesre eső energia az elektronok maximális energia kellene hogy legyen, a kísérlet szerint ezzel szemben az átlagos energiának adódott.

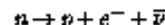
Az eredmény megrázó volt: a fizikusok számára, ugyanis úgy tűnt, valami probléma van az energiamegmaradással. Bohr, Landau és Dirac már arra gondoltak, hogy β -bonlásnál és átadában elemi folyamatoknál az energiamegmaradás csak átlagosan teljesül, így az egyes folyamatoknál a kiklépő elektronok energiaja finikül. Ez a feltételezés helytelennek bizonyult, mivel megállapítva, a Z és Z+1 rendszámnál mag körötti energia különbséget, kiderült, hogy az a β -bonlás során kiklép részek maximális energia, nem pedig az átlagenergia. A β -bonlás során általában energia vesz el!

További megfigyelések arra mutattak, hogy nem csak az energiamegmaradással, hanem az impulussal is. Impulussmomentum megmaradással is baj van. β -bonlás során a tapasztalat szerint a magok impulussmomentuma 1-gyel váltózik, a kiklépő elektron spinje pedig feles. Feles impulussmomentum hiány van tehát. Mindezért egy nyugvó mag β -bonlásakor nem pont az elektronnal ellentétesen verődik viszont, ahogy azt az impulussmegmaradás megkívánta, tehát impulusszteset is van. Megállapíták az impulusz és energiaszteset közti összefüggést, és

$$\Delta p \sim \frac{\Delta E}{c}$$

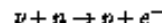
adtódott. Energia, impulusz és impulussmomentum szenteseteg együtt! Ez már olyan feltűnő volt, hogy a kutatók gondolatmenetét határozott irányba terelhette.

1931-ben Pauli vetette fel a gondolatot, hogy a β bonlásnál fellépő rendellenességek oka az, hogy a bonló magból az elektron mellett még egy másik részeske is kiklép. Mivel a töltésmegmaradás rendben van, ez a részeske semleges kell hogy legyen. A feles spinhiány arra mutatott, hogy a kérthető részeske feles spinál, a fermi összefüggés az impulussztesetegre pedig arra, hogy a nyugalmi tömege néres. Végül az a tény, hogy atomrétebbe vár radioaktivitású anyag esetén a energiaszteseteg van, azt jelenti, hogy a kiható részeske nagy áthatoló képességgel, az olomrétegből kihatásba hozza és elnyeli a nélküli áthaladhat. Ez a hiányos és csak indirekt megfigyelt részesketet neveztek el neutrinnak, jele ν . A β bonlás elnáleletét Fermi dolgozta ki részletesen 1934-ben. Ezenkívül a β bonlás során a



bonlásfolyamat, megvégbe. A Fermi elnálelet sikere a neutrino létenek indirekt bizonyítéka. A neutrinót megfigyelni csak 1964-ben tudtak, az indirekt β -bonlás során.

Reines 1964-ben kozmikus sugáradszsal keletti nagyenergiájú neutrónikkal bombázott ^{37}Cl volt. A kísérlet során a neutrino β -bonlást indukált:

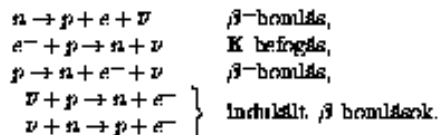


A kiklépő elektronokat sikeresített megfigyelni. Ez a folyamatot nevezik indirekt β -bonlásnak, ami a neutrino létenek direkt bizonyítáka.

Amikor a magban találak proton van a neutronok számlához képest, a β -bonlás fordítottja, az ún. K-befigyelés következik be: egy proton a legelső K elektronrétejből befog egy elektronat. Az neutrino alakul át. K-befigyelést először Alvarez figyelt meg 1937-ben. A kísérlet véghelyszíne nehéz. A folyamatot úgy lehet megfigyelni, hogy mivel a K héjon megfeszítik egy elektronpálya, egy kifel

ból elektron megy át a K-hártya energiadíllapotiba, miközben a kibocsátott sugárás már nem a Z, hanem a Z-1 rendszámú atom átmeneti sugárása.

A β bomlás típusai:



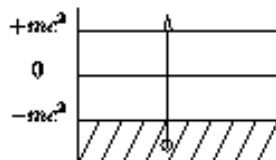
1.5. Antirések

Ha a relativisztikus energia-törmege használható, nézünk, arra a megfelelő eredményre jutunk, hogy az energia és a törmeg között az előjel kétfélé lehet:

$$E = \pm \sqrt{(mc^2)^2 + p^2c^2}.$$

A Schrödinger egyenlet relativisztikus általánosításnak, a Dirac egyenletnek négy különböző megoldása van, a két spinnek és a két előjelnek megfelelően. Ha negatív energia állapotok is lehetségesek, minden részecske negatív energia állapotba alak átmenetl, a másikról követően értelmezhető. Dirac azt a gondolatot vetette fel, hogy az ismert részecskék között nem mindenek át negatív energia állapotba, mert csak az állapotok már mind be vannak töltve részecskékkel. Az a Pauli elv értelmében egy állapothan csak egy részecske lehet.

Mi történik, ha egy ilyen negatív energiájú állappal energiat készítünk? Ha az energia elég nagy ahhoz, hogy a részecske energiája $-mc^2$ helyett $+mc^2$ legyen, a negatív energiájú részecske pozitív energiájú állapotba mehet át. Az ábrán látható módon ilyenkor megjelenik egy negatív töltésű, pozitív energiájú elektron, és az egyenletesen betöltött negatív energiájú állapotok között megjelenik egy lyuk.



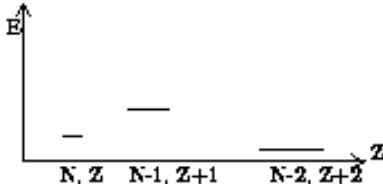
Negatív energia, negatív töltés hártya egy pozitív energiájú, pozitív töltésű részecskének felel meg. Dirac esztétikai rajzban, hogy tulajdonképpen a Dirac egyenlet megoldása nem négyfélé pozitív és negatív energiának felel meg, hiszen az utóbbinak nincs olyan értelme, hanem pozitív és negatív töltésű különböző spinű részecskéknek. Dirac teljesen spekulatívan megírta, hogy a természetben létezni kell az elektronnal arányos tömegű de ellentétes töltésű és magnezes momentumú fehér spinű részecskéknek, amit pozitronnak nevezett el. Egy pozitron elektronnal összetalálkozva fotonokba sugárulik szét. 1928-ban Anderson kozmikus sugárásban megtalálta a pozitront.

A pozitront az elektron antirésszének sokszor nevezik. Nem csak a elektronnak, de a protonnak, neutrónnak, vagy minden részecskének megalkotik az antiréset. Az antiprotonnal kapcsolatban sokszig téves nézetek terjedtek el a nem tudományos közvéleményben, aminek egyik talán éppen az anti elnevezésében van. A pozitron pontosan ugyanolyan értékű ugyanolyan stabil részecske, mint az elektron. Egy magára hagyott pozitron végtelen hosszú ideig él. Egy antiprotonból és egy pozitronból álló rendszer ugyanolyan atom, mint a protonból és elektronból álló, ugyanolyan spektrummal, kötőssel stb. Mivel azonban egy pozitron és egy elektron összetalálkozva szét tud sugárzni, szükségesen csak ez egyikból lehet nagy mennyiségen a Földön. Az, hogy itt az elektronból van

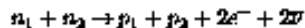
sok, lehet teljesen véletlen.

A töltött részlek antineutrino eljelben különbözik a részerekétől. A semleges neutrino antineutrino a mágneses momentum eljelében különbözik a neutrontól. Kérdez, miiben különbözik a neutrino az antineutrinotól és van-e együttalán különböző lehetőség. Erről a kérdésről választ a kettős β - bomlás adhat.

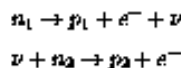
Előfordul előnként, hogy ha az alábbi ábrán látható módon egy egy neutrino protonról alakul át, a rendkívüli energiát veszi.



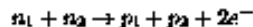
Ha azonban két neutrino alakul át két protonról, energianyeréség van. A kettős β - bomlás két-féle képpen lehet végre történő függően, hogy a neutrino és az antineutrino között van-e különbség vagy nincs. Ha van különbség, a végrehemnő folyamat:



Ha azonban a ν és $\bar{\nu}$ között nincs különbség, a második β - bomlás indokolt módon lehet végre.



Végeredményben tehát az



folyamat játszódik le. ^{124}Sn és ^{124}Te esetére meghatározották elmenetét a kettős β - bomlás valószínűségét. Az előszörben a felezési idő 10^{27} évnél, a második esetben 10^{18} évnél adódott. A kísérletek tanulsága szerint a kettős β - bomlás időtartama nem rövidebb 10^{20} évnél. Ez azt jelenti, hogy a neutrino és antineutrino különböző részleknek.

Az ötvenes évek végén kiderült, hogy a neutrino és antineutrino nem csak fermiontársban különböznek egymástól. Ez a felidézés a fizika meglepetései közé tartozott.

2. fejezet

Elemi részek fizikája

2.1. Az elemi rész fogalma

Az elemiség fogalma szerkezettől és energiától függ.

$$\Psi(1,2) = \phi_A(1)\phi_B(2)\chi(r_{12})$$

Amíg ϕ_A és ϕ_B alapállapotú objektum és csak a relatív mozgásuk jön be, addig elemi résznek tekinthetők.

A hígyányszám a Frank-Hertz kísérletben, ha elektronokat beszűnik át rajta, 4.9 eV alatt elemi résznek vehető. 4.9 eV-nál gerjesztések, 10.4 eV-nál kilép belőle egy elektron. Ekkor megjelenik a szerkezet.

Atommag esetén p és n lép ki a magból.

Nukleon + elektron \rightarrow gerjesztett nukleon állapot, π kilépéssel elbomolhat.

Az elemiség relativ dolog !

2.2. Külcsönhatások

Típus	Erfüggője jellemző tényleges
Erős	$\sim 10^0$
Elektromágneses	$\sim 10^{-2}$
Gyenge	$\sim 10^{-12}$
Gravitációs	$\sim 10^{-44}$

Az elektromágneses külcsönhatást ismerjük a legjobban, az ad információt a többiről. Az elektromágneses külcsönhatás erőssége $\frac{e^2}{4\pi} = \frac{1}{137}$, körülbelül részeti a fotonok, forrásai a töltött részek. Mivel két foton kísérőlékének az erőssége százszor gyengébb mint egy foton, az elektromágneses külcsönhatás gyakorlatilag egy foton kísérőlábsával áll. Hatótávolsága $\frac{1}{r}$ -rel arányos, ennek oka a nétről nyugalmi tömeg. A gravitációs külcsönhatás hasonló.

Az erős külcsönhatásról az első ismeretek a Yukawa félre mezoneláthatóval származnak. Egyesített két nagyságrenddel erősebb mint az elektromágneses külcsönhatás. A források a bársonok, a körülbelül részeti a mesonok. Rövid hatótávolsági, ami a mesonok nagy tömege miatt van. Nem csak egy meson kísérője ad járulékot, ezért rövid hatótávon az erős külcsönhatás nagyon bonyolulttá válik. A tövbihalban ez a lép még erősebb meg fog változni.

A gyenge külcsönhatást a β bomlásból ismerjük. Kedvezően csak annyi tudtak róla, hogy nagyon rövid hatótávolsági, és 12 nagyságrenddel gyengébb, mint az erős külcsönhatás. Gyenge külcsönhatásban minden részecske részt vesz, a fotonok kivételével.

Az elemi részek világában a bomlás természetes jelenség, minden részecske elbonulik, aminek a

bomlását valami nem tiltja, azaz a Hamilton mátrix eleme nem lesz zérus. A bomlásek akkor nem következnék be, ha egy megnaradási törvény állt. Ahhoz, hogy az elemi részek visszatérjezzék, át kell tekintenünk a megnaradási törvényeket.

2.3. Elemi részek bomlása

A kölcsönhatások erőssége az a bomlásek közötti szomszédság. Legyen a rendszer Hamilton operátora $H = H_0 + H_{\text{int}}$, ahol H_{int} hatása a végtelenben zérus, és H_0 sajátföggvényei ismerjük.

$$H_0|\alpha\rangle = E_\alpha|\alpha\rangle.$$

Kendethen a kölcsönhatás centrumról végtelen mesze a rendszer állapota legyen $\Psi_\alpha = |\alpha\rangle$. Mivel $|\alpha\rangle$ nem sajátföggvénye a teljes H -nak, a megnállás valami más lesz. Végtelenben a végtállapothan valamelyen $|\beta\rangle$ állapotha megy át a rendszer. Kvantummechanikailag meg lehet mutatni, hogy az átmenet sebessége:

$$w_{\alpha\beta} = \frac{2\pi}{\hbar} |\langle \beta | H_{\text{int}} | \alpha \rangle|^2 \rho(E), \quad \left(\langle \beta | H_{\text{int}} | \alpha \rangle = \int \Psi_\beta^* H_{\text{int}} \Psi_\alpha dV \right)$$

ahol H_{int} a kölcsönhatás operátora és $\rho(E)$ a végtállapot stábilis. Statisztikus fizikából tudjuk, hogy egy állapot entrópiája annál nagyobb, minél többféléképpen valósulhat az meg. Vagyis ha nő az állapotstábilis, nő a rendszer entrópiája. Fermi a ferdi haszsföggést országombíjának nevezte.

Ha nagyobb az irányegység alatt bekövetkező átmenet valószínűsége, gyorsabban bomlik a rendszer. Minél nagyobb a kölcsönhatás mátrixeleme, annál gyorsabb a bomlás. A részereknek tehát ennek kölcsönhatás révén bomlanak el, ha turbának. Ezek a bomlásek tipikusan 10^{-22} a nagyságrendjük. Ha ennek kölcsönhatás révén nem bomolhatnak, akkor következik az elektronignázes illetve gyenge kölcsönhatás miatti bomlás (10^{-16} s ill. $10^{-10} - 10^{-8}$ a Nék alatt).

A bomlás az elemi részek visszában természetes dolg. Magyarázni nem a bomlást, hanem az állandósítást szükséges. Ez a megnaradási tételekkel lehetséges.

Az elemi részecskék tából látható a halványas évek elején

Csillal	Név	Spin	Tömeg	Élettartam	Bomlások
Foton	γ	1-	1-	stabil	
Leptonok	$\nu_e, \bar{\nu}_e$	$\frac{1}{2}-$	< 0.2 keV	stabil	
	$\nu_\mu, \bar{\nu}_\mu$	$\frac{1}{2}-$	< 1.6 MeV	stabil	
	e^-, e^-	$\frac{1}{2}-$	0.51 MeV	stabil	
	μ^-, μ^-	$\frac{1}{2}-$	105.7 MeV	$2.2 \cdot 10^{-6}$ s	$e^- \nu \gamma$
Meszonok	π^+, π^-	0-	140 MeV	$2.6 \cdot 10^{-6}$	$\mu \nu$
	π^0	0-	135 MeV	$0.89 \cdot 10^{-16}$	2γ
	K^-, K^-	0-	494 MeV	$1.23 \cdot 10^{-6}$	$\mu \nu$
	K_0, \bar{K}_0	0-	498 MeV	50% $K_0 \pi^0$ id 50% $K_0 \pi^0$ id	
	K_{feszid}	0-		$0.86 \cdot 10^{-10}$	π^-, π^- $2\pi^0$
	$K_{\text{hozzáj}}$	0-		$5.29 \cdot 10^6$	$3\pi^0$ $\pi^+ \pi^- \pi^0$
Barionok	η^0	0-	549 MeV	$\Gamma \sim 2.3$ keV	2γ $3\pi^0$ $\pi^+ \pi^- \pi^0$
	p, \bar{p}	$\frac{1}{2}-$	938.2 MeV	stabil	
	n, \bar{n}	$\frac{1}{2}-$	939.6 MeV	$0.96 \cdot 10^3$ s	$p e^- \nu$
	$\Lambda, \bar{\Lambda}$	$\frac{1}{2}-$	1115.6 MeV	$2.52 \cdot 10^{-10}$ s	$n \pi^0$ $p \pi^-$
	$\Sigma^-, \bar{\Sigma}^+$	$\frac{1}{2}-$	1189.4 MeV	$0.81 \cdot 10^{-10}$ s	$p \pi^0$
	$\Sigma^0, \bar{\Sigma}^0$	$\frac{1}{2}-$	1192.6 MeV	$< 10^{-14}$ s	$n \pi^-$ $\Lambda \gamma$
	$\Xi^-, \bar{\Xi}^+$	$\frac{1}{2}-$	1197.4 MeV	$1.64 \cdot 10^{-10}$ s	$n \pi^-$
	$\Xi^0, \bar{\Xi}^0$	$\frac{1}{2}-$	1314.7 MeV	$3.03 \cdot 10^{-10}$ s	$\Lambda \pi^0$
	$\Xi^+, \bar{\Xi}^+$	$\frac{1}{2}-$	1321.3 MeV	$1.66 \cdot 10^{-10}$ s	$\Lambda \pi^-$ $\Sigma^0 \pi^+$
	$\Omega^-, \bar{\Omega}^+$	$\frac{3}{2}-$	1672.5 MeV	$1.3 \cdot 10^{-10}$ s	$\Sigma^- \pi^0$ $\Sigma^- \pi^0$ ΛK^-

A táblázatból látható, hogy a stabil részecskék a γ, ν, e^-, p .

e^- nem tud elbomlani, mert a legkisebb elektromosan töltött részecske – elektromos töltés megtaradása.

γ nem tud elbomlani, mert a legkisebb tömegű rész – energiamegtaradása.

ν nem tud elbomlani, mert a legkisebb feles spinű rész – fermion töltés megtaradása.

p Márta, nem bomlik így: $p \rightarrow e^- + 2\nu$? Egyetlen magyarázat: nincs kvantumusádó: bariontöltés. Ez az ami megtarad.

2.4 Elemi részek legfontosabb tulajdonságai

Az eddigiek alapján foglaljuk össze az elemi részek legfontosabb tulajdonságait.

Töltés : Q

Tömeg

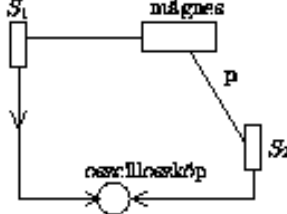
Mindig a nyugalmi energiát ($m^2 c^2$) értjük a tömeg alatt. Atommagoknál a tömeget tömegspektrométerekkel mérlik. Ennek lényege: ionizált atomokat felgyorítanak és elektronos és mágneses térbe tesszük. A kilépés helyéből az $\frac{v}{m}$ viszony meghatározható.

Elemi részekenél a tömegspektrométer nem jó.

A részereknek reakciókban képződnek, a sebességeket nem ismerjük. Más eljárás kell. Ezek alapja:

$$E^2 = p^2 c^2 + m^2 c^4, \quad p = m\gamma v, \quad \gamma = \frac{1}{\sqrt{1 - \frac{v^2}{c^2}}}$$

A tömeg meghatározható, ha az impulmus és energia vagy az impulmus és sebesség ismert.



Az oscilloszkóp meghatározza az S_1 és S_2 jel idői különbségét, abból a sebességet, amiből már következtethetünk a tömegre.

Semleges vagy nagyon rövid ideig élő részerekre a módszer nem jó, illetékben bonyolultabb eljárásokat kell alkalmazni.

Spin

A feles spinű részereknek a fermionok, az egész spinűek a boszontok.
Tekintsünk két színes részreket:

$$\Psi = \Psi(1, 2).$$

Ha a két részreket felcserejük,

$$\Psi(1, 2) = \pm \Psi(2, 1),$$

akkor a hullámfüggvény vagy szimmetrikus, vagy antiszimmetrikus a két rész felcseréléssel szemben (megfelelés). Pauli relativisztikus tételemelet alapján bebizonyította, hogy feles spinű részekenél antiszimmetrikus, egész spinűnél pedig szimmetrikus a hullámfüggvény. Ervényesül az ún. Pauli-elv:

$$\Psi(1, 2) + \Psi(2, 1) = 0, \quad \Rightarrow \Psi(1, 2) = 0,$$

azaz azonos kvantumállapotban nem lehet két részreke.

Mágneses dipólmomentum

A részreke energiája mágneses térben:

$$E_m = -\mu B, \quad \mu = g \frac{e}{2mc} J, \quad \mu_0 = \frac{e\hbar}{2mc}.$$

A Hamilton operátor ilyenkor

$$H = H_0 - \frac{g\mu_0}{\hbar} JB$$

Ha $JB = J_x B_x = J_z B$, az energiaeltolás (B z irányú):

$$E = E_0 - g\mu_0 M B,$$

ahol M az impulzusmomentum operátor z komponensének az értéke, ami $2J + 1$ értéket vehet fel.

A

$$\mu = g\mu_0 J$$

Értéket szokás szokás általában a részecskék mágneses momentumának nevezni.

Az a tény, hogy $g \neq 0$ minden semleges részre és $g \neq \pm 1$ minden töltött részre, arra utal, hogy a részek összetettek.

Paritás

A törülküdés operátor hatása:

$$P\Psi(r) = \Psi(-r) = \alpha\Psi(r), \\ \Psi(r) = P^2\Psi(r) = \alpha^2\Psi(r).$$

$\alpha = \pm 1$ – paritás.

Ritkaság

A ritkaság bevezetésére az alkalmazásban vezetett, hogy minden részecské csak gyenge kölcsönhatással tud bonyolni, holott láthatólag semmi sem alakíthatja, hogy enélkülönböző kölcsönhatással bonyoljon. Kép:

$$p + \pi^- \rightarrow \Lambda^0 + K^0, \quad \text{enélkülönböző kölcsönhatás} \\ K^- \rightarrow \pi^- + \pi^0, \quad \text{gyenge kölcsönhatás} \quad \text{Már?}$$

Már nem megy végbe soha a

$$p + \pi^- \Lambda^0 + \pi^0$$

folyamat?

Van egy új kvantumszám, a ritkaság (S). A ritkaság gyenge kölcsönhatásban sérül.

Izospin

Tömegük viszegálata révén jöttek rá, hogy van még egy kvantumszám, az izospin (I), ami gyenge és elektromágneses kölcsönhatásban sérül.

Nagyon közel tömegű részecskék vannak ($\Sigma^-, \Sigma^0, \Sigma^+$), amik csak tökéletesen különböznek.

A ritkaság helyett szokás a hiperbólást is használni:

$$Y = S + B = 2(Q - I_A)$$

Összefoglalva táblázathban az eddigiakat:

Rések	Q	T_h	B	S	Y
π	$\pm 1,0$	$\pm 1,0$	0	0	0
K	+1	1/2	0	1	1
η^0	0	0	0	0	0
Nukleon	+1	1/2	1	0	1
	0	-1/2	1	0	1
Λ^0	0	0	1	-1	0
Ξ	$\pm 1,0$	$\pm 1,0$	1	-1	0
Ξ	0	1/2	1	-2	-1
	-1	-1/2	1	-2	-1
Ω^-	-1	0	1	-3	-2

2.5. Szimmetriák és megnáradási törvények

A fizika kialakulásának kezdete óta a szimmetriák rendkívül nagy segítséget nyújtottak az összefoglalásra a természeti jelenségek megértésében. Rokonatosan a fizikai törvények elméleti megfogalmazásának gerincévé váltak. A következőkben ezeket a szimmetrioperációkat és ezek elméleti alapjait akarjuk megvizsgálni.

Számos kapcsolat van a szimmetriák, megnáradó mennyiségek és a nem megfigyelhető mennyiségek között.

Minden szimmetria alapja az, hogy bizonyos alapmennyiségeket nem lehet megfigyelni. Ilyenek például az egyes részecskék pozíciói.

Tekinthetünk két részecskét, r_1 és r_2 helyen, hasonló esetek köztött egy V potenciális energia. Az azt állítja, hogy az abszchit hely egy nem megfigyelhető mennyiség. Ez azt jelenti, hogy a koordináta-rendszer középpontja teljeslegesen eltolható. Ekkor a potenciális energia csak a $r = r_1 - r_2$ -nek lehet a függvénye. Ebből következik, hogy a két részecske teljes impulnsa megnárad, ugyanis a Newton egyenletekből

$$\begin{aligned} p_1 &= F_1 = -\nabla_1 V, & p_2 &= F_2 = -\nabla_2 V, \\ p &= (p_1 + p_2) = -(\nabla_1 V + \nabla_2 V) = 0. \end{aligned}$$

Fizikai érvételek azt követelik meg, hogy feltételezzük, bizonyos elmozdításokkal szemben a természeti szimmetrikus. Gondoljunk például a koordináta-rendszer középpontjának megváltoztatására. Az általános tömegvonalas törvénye független kell legyen attól, hogy a koordináta-rendszer középpontját hova helyezzük el, Budapestre vagy Debrecenbe. Ha áthelyezzük a középpontot, semmi nem változik. A természeti szimmetrikus az ilyen áthelyezésekkel szemben. Ez azt jelenti, hogy fizikai törvények nem változnak meg, ha az origót eltoljuk. Márkánt ezt úgy is szokás mondani, hogy a fizikai törvények eltolás-invariánsak.

Egy ilyen eltolást úgy tudunk matematikailag leírni, hogy a fizikai mennyiségekre egy olyan operátort hattatunk, ami eltolja az origót. Másnéven: a mennyiségeket transzformáljuk egy transzformációs operátort alkalmazva. Viszáglik meg ezt a transzformációs operátort. A kielégítendő egyenlet:

$$T(a)\psi(r) = \psi(r+a)$$

ahol $T(a)$ az eltolást elidéző transzformációs operátor és $\psi(r)$ egy tetszőleges állapot hullámfüggvénye. Kérdés: milyen az a T transzformációs operátor, amelyik kielégít a fentieken említettet. Ebből a célból tekinthetünk először az infinitesimalisan leírt transzformációk esetét, a helyébe illyenkor da írható, és a jobb oldal da szerint sorbafejthető:

$$T(da)\psi(r) = \psi(r) + da \frac{\partial \psi(r)}{\partial r},$$

$$T(da) = 1 + da \frac{\partial}{\partial r} = 1 + \frac{i}{\hbar} p da,$$

ahol a differenciálás operátora helyett bevezetik a szokásos impulsus operátor jelölést. $T(a)$ más alakban is írható, hiszen különlegesen éppen egy exponenciális sorjegyes elágaz tagja.

$$T(da) = e^{\frac{i}{\hbar} p da}$$

Ha egy véges előidélezet alakunk létrehozni, azt felbonthatjuk infinitesimalis előidélezet összegére, a transzformációs operátora az infinitesimalis transzformációs operátorok egymás után alkalmazása, vagyis szorozata lesz:

$$T(a) = \prod_{da=0}^a T(da) = e^{\frac{i}{\hbar} p \sum da} = e^{\frac{i}{\hbar} p a}.$$

Ez az általános a előidélezet transzformációs operátora.

Az előidélezet szembeni invariancia azt jelenti, hogy a fizikai törvények és mennyiségek nem változnak meg, ha az előidélezet transzformációs operátorról alkalmazzunk rájuk. Alkalmazzunk a $T(a)$ operátort a H Hamilton operátorra

$$T(a)H(\mathbf{x}, \mathbf{p}) = H(\mathbf{x} + a, \mathbf{p})T(a)$$

Az invariancia azt jelenti, hogy:

$$H(\mathbf{x}, \mathbf{p}) = H(\mathbf{x} + a, \mathbf{p}),$$

vagyis

$$TH - TH = [T, H] = 0,$$

azaz a transzformációs operátor felcserélhető a Hamilton operátorral. Márként tudjuk, hogy egy operátor, ha nem flagg explicit a hűtővel felcserélhető a Hamilton operátorral, mosogatott állapot. Képezzük egy O operátor várható értékének idő szerinti deriváltját, ha O nem flagg explicit a hűtővel:

$$\frac{d}{dt}(\Psi|O|\Psi) = (\frac{\partial}{\partial t}\Psi|O|\Psi) + (\Psi|O|\frac{\partial}{\partial t}\Psi),$$

$$\frac{\partial\Psi}{\partial t} = -\frac{i}{\hbar}H\Psi, \quad \frac{\partial\Psi^*}{\partial t} = +\frac{i}{\hbar}H\Psi^*,$$

$$\frac{d}{dt}(\Psi|O|\Psi) = \frac{i}{\hbar}(H\Psi|O\Psi) - (\Psi|OH\Psi) = \frac{i}{\hbar}(\Psi|HO|\Psi).$$

Írjuk be O helyébe T -t. Ez fejtetik sorba az exponenciálist.

$$\frac{dP}{dt} = 0, \quad \text{ha } [H, T] = 0.$$

Példák szimmetriákhoz kötődő meghatározásra

Tegyük fel, hogy a két részecske közötti hatás V potenciális energia csak a relatív koordináktáktól függ: $r = r_1 - r_2$.

$$\begin{aligned} p_1 &= -\frac{\partial V}{\partial r_1}, & p_2 &= -\frac{\partial V}{\partial r_2} = \frac{\partial V}{\partial r_1}, \\ p_1 + p_2 &= \dot{p} = 0 \implies \text{impulsus meghatározás.} \end{aligned}$$

Tegyük fel, hogy a potenciál nem függ explicit a hűtővel.

$$E = \frac{1}{2} \frac{p_1^2}{m} + \frac{1}{2} \frac{p_2^2}{m} + V(r_1, r_2, \dots).$$

$$\dot{E} = \frac{1}{2} \frac{\mathbf{p}_1^2}{m} + \frac{1}{2} \frac{\mathbf{p}_2^2}{m} + \frac{\partial V}{\partial r_1} \mathbf{r}_1 + \frac{\partial V}{\partial r_2} \mathbf{r}_2 = \frac{\mathbf{p}_1}{m} \underbrace{\left[\mathbf{p}_1 + \frac{\partial V}{\partial \mathbf{r}_1} \right]}_{0} + \frac{\mathbf{p}_2}{m} \underbrace{\left[\mathbf{p}_2 + \frac{\partial V}{\partial \mathbf{r}_2} \right]}_{0} = 0$$

⇒ Energia megnaradás

Hasonló módon belátható, hogy ha V független az iránytól, akkor árvényes az impulzummomentum megnaradás.

2.6. A paritás megnaradás sérülése

További lehetőséges szimmetria: tükrözés. Paritás:

$$P\Psi(\mathbf{r}) = \alpha\Psi(-\mathbf{r}),$$

$$PP\Psi(-\mathbf{r}) = \alpha P\Psi(\mathbf{r}) = \alpha^2\Psi(-\mathbf{r}), \quad \text{mert } P^2 = 1.$$

$\alpha = \pm 1 \quad \text{paritás}$

P : a térfürkészés operátora.

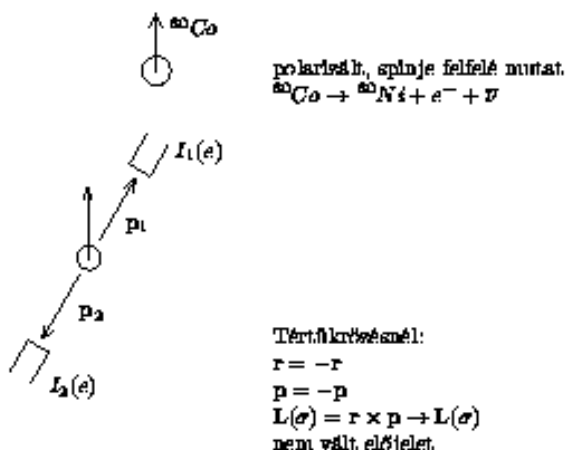
Ha a természetben nincs különbség jobb és bal között, akkor a paritás megnarad – térfürkészés invariancia.

Meglepődés – A paritás nem marad meg.

1957-ben Lee és Young mutattak rá egyéb, később említendő megfontolások miatt, hogy gyenge kölcsönhatásnál a paritás megnaradása nem teljesül. Ez azt jelenti, hogy a gyenge kölcsönhatás Hamilton operátora különbséget tud tenni a jobb és bal között, nem szimmetrikus térfürkészéssel szemben. A paritásból kiindulásra Lee és Young a következő kísérletet javasolták. Ha a β kölcsönhatás paritásból, akkor adott paritást atommag bomláskor a kibocsátott elektron hullámhossznya már nem rendelkezik meghatározott paritással.

$$\psi_s(-\mathbf{r}) \neq \pm \psi_s(\mathbf{r}), \quad |\psi_s(-\mathbf{r})|^2 \neq |\psi_s(\mathbf{r})|^2,$$

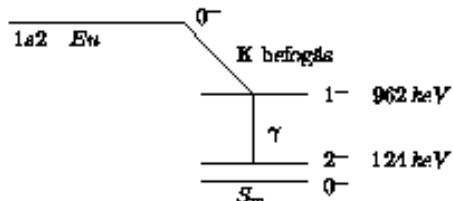
vagyis az elektronok megtalálásának valószínűsége különböző lesz a $+\mathbf{r}$ és $-\mathbf{r}$ helyeken, irányelosztásuk antiszimmetrikus. A kísérletet Wu végezte el, aki polarizált (adott spinirányú) ^{60}Co magok β sugárzásának irányelosztását vizsgálta, és erre asszimmetriát talált.



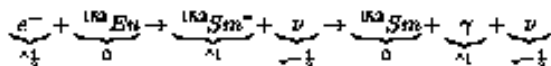
Tükörözlik a rendszert. A ^{60}Co spinje váltószatlan, $\mathbf{p}_1, \mathbf{p}_2$ félkörével járnak. Térfürkészés invariancia az kellene hogy $I_1 = I_2$ teljesüljön.
 Nem teljesül.

Az asszimmetria magyarázatára Lee és Young, valamint Landau azt feltételezték, hogy a β bomláskor kilépő neutrino ill. antineutrino asszimmetrikus részecské, a megfigyelt asszimmetrikus elektroneloszlás a neutrino asszimmetriájának következménye. A neutrino spinje mindenkor párhuszonek, vagy mindenkor ellenálló irányba mutat, +1 vagy -1 helicitású. Goldhaber kísérlete igazolta az elválet helyességét, és egyúttal meghatározza a helicitás előjelét.

A kísérlet vényege a következő:



Egy ^{152}Eu forrást vettek, amelyik K-beammal a ^{152}Sm mag 1⁻ állapotába megy át. Az 1⁻ állapot élettartama olyan rövid, hogy a K-beammal szemben körülvevő fotonok kilépésére. Az elvályó folyamatból látható, hogy a befogott elektron és a neutrino spinje ellenálló.



A második folyamathoz a γ foton elvész a gerjesztett állapot spinját, tehát a foton és a neutrino spinje ellenálló. Ha most a viszszaliképző maggal ellenálló körülvevő neutrinkat nézzük, a foton és a neutrino spinje is ellenálló kell hogy legyen az impulzusmegmaradás törvénye értelmében. A foton impulzus-impulzusmomentum viszonya, vagyis helicitása ugyanolyan, mint a neutrinoé. A kísérletek a foton helicitásra -1-et adnak, ami azt jelenti, hogy a neutrino helicitása -1.

A gyenge kölcsönhatásba résztvevő részek közül nem csak a neutrino, hanem az elektron is polarizált, de ennél a polarizációval kevesebb mérőtől, $\frac{1}{2}$ -vel arányos. Az antinéutron helicitás éppen ellenkező, az antineutrino helicitása +1. A fermion töltései kívül helicitásban is különböznek a neutrino és antineutrino.

A paritásmegmaradás sértése a természet törvényeit asszimmetriáját bizonyította. Az, hogy a természet törvényeinek, azokig magától érteendőnek tilt, mindenkor számra. Landau szával mentette a helyzetet, hogy azt mondta: a természet törvényeinek, de nem a térfürkészessel, hanem a tér és töltésfürkészés együttetővel szemben. A térfürkész operátorát P-vel szokás jelölni, a töltésfürkész operátorát, más szóval a töltéskonjugációs operátorát, amely valamennyi töltést (nem csak az elektromos) ellenkező előjellel váltotta le, C-vel. Landau elváletje azt mondja, hogy a természet a PC teljes törvényes operátorral szemben invariant. A PC egy negatív helicitású neutrino egy pozitív helicitású antineutrinoiba visz át, ezek felcserélésével szemben (ha ugyanakkor minden más mennyiséget is tükröznek) a természet invariant. Az azóta elterjedt évek azt mutatták, hogy ez a feltételek nem helyes, hisz mérőkben a PC is sértő.

2.7. Megfigyelhető mennyiségek és aszimmetriák

Összefoglalva:

Egy szimmetria akkor sértő, ha egy addig megfigyelhetetlennek tartott mennyiség megfigyelhetővé válik.

Ilyen a jobb-bal szimmetria vagy a töltéskonjugációval szembeni sértés.

1956-ig hitték a törvényes szimmetriában. A paritás-sértés nagy meglepetés volt.

Még magasabb a töltéskonjugációs sértés.

Előzte azt hitték, véletlen, hogy melyik részecské tipusható van több. Részecskék és antirészecskék

körött a folyamatok egyformán mennek végbe. Mí az a mennyiségek, ami a struktúra során megfigyelhetővé válik?

Képzeljünk el két civilizációt, amelyek szeparálhatók, de pl. polarizálatlan módon kommunikálnak tudnak. Feladat meghatározni, hogy milyen típusú anyagból van a civilizációk.

A K meson bomlása meg tudja különböztetni az elektronról a pozitronról:

$$K_L^0 \rightarrow \frac{e^- \pi^- + \nu}{e^- + \pi^- + \bar{\nu}} = 1.00648.$$

Igy meg tudjuk mondani, hogy részecskék vagy antirészecskék vannak-e a világunkban.

2.8. Megmaradó mennyiségek összefoglalása

• Energia

Megmaradása az időtengely origójának eltolásával szembeni invariancia következménye.

• Impulsus

Az origó köréppontjának eltolásával szembeni invariancia következménye.

• Impulsusmomentum

A tengelyek elforgatásával szembeni invariancia következménye.

• Paritás

A tártsíkossássel szembeni invariancia következménye. Gyenge kölcsönhatásban ártul, erős ill. elektromágneses kölcsönhatásban megmarad.

• Időparitás

Az időtengely tükrözésével szembeni invariancia következménye. Gyenge kölcsönhatásban ártul.

• Barion és Fermioncikk

Minden kölcsönhatásban megmaradó mennyiségek.

• Elektromos töltés

Minden kölcsönhatásban megmarad.

• Röntgen vagy hipertöltés

Gyenge kölcsönhatásban nem marad meg.

• Isotóp spin

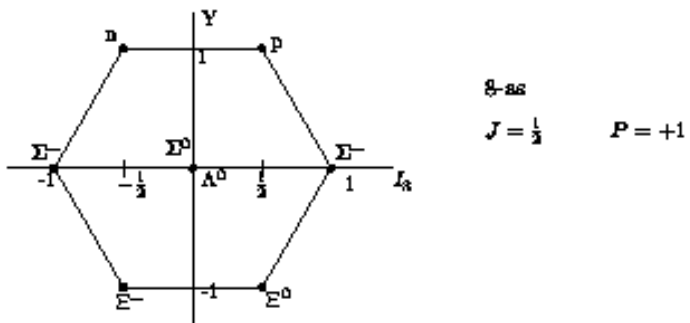
Erős kölcsönhatásban megmarad, gyenge és elektromágneses kölcsönhatásban ártul.

A következő táblázat összefoglalja, hogy melyik mennyiség melyik kölcsönhatásban ártul.

Mennyiségek	Erős	Elektromágneses	Gyenge
Energia	+	+	+
Impulsus	+	+	+
Impulsusmomentum	+	+	+
Paritás	+	+	-
Idő paritás	+	+	?
Barion töltés	+	+	+
Lepton töltés	+	+	+
Elektromos töltés	+	+	+
Röntgen	+	+	-
Hipertöltés	+	+	-
Isospin	+	-	-

2.9. Az elemi részek rendszerezése

A szimmetrikus módot nyújtanak az elemi részek rendszerezésére. Egy ilyen rendszerezési körzetet például az, amiben az arányos spinel és paritásai, de különbségek Y és T értékkel részekeket egybegyűjtik és egy felhasadott multiplett elemeknek tekintjük. Az alapgyondolat az, hogy ha csak ennek kölcsönhatása lenne, evezek a részecskék egy arányos résznek lennének a különböző kvantumszám beállásai. Mivel a természetben nem csak ennek kölcsönhatása van, hanem elektromágneses és gyenge is, ezek a multiplettek felhasadnak.



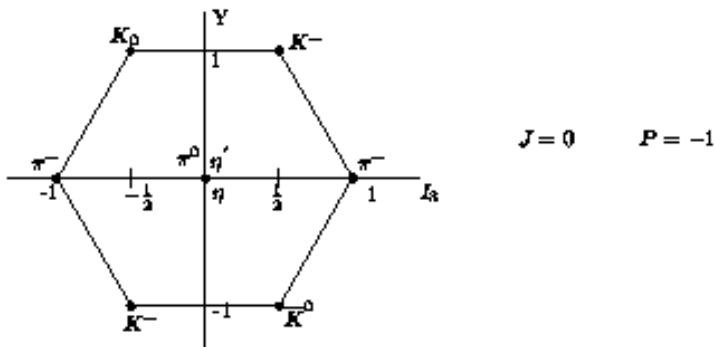
A legegyesítőbb csoportozás barionok esetén a feles spinel részek csoportja. Az előbbi ábrán megtalálhatók az ehhez tartozó barionok. Csoportelméletileg megmutatható, hogy annak, hogy éppen nyolc rész tartozik ebbe a multiplettbe, mélyebb értelme van. Azonnal belátható, hogy az ötököt tagjal kötet, íman kell hogy álljon a következő tömeg összefüggés:

$$\frac{1}{2}M_N + \frac{1}{2}M_\Xi = \frac{3}{4}M_\Lambda + \frac{1}{4}M_\Sigma.$$

Behelyettesítve a tömeg értékeit MeV-ben kifejezve

$$170 + 660 = 836 + 298$$

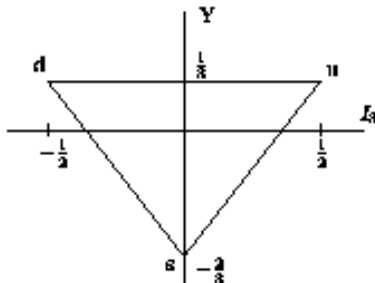
az ötök ami megijessentően közel van az egyenlőséghöz. Használ öktettek vagy magasabb csoportok képesek a rezonanciákhoz, más spinnel és paritással. A mesonokra a legegyesítőbb ilyen szerkesztet az alábbi ábrán látható.



Használ csoportok képesek más, többi által elemi részekből (rezonanciák) is.

2.10. A kvarkok

Csoportelméleti alapon, mint láttuk, rendszerezzeli tudták az elemi részéket. A báronoknál találtak 8, 10, 27 részből álló ábrázolást, csak az SU_3 csoport legegyesebb ábrázolását, a három részesekből álló rendszert nem sikerült megfigyelni. Gell-Mann esett 1964-ben feltevette, hogy van egy még eddig még nem figyelt legegyesebb ábrázolás is, a három részből álló.



Az ábrából leolvashatók a kvantumszámok, ha felteessük, hogy egy báron 3 kvarkból áll, azaz a kvark bárontárhse $\frac{1}{3}$.

$$Y = 2(Q - I_3), \quad S = Y - B,$$

	B	Y	I	I_3	Q	S	J
u	Y_u	$\frac{1}{3}$	Y_u	Y_u	$\frac{2}{3}$	0	$\frac{1}{3}$
d	Y_d	$-\frac{1}{3}$	Y_d	$-Y_d$	$-\frac{1}{3}$	0	$\frac{1}{3}$
s	Y_s	$-\frac{2}{3}$	0	0	$-\frac{1}{3}$	-1	$\frac{1}{3}$

A mesonoknak nincs bárontárhse, egy meson tehát egy $q\bar{q}$ kvark-antikvark párból áll.

A báronok és mesonok kvarkszármazetei szerint:

Báronok	J	Összetétel
p		$u + u + d$
n		$u + d + d$
Λ		$u + d + s$
Σ^-		$u + u + s$
Σ^0	$\frac{1}{2}$	$u + d + s$
Σ^-		$d + d + s$
Ξ^0		$u + s + s$
Ξ^-		$d + s + s$
Δ^{+-}		$u + u + u$
Δ^-		$u + u + d$
Δ^0	$\frac{3}{2}$	$u + d + d$
Δ^-		$d + d + d$
Ω^-		$s + s + s$

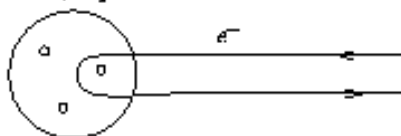
Mesonok	J	Összetétel
π^-		$u + d$
π^0		$u + \bar{u}, d + \bar{d}, s + \bar{s}$
π^+		$\bar{u} + d$
K^-	0	$u + \bar{s}$
K^0		$d + \bar{s}$
\bar{K}^0		$\bar{d} + s$
\bar{K}^+		$\bar{u} + s$
ρ^-		$u + \bar{d}$
ρ^0	1	$u + \bar{u}, d + \bar{d}, s + \bar{s}$
ρ^+		$\bar{u} + d$
η^0		$u + \bar{u}, d + \bar{d}, s + \bar{s}$

A kvarkok létrejöök indirekt igazolása napjaink Rutherford kísérlete segítségével történt. Nagyenergiájú elektronosztrofát végezték.

Szab. kísérlet: 3 km hosszú elektromosgyorsító, $10^{14} \frac{A}{cm^2}$, 40 mA áram.

H_2 target. Az évente 1 visszalökést vizálnak. Ehelyett mindenpercenként egy volt.

3 objektumon való visszalökötés



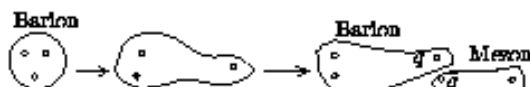
Az impulzus megnövekedésből következik, hogy a kvarkok a proton impulzusának a felével rendelkeznek.

Ok:

Valami összetartja a kvarkokat – gliconter. A gliconok viszik el a kvarkok impulzusának a felét.

Ez a kölcsönhatás nem $\frac{1}{r}$ -rel, hanem r^2 -rel arányos, olyan, mint a rugó.

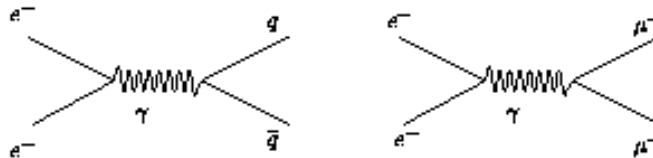
Következmény: minősémek szabad kvarkok.



A kvarkok színe

Többfelé megfigyelés is igazolta, hogy a kvarkok még egy kvantumszámval rendelkeznek. Ez nevezik el színnel. A színe utaló megfigyelések:

- * Probléma a Pauli elvvel. Vannak olyan részecskék, amik három egyforma kvarkból állnak, $\Delta^{++} - uuu$, $\Omega^- - sas$ szimmetrikus spin hullámfoglalással ($\frac{3}{2}$).
- * e^-e^- szíridás



A hatásákeresztséget $\sum e_i^2$ -tel arányozza.

$$\sum \frac{m}{d\bar{d}} \left(\frac{2}{3}\right)^2 + \frac{m}{s\bar{s}} \left(\frac{1}{3}\right)^2 \Rightarrow \frac{2}{3} \quad \mu^-\mu^- \quad (1)^2 \Rightarrow 1$$

$$R = \frac{\sigma(e^-e^- \rightarrow \text{hadron})}{\sigma(e^-e^- \rightarrow \mu^-\mu^-)} = \sum \frac{\sigma(e^-e^- \rightarrow q\bar{q})}{\sigma(e^-e^- \rightarrow \mu^-\mu^-)} = 2,$$

noha $\frac{2}{3}$ -ot várnánk a fenti összeg szerint.

Szin bevezetése: 3-szer annyi lehetőség, 3-mal növezza a $q\bar{q}$ keletkezés valószínűségét.
Pauli elv is rendben.

$$3 \left[\left(\frac{2}{3}\right)^2 + \left(\frac{2}{3}\right)^2 + \left(\frac{2}{3}\right)^2 + \left(\frac{1}{3}\right)^2 + \left(\frac{1}{3}\right)^2 + \left(\frac{1}{3}\right)^2 \right].$$

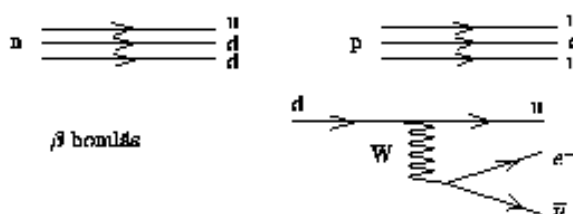
Az elmélet a kvantum színelmélet (QCD).

Fő ok: megnagyobbítva, mert nincs szabad kvark.

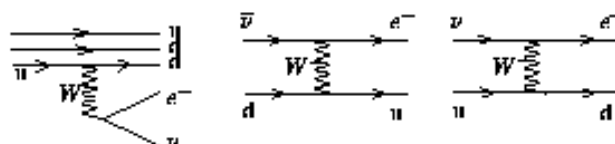
2.11. Elemi részek rendszerezése

	Egj	$\bar{q}q$
Rések:	Lepton, Barion	Lepton, Kvark
Összekötő részek:	Erős kölcsönhatás: meson El. kölcsönhatás: foton Gyenge kölcsönhatás: ?	Erős kölcsönhatás: gluon El. kölcsönhatás: foton Gyenge kölcsönhatás: ?

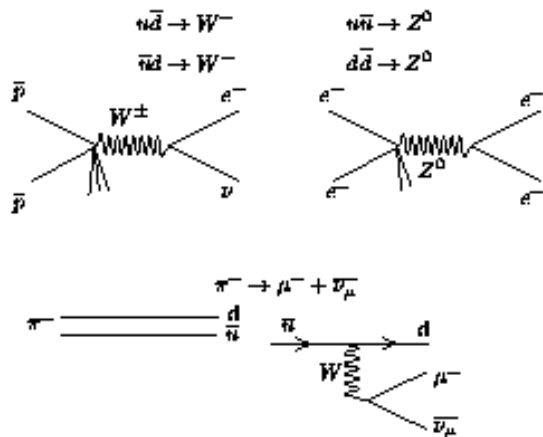
Feltevés: ott is találunk ilyen következő részeket.



Közvetítő rész: vektorboszton. Három van: W^+ , W^- , Z^0
Tömegük nagy - kb. 80 GeV, mert a hatótávolság kicsi.



$$\frac{\sigma(\bar{p}-p)}{\sigma(p-p)} = \frac{1}{3} = 0.3 \pm 0.4 \quad \text{kísérleti eredmények.}$$



Összefoglalás

Most kép: leptonok

$$\begin{pmatrix} e^- \\ u_e \end{pmatrix} \begin{pmatrix} \nu^- \\ \nu_e \end{pmatrix} \begin{pmatrix} \tau^- \\ \nu_\tau \end{pmatrix} \quad Q = -1 \quad Q = 0 \quad \Delta Q = 1$$

kvarkok

$$\begin{pmatrix} u \\ d \end{pmatrix} \begin{pmatrix} c \\ s \end{pmatrix} \begin{pmatrix} t \\ b \end{pmatrix} \quad Q = \frac{2}{3} \quad Q = -\frac{1}{3} \quad \Delta Q = 1$$

Közvetítő részékek:

- | | | |
|------------------------------|---|---------------|
| Egyéb kölcsönhatás | : | gluon |
| Elektromágneses kölcsönhatás | : | foton |
| Gyenge kölcsönhatás | : | vektorboszton |

Elmáletek: kvantum elektrodinamika – QED

kvantum színdinamika – QCD

Az elemi részék egységes elmálete megnagyobbítása, mígért azonos a töltés protonnál és leptonnal.

3. fejezet

Magerők

3.1. A határesztmetszet fogalma

$$dN = \sigma(\theta, \chi) S d\Omega.$$

S : fluxus, 1 cm²-re eső részecskék száma.

E : részecskényelű energiája.

$$N = \sigma S, \quad \sigma = \int \sigma(\theta, \chi) d\Omega.$$

Klasszikusan $N = R^2 \pi S$ (metr. gomb)

A szövök leíró ψ hullámfoggyány nyilván a Schrödinger egyenlet megoldása adott potenciál esetén. Ahhoz azonban, hogy ψ szövök írja le, még kell adunk a szövök jellemző határfeltételeit. A beeső részecskét egy beeső hullámhoz jellemzi, ez szövök a szövök centrumon, és minden irányban különbségi intensitás gombhullámok lépnek ki. A szövök nyilván szimmetrikus a beeső részecské irányára merőleges síkban, így a különböző gombhullámok amplitudója csak θ -tól függ, ξ -től nem.

Aszimptotikus alak:

$$\begin{aligned} \psi &\rightarrow \phi e^{-i \frac{\vec{k}}{\hbar} \cdot \vec{r}}, \\ \phi(r, \theta) &\rightarrow e^{i k r} + f(\theta) \frac{e^{i k r}}{r}. \end{aligned}$$

ψ minden tagja megoldás, mert ha nincs potenciál, a Schrödinger egyenlet:

$$-\frac{\hbar^2}{2m} \Delta \psi = -\frac{\hbar}{i} \frac{\partial \psi}{\partial r}, \quad -\frac{\hbar^2}{2m} \Delta \phi = E \phi.$$

A második tag kifinomult gombhullámot ír le, ugyanis ha egy adott t_0 időpontban a részecské egy r_0 helyen tartózkodik, T (egy periódus) után:

$$\begin{aligned} \hbar r_1 + \frac{1}{\hbar} E(t_0 + T) - (\hbar r_0 + E \frac{t_0}{\hbar}) &= 2\pi, \\ \Delta r = r_1 - r_0 &= \frac{2\pi E T}{\hbar \hbar} > 0. \end{aligned}$$

A hullám kifelé halad.

Az állapotfoggyány aszimptotikus alakjából számítanak ki a határesztmetszetet. A kvantum-mechanikából ismert a részecské áramszárlását:

$$\mathbf{j} = \frac{i\hbar}{2m} (\nabla \varphi^\ast \varphi - \varphi^\ast \nabla \varphi).$$

A beeső áramszárlását így határozzák meg, ha φ helyébe a beeső hullámot, azaz $e^{i \vec{k} \cdot \vec{r}}$ -t helyettesítünk.

$$S = j_{\text{in}} = \frac{i\hbar}{m}$$

A szört áramszírléget meghatározásához az $\frac{E(\Theta)e^{i\lambda r}}{r}$ hullámot kell behelyettesíteni, és a graffens helyébe most az r irányú derívátum kell tenni.

$$j_{xx} = \frac{i\hbar}{2m} \left(\frac{\partial \varphi}{\partial r} \varphi - \varphi^* \frac{\partial \varphi}{\partial r} \right) = \frac{i\hbar}{mr^2} |f(\Theta)|^2.$$

A szört részenek általánosítva így kapjuk meg, hogy a részenek áramszírléget meghatároznak a felülettel.

$$dN = j_{xx} dF = \frac{i\hbar}{mr^2} |f(\Theta)|^2 r^2 d\Omega = \frac{i\hbar}{m} |f(\Theta)|^2 d\Omega.$$

A differenciális hatáskeresztmetszet:

$$\sigma(\Theta) = |f(\Theta)|^2.$$

3.2. A parciális hullámok módszere

A hatáskeresztmetszet meghatározásra sorozor célálló a parciális hullámok módszerét használni. Sorbafejtünk P_l -eket azzal:

$$f(\Theta) = \frac{1}{k} \sum (2l+1) e^{ik\delta_l} \sin \delta_l P_l(\cos \Theta),$$

$$\sigma = \int d\Omega \sigma(\Theta) = \frac{4\pi}{k^2} \sum (2l+1) \sin^2 \delta_l.$$

Ha a potenciál nem centrális, a fenti gondolatmenet kizárt komplikáltabb, mert a különbségek parciális hullámok keverednek. δ_l -t fizikaiholának nevezünk. Az a hatáskeresztmetszetből meg tudjuk határozni. Az ún. fizikusanálisis segítségével foglalkozik, hogyan lehet a különbségek és értékeikből a potenciált megkapni.

Mikor jön a parciális hullámok módszere?

Szívesenk egy R sugári objektumon egy pontálló részeneket bőlikról paraméterrel, v sebességgel.



b: feltörési paraméter

Féliklasszikus árveléssel belátható, hogy a két részenek egymás hatását csak akkor érvél, ha $\delta < R$. Ilyenkor

$$k^2 l(l+1) < 2mER^2.$$

Kis energián csak az $l=0$ elágási lét esetén a feltételeit. A hatáskeresztmetszet ilyenkor

$$\sigma = \frac{4\pi}{k^2} \sin^2 \delta_0.$$

3.3. Két nukleon rendszer: a deutron

A két nukleon állapot viszegálatának a célja elektromosan az, hogy információt nyerjünk a magérőkről. Kihindulásból felhasználhatjuk kísérleteinket az erős kölcsönhatás szimmetriájáról.

Két kölcsönható részenek Schrödinger-egyenlete:

$$-\frac{\hbar^2}{2m_1} \Delta_1 \Psi(r_1, r_2) - \frac{\hbar^2}{2m_2} \Delta_2 \Psi(r_1, r_2) + V(r_1, r_2) \Psi(r_1, r_2) = E_{tot} \Psi(r_1, r_2),$$

ahol $V(r_1, r_2)$ a két részenek közötti hatás potenciál, ami az eltolási invariancia miatt nem lehet r_1 és r_2 függvénye, csak a kettő különbsége, $r = r_1 - r_2$ -é. Bevezetve az r relativity és az $H =$

$\frac{m_1+m_2}{m_1-m_2}$ tömegkörépponti koordinátáit, a Schrödinger egyenlet és a hullámfüggvény szeparálható egy tömegkörépponti és egy relatív koordinátuktól függő részre:

$$\Psi_{tot}(r_1, r_2) = \Phi(H)\Psi(r),$$

$$-\frac{\hbar^2}{2\mu} \Delta \Psi + V(r)\Psi = E\Psi, \quad -\frac{\hbar^2}{2M} \Delta \Phi = E_{CM}\Phi,$$

ahol $\Psi(r_1, r_2) = \Psi(r)\Phi(H)$, $E_{tot} = E_{CM} + E$, M a rendszer teljes tömege és $\mu = \frac{m_1 m_2}{m_1 + m_2}$ a relatív tömeg.

Rögzítük a rendszer tömegköréppont koordinátáját. (közelítés), akkor $E_{CM} = 0$. Célunk a következőkben a Schrödinger egyenletet polár koordinátaiban felírni:

$$-\frac{\hbar^2}{2\mu} \left[\frac{1}{r} \frac{\partial^2}{\partial r^2} (r\Psi(r)) - \frac{l^2}{r^2} \Psi(r) \right] + V(r)\Psi(r) = E\Psi(r).$$

Itt \hat{L}^2 az impulzusmomentum négyzet operátora.

A hullámfüggvényt fejtük sorba gömbhullámfüggvények szerint:

$$\Psi(r) = \sum_{l,m} \frac{u_l(r)}{r} Y_{lm}(\theta, \varphi).$$

A továbbiakban feltételezzük, hogy az ente különbséges Hamilton operátora invarianta a törökörökkel szemben. Ez azt jelenti, hogy a sorfajtásban paritás megtaradás miatt csak páros, vagy páratlan komponensek jelennek meg. Jelöljük a paritás operátort P -vel, az a gömbhullámfüggvényeket a

$$PY_{lm}(\theta, \varphi) = Y_{lm}(\pi - \theta, \varphi + \pi) = (-1)^l Y_{lm}(\theta, \varphi)$$

alakba viszi át. A teljes hullámfüggvény csak akkor lesz invarianta törökörökkel szemben, ha l vagy csak páros, vagy csak páratlan értéket vesz fel. Ha V csak az r skalár függvénye, az egyenlet tovább egyszerűsíthető, paritás komponensekre bonthatjuk. A radialis Schrödinger egyenlet az l -ik paritású hullámra

$$-\frac{\hbar^2}{2\mu} \left(u_l'' - \frac{l(l+1)}{r^2} u_l \right) + V(r)u_l = Eu_l.$$

Alapállapotban $l = 0$.

Táknak egy proton-neutron rendszert, és határozzuk meg ennek kötött állapotát. A Yukawa potenciál helyett egyszerűsítéssel kevésbé használunk négyzetig potenciált, és legyen $l = 0$.

$$V = \begin{cases} -V_0 & r < b \\ 0 & r > b \end{cases}$$

Bevezetve a

$$\frac{2\mu V_0}{\hbar^2} = K_0^2, \quad \frac{2\mu W}{\hbar^2} = \alpha^2, \quad \frac{2\mu E}{\hbar^2} = k^2, \quad k^2 = K_0^2 - \alpha^2, \quad K^2 = K_0^2 + k^2, \quad W = -E$$

jelöléseket, az egyenlet egy különös és egy belső részre választható lesz:

$$\begin{array}{ll} u_h + K^2 u_h = 0 & u_h + K^2 u_h = 0 \\ E < 0 & E > 0 \\ u_k - \alpha^2 u_k = 0 & u_k + k^2 u_k = 0 \end{array}$$

Ha $E < 0$, kötött, ha $E > 0$, szabad állapotot kapunk. A különös megoldások a két esetben eltérően különböznek:

$$\begin{array}{ll} u_h = A \sin(kr) + B \cos(kr), & u_h = A \sin(Kr) + B \cos(Kr), \\ u_k = Ce^{-\alpha r} + De^{\alpha r}, & u_k = C \sin(\alpha r + \delta). \end{array}$$

A különös és belső hullámfüggvényeket és deriváltjukat illesztend kell a határon. Ezért kívül a hullámfüggvény asszimptotikus véges volta miatt $D = 0$, az $r = 0$ pontban valós véges volta miatt.

perdig (mivel a hullámfeszültség valójában $\neq 0$) $B = 0$. Először a derivateket a hullámfeszültségekkel, kötött. Az szűrt állapot energiájára a következő összefüggést kapjuk:

$$\kappa \cotg(\kappa b) = -\alpha, \quad K \cotg(Kb) = \kappa \cotg(\kappa b + \delta)$$

A kötött állapot egyenlete egyszerűen megoldható, de az eredményt kiszéleírás azonnal tudjuk értékelni. A deuteron kötött energiaja 2226 MeV. Tételezzük fel első közelítésben, hogy $\alpha = 0$. Az egyenlet megoldása:

$$bK_0 = \frac{\pi}{2}, \quad b \approx 1.6 \text{ fm}, \quad b\sqrt{\frac{2eV_0}{\hbar^2}} \approx \frac{\pi}{2}, \quad V_0 \approx 10 \text{ MeV}$$

A kinetikus energia ezzel szemben 38 MeV, azaz a rendszer gyengén kötött.

$l=0$ állapotban a potenciális energia megnő a centrifugális potenciál pozitív volta miatt:

$$V \rightarrow V_{eff} = V + \frac{\hbar^2 l(l+1)}{2\mu r^2}.$$

Ilyenkor a mag már nem biztos, hogy kötött. Kiszéleírás az figyelhető meg, hogy a deuteronnak nincs gerjesztett állapota. A kötött állapotok energiájából következzen egy adatot tudunk meg, ami nem túl sokat mond a két nukleon potenciáliról.

További információkat nyerünk a mágernikról, ha a deuteron spinjét vizsgáljuk. A deuteron spinje mindig 1. Statistikusan meggondolások alapján azt várjuk, hogy a spin 75%-ban 1, 25%-ban 0. Ügyesdint nincs kötött bineutron, illetve kötött biproton állapot sem. Ennek egyetlen oka lehet csak: a mágernik spinfélék. A potenciál gyengébb szingulett állapotban, mint triplettben. Mivel a mágernik triplet állapotban éppen hogy kötői tudják a deuteronat, a szingulett állapot potenciál 5%-os gyengülése már azt jelenti, hogy a rendszer nem lesz kötött. A bineutron, mivel atomos részekből áll és így a Pauli elv érvényes rövid, $l=0$ szimmetrikus térföldi hullámfeszültség esetén csak antiszimmetrikus spin hullámfeszültséggel rendelkezhet, ami szingulett állapotnak felel meg.

A mágernik spinféléit leíró operátor

$$\mathbf{S} = \frac{1}{2}(\boldsymbol{\sigma}_1 + \boldsymbol{\sigma}_2),$$

ahol $\boldsymbol{\sigma}_1$ és $\boldsymbol{\sigma}_2$ a két részecske spinoperátora. Mivel

$$\mathbf{S}^2 = \frac{1}{4}(\boldsymbol{\sigma}_1 + \boldsymbol{\sigma}_2)^2, \quad \sigma^2 = 3I$$

$$(\boldsymbol{\sigma}_1 \boldsymbol{\sigma}_2) = 2S(S+1) - 3$$

A deuteronnak alapállapotban létezik csak hullámfeszültsége ($l=0$), ami azt jelenti, hogy töltésszimmetria gombaszimmetrikus. Kiszéleírás kimutatható, hogy a deuteronnak van kvadrupolmomentuma, ami nem szimmetrikus töltésszimmetriát jelent. Ez azt jelenti, hogy az alapállapot $l=0$ és $l=2$ -es állapotok keveréke ($l=1$ nem lehet a paritásmegmaradás miatt).

$$\Psi_D = \Psi_0(r) + \Psi_2(r)P_2(\cos\Theta)$$

Centrális potenciál esetén az egyes parciális hullámok szeparálódhatnak, így ez a hullámfeszültség csak akkor adhat mélyebbet energiát, mint a $\Psi_0(r)$ állapot, ha a mágernik nem teljesen centrálisak. A nem centrális rész a tensorerőinek nevezik. A tensorerő így van megvalósítva, hogy szingulett állapotra hatva vértessi ad, triplet állapotra hatva az általános $J=1$, $\Delta J = \pm 2$ -es állapotokat csatolja:

$$S_{12} = \frac{3(\boldsymbol{\sigma}_1 \cdot \mathbf{r})(\boldsymbol{\sigma}_2 \cdot \mathbf{r})}{r^2} - (\boldsymbol{\sigma}_1 \cdot \boldsymbol{\sigma}_2).$$

3.4 Izospin

A kisenergiájú n-p p-p és a hanyatlantalan károbaosztott n-n származék eredményei haszehasználva az adódik, hogy Coulomb származék eltekinthető adott állapotban (szingulett ill. triplet) a hatáskezelő-metamorfózis megegyeznek. Ez azt jelenti, hogy a mágernik a nukleonok kötött, töltésfelületlenek, a

neutron és proton magyarák szempontból, ha nem lenne a protonnak töltése, vagy nem is lenne elektronmagneses kölcsönhatás, azonos részek. Ez a felkísérlet fogalmasta meg matematikai alakban Wigner, amikor bevezette az isospin fogalmát.

Ezért a gondolatmenet szerint a proton és a neutron azonos részek, pont úgy mint a felfelé ill. lefelé mutató spinű elektronok. Az isospin hasonló mátrixval lehet leírni, mint a spin, csak ezek az isospin téren, tehát az isospin hullámfüggvényekre hatnak. A z komponens operátorát neutronra hattatva $1/2$ -t, protonra hattatva $-1/2$ -t kapunk. (Ez a kifejtésben definítő szerint fordított az előjel.) Két nukleon esetén $T=1$ ill. $T=0$ lehet. $T=1$ három beáltsal (nn, np, pp 1, 0,-1 értékekkel), a $T=0$ (np, 0 értékkel) egygyel. Matematikailag az isospin operátorok teljesen azonosak a spin operátorokkal.

A magentikus töltésfüggetlenek. Isotóp spin

$$\begin{aligned} \hat{T} &= \frac{1}{2} \sum \hat{\tau}_i, & \tau_{\pm} &= \tau_x \pm i\tau_y, \\ \tau_z \nu &= \nu, & \tau_+ \nu &= 0, & \tau_- \nu &= \pi, \\ \tau_z \pi &= -\pi, & \tau_+ \pi &= -\nu, & \tau_- \pi &= 0. \end{aligned}$$

3.5. Kis energiájú nukleon-nukleon szórás

Szövessünk egy R sugári objektumon egy pontszerű részecskeből fizikai paraméterrel. Félkörülözés általában belátható, hogy a két részecske egymás hatását csak akkor írja, ha

$$\hbar^2 l(l+1) < 2mER^2$$

Kis energián tehát a relatív impulzusmomentum 0. Érdemes érte a parciális hullámok módosítását alkalmazni. A szóráselméletből tudjuk, hogy rugalmas szórás esetén a hullámfüggvény asszimptotikusan

$$\Psi \rightarrow e^{ikx} + f(\theta) \frac{e^{ikr}}{r}$$

alakba irható. A hatáskeresztmetszet Ilyenkor:

$$\sigma = \int \sigma(\theta) d\Omega, \quad \sigma(\theta) = |f(\theta)|^2$$

$f(\theta)$ -t ill. $\sigma(\theta)$ -t parciális hullámokra bontva

$$\begin{aligned} f(\theta) &= \frac{1}{k} \sum (2l+1) e^{i\theta} \sin \delta_l P_l(\cos \theta) \\ \sigma &= \frac{4\pi}{k^2} \sum_l (2l+1) \sin^2 \delta_l \end{aligned}$$

Ha a potenciál nem centrikus, a fenti gondolatmenet kicsit komplikáltabb, mert a különböző parciális hullámok keverednek. δ_l -t fizikailag ismerünk, a két nukleon kölcsönhatása viszegázlatával már találkoztunk ezzel a fogalmonnal. δ_l -t a hatáskeresztmetszetből meg tudjuk határoznál, az in. fizikanális aszal fogalkozik, hogyan lehet a különböző δ_l értékekből a potenciált meghatározni.

3.6. Nagyenergiájú szórások

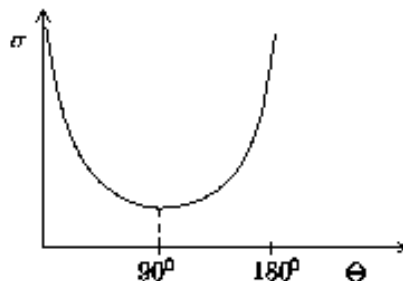
A parciális hullámok módosítával meghatározhatjuk a kisenergiájú szórás-keresztmetszeteket. Ahogy növekszik az energia, egyre több parciális hullám járulhat ki a figyelembe venni. Ilyenkor célszerű más módosítást alkalmazni.

Nagyenergiájú n-p szórás

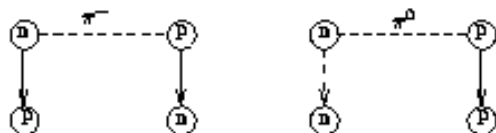
A szórás-keresztmetszetet viszegázlatból az jön ki, hogy nagyenergiájú n-p szórásnál az előre és hátrányba is viszonya

$$\frac{\sigma(0)}{\sigma(\pi)} = [1 + \frac{4m\delta^2 E}{h^2}] \sim 100 \quad \text{ha } E \sim 100 \text{ MeV}$$

A kisérleti eredmény ezzel szemben:



Kérdés, mi az oka ennek? A mágernik kísérőlökös jellegűek.



$$V \rightarrow \frac{1}{2}(1+P)V$$

Bekövetkezhet tehát, hogy egy proton-neutron, egy neutron-proton páron alakul. A kísérőlökös jelleg egyik következménye:

$$\Psi(r) \rightarrow \frac{1+P}{2}\Psi(r),$$

$$f(\Theta) \rightarrow (\frac{1+P}{2})f(\Theta) = \frac{1+P}{2} \frac{1}{2\pi h} \sum (2l+1)(e^{2lh} - 1)P_l(\cos\Theta) \rightarrow \frac{1}{2}(f(\Theta) + f(\pi - \Theta))$$

Mivel

$$Y_{lm}(\pi - \Theta, \varphi) = (-1)^l Y_{lm}(\Theta, \varphi),$$

ezért 1-páratlan állapotokban a mágernik nagyon gyengék.

Nagyenergiájú p-p szórás

Kisérleti megfigyelés

- $\sigma(\theta) \sim 100 - 500 \text{ MeV}-\text{ig}$ a szögfüggős körrel isotróp. Itt már nem minden rugalmass a szörás, plönk keletkezhetnek.
- $\sigma_t(E)$ azaz a teljes kerestmeteszet független a becső energiától kb. 600 MeV-ig.

Hogyan lehet ez?

a)

Ha a hatáskerestmeteszet szögfüggését nézük nagyobb energiákon, P_1 járulékai:

$$\begin{aligned} l=1 & \quad P_1 \sim \cos\Theta \\ l=2 & \quad P_2 \sim \frac{1}{2}\cos^2\Theta - \frac{1}{2} \end{aligned}$$

azaz ennek szögfüggős kellene, hogy legyen. Ugyanakkor a hatáskerestmeteszetekhez a P_1 , P_2 ad járulékok, ugyanis ha nem adna,

$$\sigma_0 = \frac{4\pi}{h^2} \sin^2 \delta_0 < \frac{4\pi}{h^2} \sim 25 \text{ mb}, \quad \text{ha } E = 400 \text{ MeV}$$

lenne, ezzel szemben a kísérleti érték 30 mb. l=1 figyelembe vételevel:

$$f(\Theta) \sim \sin^2 \delta_0 P_0^2(\Theta) + 6 \sin \delta_0 \sin \delta_1 \cos(\delta_0 - \delta_1) P_0(\Theta) P_1(\Theta) + 9 \sin^2 \delta_1 P_1^2(\Theta)$$

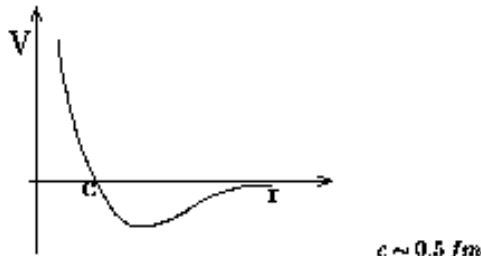
Az eltérés oka a spin-pálya csatolás. Ha ugyanis a Shrödinger egyenlet:

$$-\frac{\hbar^2}{2m} \Delta \Psi + V_0(r) \Psi + V_1(r) LS \Psi = E \Psi$$

alakú, akkor más δ-t ad 3P_0 , 3P_1 és 3P_2 állapotra és ezek lineáris kombinációja lép fel f(Θ)-ban. Megmutatható, hogy ha $\delta_{11}^2 = \delta_{11}^0 = -\delta_{11}^1$, akkor P együtthatói éppen megegyeznek.

b)

A második jelenségre a magyarázat az, hogy δ_0 nagyobb energián negatívvá válik, és δ-k járulával megegyezik egymást.



p-p szűrőnél új jelenségek léptek fel, amiket az n-p szűrőnél nem észleltünk. Az ok: a Pauli elv miatt bizonyos hullámok tiltottak, az n-p szűrőnél sokkal több hullám ad járuládot, ez módosítja a kvantitatív képet.

Bizonyos jelenségek csak p-p szűrőnél figyelhetők meg.

3.7. Két nukleon potenciál Általános alakja a kísérletek alapján

1. Előző hatótávolságú (magok mérete, α szűrő)
2. Kézeli töltésfüggelék (ida energiájú n-p, n-n, p-p szűrő szűrőhozva azonos)
3. Spinfüggő (d spinje 1, nincs binetáron)
4. Nem teljesen centrális (tensorerő, denteron kvadrupól momentuma)
5. Kinetikus jellegűek (nagyenergiájú n-p hárásokról)
6. Spin-pálya csatoló (nagyenergiájú p-p szűrő körrel izotróp)
7. Sebesítőfüggő vagy tasztó törzsel (nagyenergiájú p-p szűrő energiafüggelten)

Potenciál hatása különböző állapotokban:

	1S_0	3S_1	1P_1	3P_0	3P_1	3P_2	1D_2	3D_1	3D_2	3D_3
V_c	+1	+1	+1	+1	+1	+1	+1	+1	+1	+1
$V_S(\sigma_1 \sigma_2)$	-3	+1	-3	+1	+1	+1	-3	+1	+1	+1
$V_{LS}(LS)$	0	0	0	-2	-1	+1	0	-3	-1	+2
$V_T S_{12}$	0	3D_1	0	0	0	3F_2	0	3G_1	0	3G_3

3.8. Két nukleon potenciál általános alakja szimmetria elvekből

Szimmetria tulajdonságok

- a.) Eltolási invariancia: csak $r = r_1 - r_2$, $p = p_1 - p_2$, és σ_1, σ_2 -től függhet.
- b.) Mértékelt invariancia: minden explicit módon nem függ
- c.) Forgás invariancia: skalár kell hogy legyen
- d.) Térítményes invariancia: paritás megnarad
- e.) Időszimmetria: időparitás megnarad
- f.) Két rész felosztással szembeni invariancia
- g.) Isotróp spin z tengelyre körülfordítás invariancia: töltésmegmaradás

Nézzük meg ezek után az egyes vektorok viselkedését az egyes operációk esetén.

3.8.1. Vektorok viselkedése szimmetrikus operációk esetén

	Térítményes	Mértékelt
r	V	+
p	V	-
σ	AV	-
$\sigma_1 \times \sigma_2$	AV	+
$\sigma \times r$	V	-
$\sigma \times p$	V	+
$r \times p$	AV	-

V: vektor, AV: additívvektor.

V és AV vektorialis szorvata mindenig V

V és V vektorialis szorvata mindenig AV

AV és AV vektorialis szorvata mindenig AV

3.8.2. A legaltalánosabb potenciál szimmetriaelvek alapján

$V = V(r^2, p^2, L^2)$ függvény, ezek külön nem szerepelnek.

$$\begin{aligned} (r \times p)(r \times p) &= L^2 \\ (rp)(rp) &= r^2 p^2 - L^2 \\ rr &= r^2, \quad pp = p^2 \end{aligned} \quad \left. \begin{array}{l} \text{tehát ezek a kombinációk} \\ \text{sem szerepelnek} \end{array} \right\}$$

$$(\sigma a)(\sigma b) = (ab) + i\sigma(a \times b)$$

σ_1, σ_2 minden egyik csak egyszer fordulhat elő.

Invariánsa szorvatai szimmetrikus operációk esetén:

	Mértékelt	2 rész eseté
1 (skalar)	+	+
(rp)	-	+
$(\sigma_1 \sigma_2)$	+	+
$(\sigma_1 + \sigma_2)(r \times p)$	+	+
$(\sigma_1 - \sigma_2)(r \times p)$	+	-
$(\sigma_1 p)(\sigma_2 p)$	+	+
$(\sigma_1 r)(\sigma_2 r)$	+	+
$(\sigma_1 r)(\sigma_2 p) + (\sigma_1 p)(\sigma_2 r)$	-	+

$(\sigma_1 r)(\sigma_2 p) - (\sigma_1 p)(\sigma_2 r)$	-	-
$(\sigma_1(r \times p))(\sigma_2(r \times p))$	+	+
$(\sigma_1 \sigma_2)(rp)$	-	+
$((\sigma_1 + \sigma_2)(r \times p))(rp)$	-	-
$((\sigma_1 - \sigma_2)(r \times p))(rp)$	-	+
$(\sigma_1 p)(\sigma_2 p)(rp)$	-	+
$((\sigma_1 r)(\sigma_2 p) + (\sigma_1 p)(\sigma_2 r))(rp)$	+	+
$((\sigma_1 r)(\sigma_2 p) - (\sigma_1 p)(\sigma_2 r))(rp)$	+	-
$(\sigma_1(r \times p))(\sigma_2(r \times p))(rp)$	-	+

Mivel csak a skalármennyiségekkel van szó, a törökörösést nem kell külön vizsgálni.
Ezek alapján a legalálkönnyebb potenciál:

$$V = V_c + V_S(\sigma_1 \sigma_2) + V_R(\sigma_1 r)(\sigma_2 r) + V_L(\sigma_1 + \sigma_2)(r \times p) + \\ + V_h(\sigma_1(r \times p))(\sigma_2(r \times p)) + V_B(\sigma_1 p)(\sigma_2 p) + V_T((\sigma_1 r)(\sigma_2 p) + (\sigma_1 p)(\sigma_2 r))(rp)$$

Itt minden V_i -re igaz, hogy:

$$V_i = U_i + W_i(\tau_1 \tau_2)$$

Ha feltezzük, hogy a potenciál p-től csak az $r \times p = L$ kombinációban függ, és bevezetjük a tensorrendszert:

$$\hat{S}_{12} = \frac{3(\sigma_1 r)(\sigma_2 r)}{r^2} - (\sigma_1 \sigma_2),$$

valamint a $\sigma_1 + \sigma_2 = 2\hat{S}$ vektort, akkor

$$\hat{V} = V_c + V_S(\sigma_1 \sigma_2) + V_R \hat{S}_{12} + V_{LS}(LS) + V_Q(LS)^2$$

adódik. Ez a legalálkönnyebb potenciál, amit a szimmetriaelvük megengednek, és en jön ki a kisállatokból is. A potenciál hatása szingulett és triplet állapotra:

$$\begin{aligned} \hat{V} \Psi \chi_S &= (V_c - 3V_S) \Psi \chi_S \\ \hat{V} \Psi \chi_T &= \\ &= \left(V_c + 3V_S + \frac{1}{2}(J(J+1) - L(L+1) - 2)V_{LS} + \frac{1}{4}(J(J+1) - L(L+1) - 2)^2 V_Q \right) \Psi \chi_T + \\ &\quad + V_T \hat{S}_{12} \Psi \chi_T \end{aligned}$$

4. fejezet

Alapállapotú atommagok

4.1. Magmodellek

4.1.1. Modellalkotás a magfizikában, maganyag fogalma

Az atommagok több szisz. szabadsági fuktál függvények, ilyen hullámfüggvények Schrödinger egyenletét nem tudjuk megoldani. Valami módon néhány szabadsági fuktál függő egyenletek megoldására kell a problémát visszavezetni.

Az alapegyenlet a Schrödinger egyenlet, azaz időnél független esetben $H\Psi = E\Psi$. A Hamilton operátor, feltételezve hogy a magénk körtest ennek,

$$H = \sum_i t_i + \frac{1}{2} \sum_i \sum_{j \neq i} v_{ij}, \quad t_i = -\frac{\hbar^2}{2m} \Delta_i$$

alakban írható, ahol v_{ij} a két nukleon köztött kölcsönhatás operátora, t_i pedig a kinetikus energia. A v operátor függhet a spin operátorról, az impulusról, stb. A Schrödinger egyenlet közelítő megoldására a működés a perturbációs módszer. Kihagyunk egy H_0 perturbálatlan operátorból, és annak Ψ sajátfüggvényéből. A teljes Hamilton operátor

$$H = H_0 + H_1, \quad H_0\Psi = E\Psi,$$

alakban írható. Ψ egy tetszőleges hullámfüggvény, amiről azt tütelesítik fel, jö közelítésben leírja az atommagot. H_0 az ennek megfelelő Hamilton operátor.

A modellalkotásnál az alapkérés az, mi az a néhány szabadsági fok, ami jellemzi az atommagot. Egyik lehetőség az, hogy a magot az alakjával jellemessük, és a hullámfüggvény az alak-paraméterektől függ. Ez a modellt nevezik kollektív típusú modellnek, mert a mag egészét leíró kollektív mozgást jellemző paraméterektől függ. Ha a mag sugara

$$R = R_0 \left[1 + \sum_{\lambda \geq 2} \sum_{\mu=-\lambda}^{\lambda} \alpha_{\lambda\mu} Y_{\lambda\mu} \right],$$

akkor a hullámfüggvény az $\alpha_{\lambda\mu}$ paraméterek függvénye.

A modellek másik legegyetértőbb típusa az, amikor a hullámfüggvényt egy részeske hullámfüggvények antiszimmetrikált szorzataként írjuk fel. Ilyenkor a Hamilton operátorban H_0 -t egy részeske operátorok összegének válasszuk

$$H_0 = \sum_i (t_i + V_i).$$

A teljes hullámfüggvény

$$\Psi = A \prod_{i=1}^A \psi_i,$$

ahol a ψ -k az egyréteges Schrödinger egyenletek megoldásai. Ezeket a modelleket nevezik független részecske modelleknek. Az az egyes modellek abban különböznek egymástól, hogyan választjuk meg az egyréteges V potenciált. Teljesen valószínű, hogy a kétfélé modell típus teljesen különbözik magról alkotott elérési útaknak felé meg. A kollektív modellnek az alapfeltevése, hogy az atommag alkotórészei a magon belül elválasztva, belsejükben a mag egészébe. Ilyen rendszer a folyadék, a folyadékban nem beszélhetünk egyetlen nukleonról, csak a folyadék egészéről. Ezért az előző ilyen modellt csepmodellnek nevezik el. A független részecske modell alapfeltevése az, hogy a nukleonok egymástól közel függetlenül mozognak egy átlagos potenciálvölgyben, miközben megőrzik individualitásukat és kvantumszámát.

4.1.2. Maganyag

A modellalkotásnál segítséget nyújt egy fiktív rendszer, a maganyag fogalma. Ha a protonok közelében nem hatna elektronra törések, a magnák a legkedveltebb állapota egy végtelen nagy, azonos neutron és protonszámúból álló rendszer lenne. Ezt a fiktív rendszert nevezik maganyagnak. Az ennek kölönbségekben szempontjából célszerű a maganyagot bevezetni, mert a magentikus hatások ebben a rendszerben lehet legjobban vizsgálni.

4.1.3. Magmodell típusok

1.) Csepmodell

1.a) Kollektív modell (visszatérés a csepmodellhez)

2.) Független részecske modellek

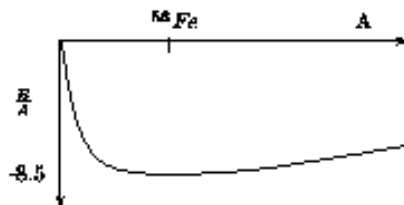
2.a) Ezek egy típusa: megengedünk kölcsön deformációt.

2.b) Szelfkonzisztens független rész modellek (Hartree Fock)

3.) Egyesített magmodell

4.2. Telítettség és csepmodell

A csepmodell az atommag klárleti tulajdonosig közeljel tölti magyarázni a kötést energiát és a telítettséget. Ha megmérük az egy nukleona eső kötést energiát a tömegszám függvényében



azt látjuk, hogy átlagosan az egy nukleona eső kötést energiája arányos kb. 8 MeV. Az egy részre körülbelül 90% a tömegszám energia formulával lehet jól leírni.

$$B = -c_1 A + c_2 A^{\frac{1}{3}} + c_3 \left(\frac{N-Z}{A} \right)^2 A - c_4 \left(\frac{N-Z}{A} \right)^2 A^{\frac{1}{3}} + c_5 \frac{Z^2}{A^{\frac{1}{3}}} + c_6 \frac{\delta}{A^{0.65}},$$

ahol

$$\delta = \begin{cases} -1 & \text{pa pa magra} \\ 0 & \text{pa pa magra} \\ +1 & \text{pa pa magra} \end{cases}$$

Az együtthatók értékei :

$$c_1 \sim 15 - 16 \text{ MeV}, \quad c_2 \sim 32 \text{ MeV}, \quad c_3 = 0.71 \text{ MeV}, \\ c_4 \sim 18 - 20 \text{ MeV}, \quad c_5 \sim 45 \text{ MeV}, \quad c_6 = 16 \text{ MeV}.$$

Mivel az atommagok közel gyömbálsaknak, és a mag sugara illetve átlaggyűrűje elég kicsitlenben

$$R = r_0 A^{\frac{1}{3}}, \quad r_0 \sim 1.2 \text{ fm}, \quad \rho_0 = \frac{A}{V} \sim 0.16 \text{ fm}^{-3}$$

a félhémiatikus kötést energia formula elérő tagja a térfogattal arányos vonású kifejezés, a második tag a felülettel arányosan csökkenőt mutat a vonásban. A harmadik és negyedik tag az im. térfogati és felületi szimmetria tag, az ötödik tag a Coulomb energia és végül az utolsó tag a párenegy.

A csoportmodell alapján az elérő két tag véges, a második tag adja meg a felületi energiat, amelyik a folyadékknál található felületi feszültségekkel felel meg. A szimmetria energiák oka a Pauli elv. A legalacsonyabb energia állapotban a Pauli elv szerint csak egy részeseket helyezhet el, de ha a neutronok és a protonok költöznek részek, két részesek van a legmagasabb állapotban. A szimmetria tagok az $N=Z$ esetet favorizálják.

A párenegy felléptén kiszereti megfigyelések indokolják. A periódusos rendszerben kb. 250 olyan atommag van, amiben a neutron és protonszám páros, kb. 130-130 olyan, amiben csak egyik páros és végül összesen csak 4 olyan atommag van, amelyikben minden részeseket páratlan. Valahogy úgy néz ki, hogy a páros neutron ill. protonszámú magok erősebb vannak kötésre. Ennek a tagnak a felléptével a magkeresztű viszagrólataknál meg kell érteni.

A félhémiatikus kötést formulában jól látható a telítettség jelensége. A Coulomb energia a protonszám négyzetével arányos, míg a vonásuk nukleáris energia csak a részesekszámmal.

A maganyag energiáját megkapjuk, ha elhagyjuk a Coulomb energiát. Ilyenkor $N=Z$. Az a rendszer végtelen lesz, amikor csak az elérő tag marad meg. Az energia -16 MeV részeseknél, azaz egyszerű tömegszám függelén. Ez a jelenséget nevezik energia telítettségeknek.

Az energia telítettsége egyúttal a szűrők telítettséget is jelenti. Ez a folyadékknál kimutatott jelenség: a tenger vizé és egy pohár viz elérő készüléken egyformán szűrő. A folyadékcsöpp modell alapján tehető érthető a telítettség. A független részesek modellek alapján azonban körülönleg nem lehet megérteni, hogy a két nukleon kölönbségből származó energia miért nem a tömegszám négyzetével arányos. Ez a köthilány okozta a csoportmodell kiesetét akkor, hogy a sikereket csak megerősítette a használati 1998-ban Bohr által adott magyarázat.

4.3. Független részeseké modellek

A csoportmodellre a döntő csapást a magikus számok létére mérte. Vannak olyan neutron illetve protonszámú magok, amelyek különlegesen stabilitak, az utolsó nukleonok erősen kötötték benneik, ekkor stabil isotóp van adott neutron ill. protonszám mellett. Az a kötést energia kiemelkedően magasak. Ezek a számok: 2, 8, 20, 28, 50, 82, 126.

Használ jelenséget kimutat az atomfizikából: ilyen különleges tulajdonságokkal rendelkeznek a nemesíkok. Az elektronok az atommag Coulomb terében elérő készüléken egyaránt mintegy függetlenül mozognak. Minden egyes elektronról adott kvantumszámok, jellemzők. Az energiák degeneráltak: különbségi kvantumszámokhoz tartozó állapotoknak azonos energiaja van. Ha egy adott energiaártékhez tartozó valamennyi elektronállapotot be van töltve, különlegesen stabill atom keletkezik, amelyik nehézen vesz részt kémiai kölönbsében, nehézen vesz fel vagy ad le elektronat.

Az atomban azonban érthető ezeknek az állapotoknak a jelentése: a mag elektron kölönbsége mellett az elektronok közel kölönbséget, amig nem til az elektron van, elhanyagolható.

A magon belül nincs egy központi erő, ami a különleges nukleárisumok felléptére előkészíthetné. A magenrők erősek, nem érthető, hogy ezek mi mellett hanyagolhatók el elérő készülében.

A magikus számok létére azonban mégis azt bizonyította, hogy a magokon belül a független részesek modell lép a jó készülések. A töredékekben minden használható modell ellen alapszik, és ezekkel kell az atommagok megfigyelt tulajdonságait megmagyarázni.

4.3.1. Fermi gáz modell

A független részesek modellben, mint láttuk, a hullámfüggvény egyrészesek hullámfüggvények antiszimmetrikus összefüggése. A legegyetlenibb készülés az, amikor perturbációban hullámfüggvényeknek

a kinetikus energia operátor sajátföggvényei, azaz alkalmanként találunk. Ezt a modellt nevezik Fermi gáz modellnek.

$$H\Psi = E\Psi, \quad H_0\Psi = E_0\Psi, \quad H_0 = \sum_i t_i, \quad \Psi = A \prod_{i=1}^A \psi_i$$

A teljes energia

$$E = \frac{(\Psi, H\Psi)}{(\Psi, \Psi)} = E_0 + \frac{(\Psi, H_0\Psi)}{(\Psi, \Psi)},$$

ami Born közelítésben

$$E_B = E_0 + \frac{(\Psi, H\Psi)}{(\Psi, \Psi)} = (\Psi, H\Psi).$$

Ha a perturbáltan hullámföggvényt behelyettesítjük a Schrödinger egyenletbe, Az balról skalárisan szorozzuk az A-1 részesek hullámföggvényével, lthagya be kiegészítők állapotot.

$$-\frac{\hbar^2}{2m} \Delta_1 \psi_1 = e_1 \psi_1$$

Egyenlet adódik. Ennek megoldása alkalmánföggvény.

Figyelembe véve, hogy a részeseket spin és ellenes spin érték is jellemzi, az egyrészesek állapotot jellemző hullámföggvény.

$$\psi_i = \varphi_i(r) \chi_i \tau_i, \quad \varphi_i = \frac{1}{\sqrt{\Omega}} e^{i \frac{2\pi}{\lambda} r}.$$

A kinetikus energia most éppen a perturbáltan energiával egyenlő meg:

$$E_0 = T = \frac{1}{\Omega} \sum_i \frac{\hbar^2}{2m} k_i^2 = \sum_i (\psi_i, T \psi_i)$$

Az energia kiszámításához töreünk át összegzés helyett integrációra. A statisztikus fizika értelmezésben a lehetséges állapotok száma:

$$N = \sum_{i=1}^N 1 = \int \int_0^{p_N} d\omega(p)$$

$$d\omega = g \frac{d\Omega \cdot 4\pi p^2 dp}{(2\pi\hbar)^3}$$

ahol p_N a maximális p érték, ameddig az állapotok be vannak töltve. Ez Fermi elvnek szokás nevezni. g az egy energia állapotban található részek száma (spin ellenes spin faktor). Az állapotokat a feszültségfogat osztva az elemi Planck félre címszámával mérhetjük. Bevezetve a $p = \hbar k$ jelelést:

$$N = \frac{\Omega k_N^3}{6\pi^2} g \quad k_N = \left(\frac{6\pi^2}{g} \right)^{\frac{1}{3}} \rho^{\frac{1}{3}}$$

Az integrálist elvégzve megkapjuk a részesekszám és a Fermi impulnsi kölcsönösségét. Két spin és két nukleon típus esetén $g = 1$, két spin esetén ≥ 2 , így

$$k_n = (3\pi^2)^{\frac{1}{3}} \rho_n^{\frac{1}{3}} \quad \rho = \rho_n + \rho_p \quad k_p = \left(\frac{3\pi^2}{2} \right)^{\frac{1}{3}} \rho^{\frac{1}{3}}$$

A kinetikus energia:

$$T = \sum_i \frac{\hbar^2}{2m} k_i^2 = \Omega \frac{\hbar^2}{2m} \frac{3}{5} \left(\frac{3\pi^2}{2} \right)^{\frac{2}{3}} \rho^{\frac{5}{3}} = \frac{3\hbar^2}{10m} A \left(1 + \frac{5}{9}\pi^2 \right) \left(\frac{3\pi^2}{2} \right)^{\frac{2}{3}} \rho^{\frac{5}{3}},$$

$$\pi = \frac{N - Z}{A}.$$

A potenciális energia meghatározása egy kicsit nehezebb feladat, mert int. antiszimmetrikus két részecske hullámfüggvényeket kell figyelembe venni. Környül ugyanis belátott, hogy az egy részecske hullámfüggvények ortogonalitása miatt csak ezek adnak járuléket. A két részecske hullámfüggvényt azért lehet választani térbeli, spin Ás isospin hullámfüggvények szorosítára (három részecske esetén ez már nem igaz).

$$\Psi_{ij} = \varphi_{ij} \chi_{ij} \tau_{ij}.$$

A teljes hullámfüggvény antiszimmetrikus kell hogy legyen. Figyelembe véve, hogy a triplet spin III. isospin hullámfüggvények szimmetrikusak, a singuletek antiszimmetrikusak

Isospin	Spin	Változóinak száma	Térbeli rész
T=1	S=1	9/16	antiszim.
T=1	S=0	3/16	szim.
T=0	S=1	3/16	szim.
T=0	S=0	1/16	antiszim.

azaz a térbeli rész 3/8 változóval szimmetrikus, 5/8 -dal antiszimmetrikus.

A szimmetrikus III. antiszimmetrikus térbeli két részecske hullámfüggvény alkalmanként esetén

$$\varphi_{ij}(r_1, r_2) = \varphi_{ij}(r_{12}) = \frac{1}{\sqrt{2}}(\varphi_i(r_1)\varphi_j(r_2) \pm \varphi_i(r_2)\varphi_j(r_1)) = \frac{1}{\sqrt{2}\Omega}e^{i\mathbf{kRr}}(e^{i\mathbf{k}\mathbf{r}_1} \pm e^{-i\mathbf{k}\mathbf{r}_2})$$

ahol

$$\begin{aligned} \mathbf{R} &= \frac{\mathbf{r}_1 - \mathbf{r}_2}{2}, \\ \mathbf{k} &= \mathbf{k}_1 + \mathbf{k}_2, \quad \mathbf{k} = \frac{\mathbf{k}_1 - \mathbf{k}_2}{2}. \end{aligned}$$

A potenciális energia mátrixeleme

$$V_{ij} = \langle \Psi_{ij}(\mathbf{kr}) | v(\mathbf{r}) | \Psi_{ij}(\mathbf{kr}) \rangle,$$

ami szimmetrikus és antiszimmetrikus részre összegezve, E-re és a szög szerint integrálva

$$V_{ij} = \frac{3}{8\Omega} \int d^3r v(r)(1 + \cos 2\mathbf{k}\mathbf{r}) + \frac{5}{8\Omega} \int v(r)(1 - \cos 2\mathbf{k}\mathbf{r})d^3r = \frac{4\pi}{\Omega} \int v(r)r^2 dr \left[1 - \frac{1}{4} \frac{\sin 2\mathbf{k}\mathbf{r}}{2\mathbf{k}\mathbf{r}} \right].$$

Helyettesítünk $v(r)$ helyébe Yukawa potenciált, és integrálunk r-re

$$V_{ij} = -\frac{4\pi r_0}{\Omega} \left[\frac{1}{\mu^2} - \frac{1}{4} \frac{1}{4k^2 + \mu^2} \right].$$

Látható, hogy a kicsenélő tag sebességfüggő.

Az int. szereplő mátrixelem két részecske hullámfüggvénye között van különbség. Ha a teljes hullámfüggvényel számolunk

$$E_{\text{pot}} = \langle \Phi | V | \Phi \rangle = \frac{1}{2} \sum_{i,j} \langle \Psi_{ij} | V | \Psi_{ij} \rangle = \frac{1}{2} \sum_{i,j} \langle \varphi_{ij} | V | \varphi_{ij} \rangle$$

azaz éppen a V_{ij} kifejezés impulzusra való leírása használható le. A leírás használata csak k -nál függő kifejezés esetén átalakíthatjuk k szerinti használatait.

$$\sum_i \sum_j = \left[\frac{1 \cdot 4\pi r_0}{(2\pi)^3} \right]^2 \int_0^{k_F} k_i^2 dk_i \int_0^{k_F} k_j^2 dk_j = \frac{16\Omega^2}{3\pi^4} \int_0^{k_F} k^2 dk \left[2k_F^3 - 3k_F^2 k + k^3 \right].$$

$\frac{\mu}{2k_F} \ll 1$ esetén sorbafejtve és integrálva a potenciális energia

$$E_{\text{pot}} = -\frac{2\pi r_0}{\mu^2} A\rho \left(1 - \frac{9}{16} \frac{\mu^2}{k_F^2} \right) = -A\beta\rho + A\gamma\rho^{\frac{1}{3}}.$$

Az egy részecske jutó teljes energia magánagra

$$W = \frac{E}{A} = \alpha\rho^{\frac{3}{2}} - \beta\rho + \gamma\rho^{\frac{1}{2}}.$$

Ez a kifejezés nem telített a struktúrban, legmagasabb energia állapota

$$\rho = \infty.$$

Látható, hogy nem a magenkő rövid hatótávolságára okozza a telítettséget: itt rövid hatótávolsági erőkkel számoltunk. Így az energia mégsem telített.

Hogyan lehet telítettséget elérni?

Leggyorsabban eset, ha $\epsilon = -\epsilon_0 + n\hbar^2$ sebességfüggő magenkő használunk, mint már az elöljárókben is. Ekkor a n -es tag előjele ellenkező, mint ϵ_0 -é, és $\rho^{\frac{1}{2}}$ -nél magasabb ρ függvény szerepel benne, azaz

$$W = \frac{E}{A} = \alpha\rho^{\frac{3}{2}} - \beta\rho + \gamma\rho^{\frac{1}{2}} + \delta\rho^{\frac{5}{2}},$$

ami már telített ρ -ban.

4.3.2. Harmonikus oszcillátor modell

A Fermi-gáz modell nyilvánvalan végtelen maganyagra igaz, hiszen a sűrhullámokból lépni a struktúra

$$\rho = \text{const}$$

azaz mindenfél egyformán valósult. Véges magokra olyan egyszerűsítés potenciált kell választaniuk, amelyiknél a kapott struktúra a mag struktúravezetékkel megegyezik. Első közelítéshöz tekintünk egy harmonikus oszcillátor potenciált:

$$V(r) = -V_0 + \frac{1}{2}m\omega^2 r^2 = V_0\left(\frac{r^2}{R^2} - 1\right).$$

Az egy-részre vonatkozó Schrödinger egyenletek Ilyenkor

$$-\frac{\hbar^2}{2m}\Delta\psi_n(r) + V_0\left(\frac{r^2}{R^2} - 1\right)\psi_n(r) = E_n\psi_n(r).$$

Kvantummechanikából ismert, hogy ezeket a parciális differenciálegyenleteket szétesztéses módszerrel megoldhatjuk. Ha a hullámfüggvényt,

$$\psi_n(r) = \varphi_{n_1}(x)\varphi_{n_2}(y)\varphi_{n_3}(z)$$

alakban keresünk, megkapjuk az egymenséges harmonikus oszcillátor egyenleteket.

$$\frac{d^2\varphi_{n_i}}{dr_i^2} + \frac{2m}{\hbar^2}\left(e_{n_i} - \frac{1}{2}m\omega^2r_i^2\right)\varphi_{n_i} = 0.$$

Ezeknek a megoldásai a Hermite polinomok, és az energia értékek

$$e_{n_i} = \hbar\omega\left(n_i + \frac{1}{2}\right).$$

A teljes energia a három részenergia és a konstans potenciális energia összege

$$E_n = -V_0 + e_{n_1} + e_{n_2} + e_{n_3} = -V_0 + \hbar\omega\left(n + \frac{3}{2}\right),$$

ahol $n = n_1 + n_2 + n_3$.

Látható, hogy egy adott E energiához több állapot tartozik, azaz az állapotok degeneráltak. A degeneráltság foka

$$N = 2 \sum_{k=0}^n (n+1-k) = 2 \sum_{k=0}^n (k+1) = (n+1)(n+2),$$

ahol a 2 szörő a kétfélé spinállapot miatt lép fel.

Nézzük meg, milyen másikat ad a harmonikus oszcillátor modell

n	0	1	2	3	4	5	6
N	2	6	12	20	30	42	56
L	0	1	0 2	1 3	0 2 4	1 3 5	0 2 4 6
N	2	6	2 10	6 14	2 10 18	6 14 22	2 10 18 26
$\sum N$	2	8	20	40	70	112	168

Írjuk fel a harmonikus oszcillátor egyenletét polárokörítműdáskban, kvantumszámok n,l,m. Adott n esetén 10 és n köztött váltóhat, de paritás megmaradás miatt, vagy párös, vagy páratlan. 2 spin miatt adott l-hez $2(2l+1)$ állapot tartozik. Harmonikus oszcillátor potenciál nem írhatja jól le a magot ugyanis $V \rightarrow \infty$ ha $r \rightarrow \infty$, a valójában V exponenciálisan 0-hoz tart.

A szabadlandó potenciál alakjára információt nyerhetünk a struktúrálásból. Végtelen maganyagban

$$\rho(r) \sim E_F^3(r)$$

Legegyszerűbb esetben

$$E_F = T_F + V = \frac{\hbar^2}{2m} k_F^2(r) + V$$

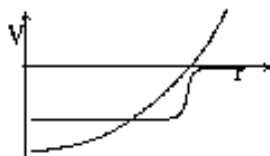
Tehát a potenciál alakja

$$V \sim E_F - c\rho^{\frac{3}{2}}$$

Ennek a módosított változatát hívják Saxon-Woods potenciálnak.

$$V \sim \frac{V_0}{1 + e^{\frac{r-R}{a}}}$$

A Saxon Woods Az harmonikus oszcillátor potenciál összehasonlíthatóval látható, hogy az elágazásoknál kevésbé mély. Hogyan változtatja ez magikus számokat?



Az ábrából látható, hogy mélyti a nagy l-től állapotok energiáját.

1949-ben Mayer-Jessen : spin-pálya osztálys van egyrésekéke potenciálban. (Relativisztikus törzsgáldában nemrelativisztikus közelítést véve ex magántól kijön)

$$V = -V_c + 2V_{LS}LS = -V_c + V_{LS}(J^2 - L^2 - S^2),$$

$$-\frac{\hbar^2}{2m}\Delta\varphi_n - V\varphi_n + V_{LS}(J^2 - L^2 - S^2)\varphi_n = E_n\varphi_n.$$

$$E_{nlj} = E_{nl} - V_{LS} \left(j(j+1) - l(l+1) - \frac{3}{4} \right).$$

$$\begin{aligned} j_> &= l + \frac{1}{2} \\ j_- &= l - \frac{1}{2} \end{aligned} \quad 2(2l+1) = (2j_>+1) + (2j_-+1).$$

Ezek után a magikus számok:

n	1	j	N	$\sum N$
0	0	1/2	2	2
		3/2	4	
1	1	1/2	2	8
		5/2	6	
2	2	3/2	4	20
	0	1/2	2	
	3	7/2	8	28
3		5/2	6	
	1	3/2	4	
		1/2	2	50
	4	9/2	10	
		7/2	8	
4	2	5/2	6	
		3/2	4	82
	0	1/2	2	
	5	11/2	12	
		9/2	10	
5	3	7/2	8	
		5/2	6	
	1	3/2	4	126
6		1/2	2	
	6	13/2	14	

4.3.3. Hartree Fock közelítés

Kérdés, milyen a legjobb egyrétegű potenciál. Eddig elterüleg analógiá alapján választottuk. A vilázi variációsmetódossal kapható meg. Egy tetszőleges hullámfüggvényt sorbafejtve a H sajátfüggvényei szerint:

$$\Phi = \sum c_k \psi_k,$$

ahol

$$H\psi_k = E_k \psi_k.$$

Az E_k energiák közül E_0 a legmagasabb, így

$$\langle \Phi | H | \Phi \rangle = \sum c_k c_{k'} E_k \langle \psi_k | \psi_{k'} \rangle = \sum |c_k|^2 E_k \geq E_0,$$

azaz tetszőleges hullámfüggvényel képezve H sajátértékét, az minden nagyobb a valódi energiánál. Feltételez variációsmetódossal ortogonális függvényeket használva

$$W = \langle \Phi | H | \Phi \rangle = \sum_i \langle \varphi_i | \hat{h} | \varphi_i \rangle + \frac{1}{2} \sum_{i,j} \langle \varphi_i \varphi_j | \hat{h} | \varphi_i \varphi_j \rangle,$$

$$\delta(W - \sum c_k \langle \varphi_k | \varphi_k \rangle) = 0.$$

ahol $\sum_{i,j} \langle \varphi_i \varphi_j | \hat{h} | \varphi_i \varphi_j \rangle$ antiszimmetrisz átmatrixelemet jelent.

Innen meglápjuk a hullámfüggvényekre vonatkozó egy-rétegűs egyenletrendszert:

$$-\frac{\hbar^2}{2m} \Delta \varphi_i(r_1) + \sum_j \langle \varphi_j(r_2) | \hat{v} | \varphi_j(r_2) \varphi_i(r_1) \rangle - \sum_j \langle \varphi_j(r_2) | \hat{v} | \varphi_i(r_2) \varphi_j(r_1) \rangle = c_i \varphi_i(r).$$

Bevezetve a

$$\int \rho(r_2) \psi(r) d^3 r_2 \varphi_i(r_1) - \sum_j \int \varphi_j(r_2)^* \psi(r) \varphi_i(r_2) d^3 r_2 \varphi_j(r_1) = \int V(r, r') \varphi_i(r') d^3 r'$$

jelelhet,

$$-\frac{\hbar^2}{2m} \Delta \varphi_i(r) + \int V(r, r') \varphi_i(r') d^3 r' = e_i \varphi_i(r)$$

lesz az egyenlet.

A megoldandó egyenletekben elkerüljük a nem lokális potenciálok helyett ekvivalens lokális potenciált használjuk.

$$U_i(r) = \frac{1}{\varphi_i(r)} \int V(r, r') \varphi_i(r') d^3 r', \quad -\frac{\hbar^2}{2m} \Delta \varphi_i(r) + U_i(r) \varphi_i(r) = e_i \varphi_i(r).$$

A megoldás önkonzervatív tulajdonsággal kapható meg:

$$W = \sum_i \langle \varphi_i | \hat{e}_i | \varphi_i \rangle + \frac{1}{2} \sum_{i,j} \langle \varphi_i \varphi_j | \hat{V} | \varphi_i \varphi_j \rangle \neq \sum_i e_i$$

A teljes energia nem az egyrésekre érvényes energia, míg a héjmodellben az volt.

4.3.4. Független részecskék modellök

A független részecskék modell lényege: a nukleonok egymástól kizárt függetlenül mozognak egy kötöttség, valamennyi nukleon által hibásított potenciálról fogynak.

Ilyen potenciálról csak Hartree-Fock közelítésben kapunk. A többi független részecskék modell egyik különbsége, hogy nukleonjuktól független potenciálról fogynak használjuk. A teljes hullámfogantyú elso közelítésben egyrésekre hullámfogantyúkat alkalmaznak.

Foglaljuk össze a független részecskék modelljeit:

$$H = H_0 + H_1 = \sum_i t_i + \frac{1}{2} \sum_{ij} \epsilon_{ij}$$

$$H_0 \Phi = E_0 \Phi, \quad H \Psi = E \Psi, \quad \Phi = A \prod_{i=1}^A \varphi_i,$$

$$E = E_0 + \frac{\langle \Phi, H_1 \Psi \rangle}{\langle \Phi, \Psi \rangle}.$$

Born közelítés: $E = E_0 + (\Phi, H_1 \Phi) = (\Phi, H \Phi)$.

A független rész modellök abban különböznek, hogyan választjuk H_0 -t:

1. Végtelen rendszer: Fermi-gáz modell

$$H_0 = \sum_i t_i \quad -\frac{\hbar^2}{2m} \Delta \varphi_i = e_i \varphi_i$$

$$\varphi_i = \frac{1}{\sqrt{\Omega}} e^{i k_i r_i} \chi_i(r_i)$$

2. Harmonikus potenciál, héjmodell, stb.

$$H_0 = \sum_i (t_i + V_i), \quad H_1 = \frac{1}{2} \sum_{ij} \epsilon_{ij} - \sum_i V_i,$$

$$-\frac{\hbar^2}{2m} \Delta \varphi_i + V_i \varphi_i = e_i \varphi_i, \quad \text{lokális}$$

$$V_i = V_{HO}, \quad V_i = V_{Saxon-Woods}, \quad V_i = V_{SW} + V_{LS},$$

$$E = E(n) \quad E = E(n, l), \quad E = E(n, f).$$

3. A potenciál önkonszistens meghatározása : Hartree-Fock szimuláció

$$\begin{aligned} V_i \varphi_i &= \sum_j (\varphi_j | \hat{H}_{12} | \varphi_j) \varphi_i = \int V(\mathbf{r}, \mathbf{r}') \varphi_i(\mathbf{r}') d^3 r' \\ &\quad - \frac{\hbar^2}{2m} \varphi_i(\mathbf{r}) + U(\mathbf{r}) \varphi_i(\mathbf{r}) = e_i \varphi_i(\mathbf{r}), \\ U_i(\mathbf{r}) &= \frac{1}{\varphi_i(\mathbf{r})} \int V(\mathbf{r}, \mathbf{r}') \varphi_i(\mathbf{r}') d^3 r'. \end{aligned}$$

4.3.5. Az egyrézecske energia fogalma

A független részecske modellben minden definiálhatunk egyrézecske energiát.

$$\begin{aligned} \Phi &= A \prod_i \varphi_i, & H_0 &= \sum_i (\hat{t}_i + \hat{V}_i) = \sum_i \hat{h}_i, \\ \hat{h}_i \varphi_i &= e_i \varphi_i, & e_i &= (\varphi_i | \hat{h}_i | \varphi_i) = t_i + V_i, \\ t_i &= (\varphi_i | \hat{t}_i | \varphi_i), & V_i &= (\varphi_i | \hat{V}_i | \varphi_i). \end{aligned}$$

Hájmodellnél az energia: $E_0 = \sum_i (t_i + V_i) = \sum e_i$.

Külön potenciál van, az eredmény ennek körülírás.

Hartree-Fock szimuláció

$$\begin{aligned} e_i &= t_i + (\varphi_i | \hat{U}_i | \varphi_i) = t_i + U_i, \\ E &= \sum t_i + \frac{1}{2} \sum (\varphi_i \varphi_j | \hat{H}_{12} | \varphi_i \varphi_j) = \\ &= \sum t_i + \frac{1}{2} \sum U_i = \frac{1}{2} \sum e_i + \frac{1}{2} \sum t_i. \end{aligned}$$

U_i most lényegesen állapotfüggő, nem csak héjak esetén párhuzamos deformált lesz.

Önkonszistens potenciál esetén, amikor a nukleonok együttesen alakítják ki azt a potenciálvályogot, amiben mozognak, az energia nem az egyrézecske energiák összege. Ez a fizikai valóság.

4.3.6. Független részecske modell alkalmazhatóságának oka

A modell akkor alkalmazható, ha a részecskék megtartják kvantumszámukat.

Képzeljünk el egy rendszert, ahol a nukleonok közöttben minden adott kvantumszámukkal rendelkeznek. Két nukleon töltések után azonban ezek a kvantumszámok megváltoznak. Mivel a kölcsönhatás erős, sok töltés körülkerülhet be, a kvantumszámok teljesen bázsalavarodnak, és végül minden más értelme beszélni röhök. Míért nem így van ez?

Az ok részben a Pauli elv. A Pauli elv értelmében két nukleon kölcsönhatása során nem kerülhet olyan állapotba, amiben már van egy részecske. Tehát az töltés során csak akkor változik meg a kvantumszám, ha a kétük a Fermi szint fölött kerül.

A határozatlanossági reláció értelmében Δr ideig fennállhat. $\Delta E \sim \frac{\hbar}{\Delta r}$ energiabonthatással, azaz két részecske között valószínűleg a Fermi szint fölött kerülhet. Nézzük meg ennek a feltételeit.

Tehát két nukleon közötti alkalmazott állapotban, k_1, k_2 hullámszámúval. Ha这么做 a két nukleon V mély derékszögű potenciálval. A relativ Schrödinger egyenlet:

$$\begin{aligned} \frac{d^2 u}{dr^2} + K^2 u &= 0 & r < b, \\ \frac{d^2 u}{dr^2} + K^2 u &= 0 & r > b. \end{aligned}$$

A során egy részecske k hullámszámára legfeljebb K értékkel választhat, ahol

$$K = \sqrt{\frac{2m}{\hbar^2} (V_0 + E)} \sim \sqrt{\frac{2m}{\hbar^2} V_0}.$$

A Fermi szint fölött kerülés feltétele az, hogy $K > k_F = \left(\frac{m^2}{2} \rho\right)^{\frac{1}{2}}$.

$$V_0 > \frac{\hbar^2}{2m} \left(\frac{3\pi^2}{2} \rho \right)^{\frac{2}{3}}.$$

Maganyagban $\hbar r = 1.36 fm^{-1}$, tehát a független részecse modell alkalmazhatóságának a feltétele

$$V_0 < 10 MeV.$$

A Pauli elv miatt tehető a rendkívül magas energiáig a modell alkalmazhatóságának az értéke. Előbbi erősek a potenciálok, amelyre nem, hogy egy átlagos töltésekben a Fermi szint fölött kerüljenek a nukleonok.

4.4. Magmomentumok független részecse modell alapján

4.4.1. Spin

Zárt héjt magban minden állapot be van töltve, a mag gömbszimmetrikus, a teljes impulussmomentum néha. A mag spinje alatt a teljes impulussmomentumát értjük.

$$\mathbf{J} = \mathbf{L} + \mathbf{S} = \sum_i \mathbf{j}_i,$$

Tapasztalati tény, hogy minden párás párás mag impulussmomentuma néha. Ez csak így lehet, ha két nukleon impulussmomentuma szemben párhuzamosnak vannak összeadásuk előtt. Az állapot betöltődése mindenig a legmagasabb m értékkel kerüljük.

$$\mathbf{j}_1 + \mathbf{j}_2 = 0, \quad (j_1)_z = j(j_2)_z = -j(j_3)_z = j-1, \quad (j_4)_z = -j+1 \dots$$

Páratlan mag impulussmomentuma az utolsó nukleon impulussmomentuma, ebből tudjuk meghatározni, hogy töltődnek be a nyírók egymás után. A felhasadás sorrendje a már ismertetett. Előzetes és tapasztalat teljes egyezsége.

4.4.2. Elektromágneses kvadrupólmomentum

A mag viselkedését, ρ töltéssűrűséggel és \mathbf{J} áraműrtéggel jellemzhetjük. Elektromágneses térben ha a tér skalár ill. vektorpotenciálja Φ és \mathbf{A} , a potenciális energia:

$$U(\mathbf{R}) = \int \rho(\mathbf{r}) \Phi(\mathbf{R} + \mathbf{r}) d^3r + \frac{1}{c} \int \mathbf{j}(\mathbf{r}) \mathbf{A}(\mathbf{r} + \mathbf{R}) d^3r.$$

Mivel a mag mérete kiöti a mag és a megközelítő pont távolságához képest, r szinten sorbaírhatók. A potenciál:

$$U = q\Phi(\mathbf{R}) - M\mathbf{H}(\mathbf{R}) - \frac{1}{6} \sum Q_{ij} \frac{\partial E_j}{\partial x_i},$$

$$Q_{ij} = \int \rho(\mathbf{r}) (3x_i x_j - \delta_{ij} r^2) d^3r,$$

ahol q a töltés, M a mag mágneses momentum és \hat{Q}_{ij} a mag elektromos kvadrupólmomentum operátora. Félengelyre transzformálva

$$\hat{Q}_{ij} = \hat{Q}_i \delta_{ij}.$$

Kvadrupólmomentum alatt \hat{Q}_i -nek a sajátértékét értjük, azaz

$$Q = (\Psi | \hat{Q}_i | \Psi) = \int \rho(\mathbf{r}) (3x^2 - r^2) d^3r$$

Ha egyetlen nukleon van a zárt, tökéletes gömbszimmetrikus magon kívül, a kvadrupólmomentum minden nukleon kvadrupólmomentumára lesz.

$$Q = \langle \varphi_{nljj}(\mathbf{r}) | 3\mathbf{r}^2 - \mathbf{r}^2 | \varphi_{nljj}(\mathbf{r}) \rangle.$$

Görbühfűggvények szorzatának szabályai alapján $j_z = m$ -re

$$Q(m) = \sum 2(lm) \frac{1}{2} m_z |jm\rangle^2 \langle r^2 \rangle = \frac{j(j+1) - 3m^2}{2j(j+1)} \langle r^2 \rangle.$$

Ha $m = j$

$$Q(\text{part}) = \sum_{m=-j}^j Q(m) = 0,$$

$$Q(1) = -Q(2j) = \frac{-2j-1}{2(j+1)} \langle r^2 \rangle.$$

Abszolút értékben a kvadrupolmomentum nő mindenkorral, amíg $j(j+1) < 3m^2$, azaz $m \sim \frac{j}{1.5}$.

Az elméleti számítások nagyon jói megadják a kísérleti értékek előjelét, de abszolút értékben teljesen rosszak, a tapasztalat szerint a magok sokkal deformáltabbak, mint ahogy a héjmodell mondja.

4.4.3. Magok mágneses momentumára

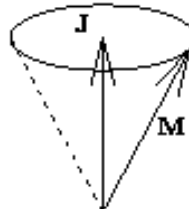
A mágneses momentum operátora:

$$\hat{\mathbf{M}} = \mu_m \sum_{k=1}^A (g_k^I \mathbf{l}_k + g_k^S \mathbf{s}_k),$$

$$g_k^I = \begin{cases} 1 & \text{proton} \\ 0 & \text{neutron} \end{cases}, \quad g_k^S = \begin{cases} 2.793 & \mu_m \\ -1.913 & \mu_m \end{cases},$$

ahol a g -k az fm. gyromagneses faktorok, és $\mu_m = \frac{e\hbar}{2m_p c}$.

A magok teljes impulsmomentuma jövő kvantumszám, M a teljes impulsmomentum operator irányába körül precessál:



A mag mágneses momentumára alatt $\hat{\mathbf{M}}$ $\hat{\mathbf{J}}$ -re vettetett értékét értjük, azaz

$$\mu = \frac{1}{\mu_m} (\Psi_{JJ}, \hat{\mathbf{M}}_z \Psi_{JJ}) = \frac{1}{\mu_m} \frac{(\hat{\mathbf{J}}_z)(\hat{\mathbf{J}} \cdot \hat{\mathbf{M}})}{(\hat{\mathbf{J}}^2)} = \frac{1}{\mu_m} \frac{1}{J+1} (\hat{\mathbf{J}} \cdot \hat{\mathbf{M}}).$$

Páros-páros magoknál az impulsmomentum részei, így a mágneses momentum is része kell hogy legyen. Páratlan magokra ha az utolsó nukleon neutron

$$\hat{\mathbf{M}}_n = \mu_m g^n \mathbf{s}, \quad \mu_n = \frac{g_n}{j+1} (s(s+1)) = \frac{g_n}{2(j+1)} \left[j(j+1) - l(l+1) + \frac{3}{4} \right],$$

míg ha proton

$$\hat{\mathbf{M}}_p = \mu_m (1 + g_p s), \quad \mu_p = \frac{1}{j+1} ((1 + g_p s)(1 + s)),$$

$$\mu_p = \frac{1}{2(j+1)} \left[j(j+1) - l(l+1) - \frac{3}{4} + g_p (j(j+1) - l(l+1) + \frac{3}{4}) \right].$$

A kétterületi adatok ettől kicsit eltérnek, de nem nagyon.

$$\begin{array}{ll} j = l + \frac{1}{2} & \text{Réthető} \quad \mu_n = \frac{1}{2} g_n \quad \mu_p = j + \frac{1}{2} g_p \\ j = l - \frac{1}{2} & \text{Réthető} \quad \mu_n = -\frac{1}{2} g_{n,j-1} \quad \mu_p = \left(j - \frac{1}{2} + \frac{3}{2} - \frac{1}{2} g_p \right) \frac{j}{j-1} \end{array}$$



A mágneses momentumok mértéke azért fontos, mert számos gyakorlati alkalmazása van (mag mágneses rezonancia, Mössbauer effektus). Az a mérés révén sok mindenről megtudunk az anyagról.

4.5. Egyesített magmodell

4.5.1. Atommagok energiajára deformált potenciálvölgyben

Nagy kvadrupolmomentum nagyobb deformáltságot jelent. Íme! kell viszgálni független részecske modellt.

Kérdés, nukleonok energiajára gömbszimmetrikus vagy deformált potenciálvölgyben mélyebb-e?

Eddig ténylezetesnek vettük vilázt. Meg kell néznél!

Tekintsük a nukleonok energiáját deformált potenciálvölgyben

$$V = -V_0 + \frac{1}{2}m(\omega_x^2 x^2 + \omega_y^2 y^2 + \omega_z^2 z^2),$$

ahol

$$\omega_x \omega_y \omega_z = \omega^3, \quad \omega_x = \omega_y = \omega_0 e^{\frac{\alpha}{2}}, \quad \omega_z = \omega_0 e^{-\alpha}$$

Az egy részecske energiajára:

$$E_i = -V_0 + \hbar \omega_x (n_x + \frac{1}{2}) + \hbar \omega_y (n_y + \frac{1}{2}) + \hbar \omega_z (n_z + \frac{1}{2}),$$

míg a mag teljes energiaja:

$$E = \sum_i E_i = V_0 A + \hbar \omega_0 \sum_i \left[e^{\frac{3\alpha}{2}} (n_x + n_y + 1)_i + e^{-\alpha} (n_z + \frac{1}{2})_i \right]$$

Keresünk a minimális energiat, α függvényében

$$\begin{aligned} \frac{\partial E}{\partial \alpha} &= \frac{\hbar \omega_0}{2} \sum_i \left[e^{\frac{3\alpha}{2}} (n_x + n_y + 1)_i + e^{-\alpha} (n_z + \frac{1}{2})_i \right] = 0, \\ &\Rightarrow e^{\frac{3\alpha}{2}} = \frac{\sum_i (2n_x + 1)_i}{\sum_i (n_x + n_y + 1)_i} \end{aligned}$$

Ha az egyes nukleonsállapotok úgy vannak beállítva, hogy

$$2 \sum_i (n_x + \frac{1}{2})_i = \sum_i (n_x + n_y + 1)_i \Rightarrow \alpha = 0.$$

Zárt héjú mag soha nem deformált.

Vereinslik be a következő jelölést:

$$\sigma_\alpha = \sum_i (n_\alpha + \frac{1}{2})_i$$

A mag kvadrupól momentuma

$$\begin{aligned} Q &= \sum_i [3(z_i^2) - (x_i^2)] = \sum_i (2z_i^2 - x_i^2 - y_i^2) = \\ &= \sum_i \left(\frac{2E_x}{\omega_x^2} - \frac{E_x}{\omega_x^2} - \frac{E_y}{\omega_y^2} \right) \frac{1}{im} = \frac{\hbar^2}{2m} \left[\frac{2\sigma_x}{\omega_x} - \frac{\sigma_x}{\omega_x} - \frac{\sigma_y}{\omega_y} \right]. \end{aligned}$$

Itt felhasználtuk, hogy $E = t_i + \frac{1}{2}m\omega_i^2 r_i^2$, t_i nem deformált, $t_x = t_y = t_z$, így a teljes energia különbségek éppen a potenciális energia különbségek. Zárt héjra

$$\sigma_x = \sigma_y = \sigma_z = \frac{1}{3}\sigma_0.$$

Kifejezve az ω -kat a σ -kal, a teljes kvadrupól momentum:

$$\begin{aligned} \omega_x &= \omega_0 e^{\frac{Q}{\hbar}} = \omega_0 \left(\frac{2\sigma_x}{\sigma_x + \sigma_y} \right)^{\frac{1}{3}}, & \omega_x &= \omega_0 \left(\frac{2\sigma_x}{\sigma_x + \sigma_y} \right)^{-\frac{2}{3}}, \\ Q &= \frac{\hbar}{2m\omega_0} \left[(2\sigma_x)^{\frac{5}{3}} (\sigma_x + \sigma_y)^{-\frac{2}{3}} - (\sigma_x + \sigma_y)^{-\frac{1}{3}} (2\sigma_x)^{-\frac{1}{3}} \right]. \end{aligned}$$

Legyen a zárt héjon kívül egy nukleon, N_x , N_y , N_z kvantumszámokkal. Ekkor a σ -k

$$\sigma_x = \frac{\sigma_0}{3} + N_x + \frac{1}{2} = \frac{\sigma_0}{3} \left[1 + \frac{3}{\sigma_0} (N_x + \frac{1}{2}) \right],$$

és a teljes kvadrupól momentum

$$Q = \frac{\hbar}{m\omega_0} (2N_x - N_x - N_y) = \frac{Z}{A} Q_p,$$

ahol Q_p az utolsó rész kvadrupól momentuma. Ez azt jelenti, hogy már egyetlen külön nukleon esetén is megnő a kvadrupól momentum.

$$Q = Q_p + \frac{Z}{A} Q_p,$$

Zárt, többször több nukleon van a magon kívül, ezáltal a tövök enyhén deformálódnak. A tényleges Hartree-Fock szimmetria ezt jól megadja, de a szimmetria honyolult, az állapotok nem degeneráltak, aránytalanul tényleg 197 hullámfüggvényt kell szelfkonkárensen megoldani.

4.5.2. Kollektív modell

Azt akarjuk, hogy olyan legyen a perturbációban hullámfüggvény, hogy a mag alakjának

$$R = R_0 [1 + \sum \alpha_{\lambda\mu} Y_{\lambda\mu}]$$

sugaraat adjon. Ebből a célból a Hamilton operátort négy részre osztjuk

$$H = H_{\text{coll}}(\alpha_{\lambda\mu}) + H_{\text{pert}}(\pi_i) + H_{\text{pert}}(\pi_i, \alpha_{\lambda\mu}) + H'$$

ahol H_{coll} csak a kollektív, H_{pert} csak az π_i egy részeske koordinátaikról függ, H_{pert} frissíti le a kollektív és egy részeske koordinátaik körül osztályos. Az H' a maradék kölcsönhatás.

$$H_{\text{coll}}^{\text{eff}}(\alpha_{\lambda\mu}) = E_{\text{coll}}^{\text{eff}}(\alpha_{\lambda\mu})$$

A kollektív Hamilton operator

$$H_{\text{coll}} = \frac{1}{2} \sum_{\lambda\mu} C_\lambda |\alpha_{\lambda\mu}|^2 + \frac{1}{2} \sum_{\lambda\mu} B_\lambda |\alpha_{\lambda\mu}|^2$$

ahol C_3 és B_3 a forgás és vibráció folyadéknepp mozgását írja le. Föltengelyre deformálva a forgáscíluspontot:

$$\alpha_{20} = \beta \cos \gamma, \quad \alpha_{21} = \frac{1}{\sqrt{2}} \beta \sin \gamma, \quad \alpha_{1m} = 0$$

$$V = \frac{c}{2} \beta^2, \quad T = \frac{1}{2} B (\dot{\beta}^2 + \beta^2 \gamma^2) + \frac{1}{2} \sum_{k=1}^3 \omega_k^2 \Theta_{k\gamma}$$

$$\Theta_{k\gamma} = 4B\beta^2 \sin^2 \left(\gamma - \frac{2\pi}{3} k \right),$$

ahol $\Theta_{k\gamma}$ az effektív tehetetlenségi nyomását.

T-ben az első tag a kinetikus energia a föltengely koordináta-rendszerben, a második tag a föltengelynek a fix tengely körfelüli forgása miatt fellépő energia:

$$H_L = \omega_L \Theta_L,$$

$$H = T_{\beta\gamma} + \hbar \sum \frac{L_k^2}{2\Theta_k} + \frac{1}{2} C \beta^2.$$

Operátorokra áttérve a kollektív Hamilton operátor Schrödinger egyenlete megoldható. A gerjesztett állapotok a forgás és a rezgések. Ezek energiája:

$$E_{rot} = \frac{\hbar^2}{2\Theta} J(J+1),$$

illetve

$$E_{vib} = E_0 + \sum_m \hbar \omega \left(n_m + \frac{1}{2} \right).$$

A gerjesztett magok energiállapotainak tanulmányozásával látni fogják, hogy a rotációs energiállapotok jóval mélyebben vannak, mint a vibrációs energiák.

4.5.3. Egyesített magmodell

A perturbáltan Hamilton operátorról szerint vizsgáljuk meg, milyen a mag betöltöttisége.

1. Gyenge csatolás

$$H_0 = H_{pert} + H_{coll} \Rightarrow \Psi = \Phi(\alpha_{\lambda\mu}) \mathcal{A} \prod_i \varphi_i(\sigma_i)$$

$$H_{pert} = \sum_i (t_i + V_i(i))$$

$$E = E_{coll} + E_{pert} + E_{perturb}$$

2. Erős csatolás

$$H_0 = H_{coll} + H_{pert} + H_{const} = \sum_i (t_i + V_i(\alpha_{\lambda\mu}, i))$$

$$H_{pert} + H_{const} = \sum_i t_i + \frac{1}{2} \sum V(\alpha_{\lambda\mu}, i)$$

$$\Psi = \Phi(\alpha_{\lambda\mu}) \mathcal{A} \prod_i \varphi_i(\sigma_i, \alpha_{\lambda\mu})$$

Ezekkel a perturbáltan Hamilton operátorokkal oldjuk meg a hullámfüggvényekre vonatkozó egyenleteket.

4.6. Állapotegyenlet és effektív tömeg

Állapotegyenlet

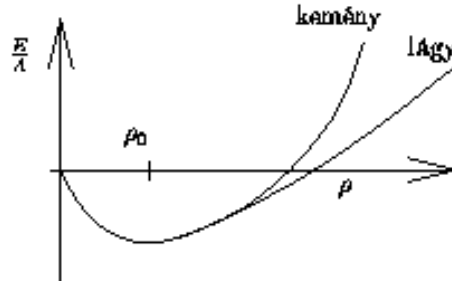
Alapállapotú maganyag állapotegyenlete az energia és a strilégi összefüggését adja meg. A maganyag egy részenekre jutó energiája, mint láttuk, -16 MeV . A magok centrális strilége, amit a tömegelosztás mértékből ismerünk, $0.16 - 0.17 \text{ fm}^{-3}$, ennél az értéknél minimális a mag energiája. Ez azt jelenti, hogy akármilyen is a maganyag állapotegyenlete, ezt a két adatot ki kell elágítanira, azaz:

$$\frac{E}{A}(\rho_0) = -16 \text{ MeV},$$

$$\left(\frac{dE}{dA}\right)_{\rho=\rho_0} = 0, \quad \beta = \frac{\rho}{\rho_0},$$

$$\kappa = 9\rho_0^2 \left(\frac{d^2E}{d\rho^2}\right)_{\rho=\rho_0}, \quad \rho_0 : \text{maganyag strilége}.$$

A harmadik adat a maganyag összetevőinek hatására vonatkozik, ezek kapcsolatban jobban elárunk a vélemények. Eredetileg feltételezzük azt, mondtuk, hogy a kompressibilitás értéke 400, tisztában azonban asztrofizikai alapon (supernova robbanás illetve a pulsárok felgyorsulása) vannak olyan nézetek, hogy a kompressibilitás ennél jóval kisebb értékű, mintegy 150-220. A kompressibilitás értéke szerint beszélhetünk kemény ill. lágy állapotegyenletről.



Az egy részenekre jutó kinetikus energia

$$\frac{E_{kin}}{A} = \alpha \beta^{\frac{3}{2}}, \quad \alpha = 23 \text{ MeV}.$$

A potenciális energiának van egy ρ -val arányos vonzó része, és egy telítettáget okozó, ρ magasabb hatványával arányos tasztó része. Leggyakrabban esetben az alapállapotú állapotegyenletet a következő módon írhatjuk fel

$$\frac{E}{A} = \alpha \beta^{\frac{3}{2}} - \beta \rho + \gamma \rho^{\sigma+1}, \quad \frac{2}{3} \alpha \beta^{\frac{3}{2}} - \beta + (\sigma+1)\gamma \beta^\sigma = 0.$$

Az egy részenekre jutó kötött energia és a telítettáget feltételle

$$\begin{aligned} \alpha - \beta + \gamma &= -16, & \frac{2}{3} \alpha - \beta + (\sigma+1)\gamma &= 0, \\ \beta &= -39 - \gamma, & \sigma\gamma &= 23.5. \end{aligned}$$

$$\sigma = \begin{cases} 1 & \beta = 62.5 \quad \gamma = 23.5 \quad \text{kemény állapotegyenlet,} \\ \frac{1}{2} & \beta = 180 \quad \gamma = 141 \quad \text{lágy állapotegyenlet.} \end{cases}$$

A kompressibilitás értéke kemény és lágy esetre

$$\kappa = \begin{cases} 380 \\ 201 \end{cases}.$$

Effektív tömeg

Az energia egyenletből viszakövetkeztethetünk a maganyagban fellépő effektív potenciálra:

$$E_{tot} - E_{kin} = \frac{1}{2} \sum \sum \langle ij | \theta_{eff} | ij \rangle.$$

Tehát most azt az egyszerű esztét, amikor az effektív potenciál $v = v_1 - v_2 k^2$. Az energia esetén, mint láttuk

$$\begin{aligned} \frac{E}{A} = W &= \frac{1}{A} \left[\sum_i t_i + \frac{1}{2} \sum_{ij} v_{ij} \right] = \\ &= \frac{3R^2}{10m} \rho^{\frac{3}{2}} - \frac{1}{2} v_1 \rho + \frac{3}{5} v_2 \rho k_F^2. \\ \Rightarrow \quad \frac{R^2}{5m} \rho^{-\frac{1}{2}} - \frac{1}{2} v_1 + v_2 k_F^2 &= 0 \quad \text{telítettség} \end{aligned}$$

Az egyrészre a energia

$$\begin{aligned} V &= \sum V_{ij} = -\frac{A}{\Omega} v_1 + \frac{A}{\Omega} v_2 (k_F^2 + \frac{3}{5} k_F^4), \\ E_V &= \frac{R^2 k_F^2}{2m} - v_1 \rho + v_2 \rho k_F^2 + \frac{3}{5} v_2 \rho k_F^4 = -V_0(\rho) + \frac{k_F^2}{2m}, \\ \frac{1}{2m} &= \frac{1}{2m} + \frac{3}{5} \frac{v_2 \rho}{R^2}, \quad V_0(\rho) = v_1 \rho - \frac{3}{5} v_2 \rho k_F^2 = v_0(\rho) \rho. \end{aligned}$$

azaz a nukleon így mosog a maganyagban, mintha a tömege kisebb lenne, mint a szabad nukleon tömege. Mivel az effektív tömeg sűrűségsfüggő, véges magokban en helyileg körülátnak felül meg, mint láttuk. A maganyag belsőjében $m^* \sim 0.6m - 0.7m$. A $v_0(\rho)$ egyrész potenciál sűrűségsfüggő. Nézzük meg a Fermi szinten levő (legkevésbé kötőtől) nukleon kötődő energiáját a magban:

$$E_F = \frac{R^2 k_F^2}{2m} - v_1 \rho + \frac{8}{5} v_2 \rho k_F^2.$$

Ha kivonjuk ezt az egy részesekre eső kötődő energiából,

$$E_F - W = \frac{2}{5} \frac{R^2 k_F^2}{2m} - \frac{1}{2} v_1 \rho + v_2 \rho k_F^2 = 0,$$

azaz éppen a telítettség feltételét kapjuk meg. A telítettség miatt az egy részesekre eső kötődő energia megegyezik az utolsó nukleon kötődő energiájával. Ez az összefüggés véges magokra is igaz közelítőleg, de ott $E_F < W$.

$$\begin{array}{ll} E_F \sim -(10 - 14) & E_F \sim -(4 - 9) \\ \text{lényűl magra} & \text{nehéz magra} \end{array}$$

Természetesen a héjaszerkeset miatti korrekciók ehhez képest bárhányiálat okoznak.

5. fejezet

Gerjesztett magok

5.1. A reakciók típusai, reakciómechanizmus

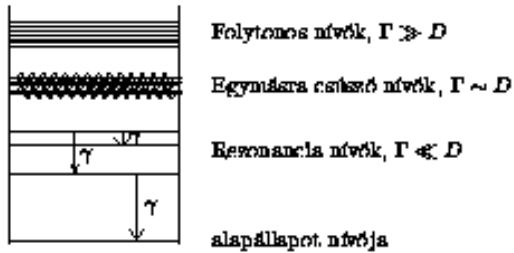
Két oka van, hogy a magreakciókat még levétele lehet mikroszkópikusan, azaz két részreke kölcsönhatásokból klinálva lágyalni, mint az alapállapotú atommagokat. Az egyik oka az egynévreke modellek használhatóságával függ össze. Az atommag egy ennek kölcsönhatás rendszer és egy többet független részrekeből álló rendszer formájára kerülhet. Elvileg a nukleonokat ennek kölcsönhatásra tartja össze, gyakorlatilag azonban alapállapotú atommagokban ezen kölcsönhatások nagy része a Pauli elv miatt tiltott, így nem hat. Az a független részreke kép jö körülítésben érvényes. Gerjesztett magok esetén azonban ez a kép elromlik, a Fermi tengeren belül egyre több lyukállapot jelenik meg. Az a Pauli elv tiltó hatása egyre kevésbé érvényesül. Éppen ezért a független részreke elktépesítés magasabb gerjesztések esetén egyre rosszabb. Gerjesztett állapotok sikeressége néha meghatározni, mert több minden jöhetsz létre az állapot és a közelítő lépések nem tudják megmondani, melyik állapot hogyan jött létre, legfeljebb csak arra adnak benáthaték, hogy melyik energiatartományban melyik gerjesztés típus a domináló. A magreakciók ideálgiártól eltérő leírását nem elkerülhet, még megtalálunk, a különböző jelenségek magyarázatára sokféle leírástól létezik, amiből néhán látványtlan a legmegléhetőbb.

Az alapállapotú atommagokat, mint azt láttnak, a héjmóddel jelírja: A résztárgymagban ezek szerint a nukleonok egy V_{NM} egynévreke potenciálvölgyben mozognak, miközben V_n maradék kölcsönhatás hat közöttük.

A héjmóddal-potenciálban meghatározzák az egyes nukleonok energiadillapotait. Az állapotok egy része alapállapotban be van töltve nukleonikkal, más részük fizikai. Az fizikai állapotok lehetnek negatív energiájúak. Ha egy nukleon egy negatív energiájú gerjesztéssel állapotban van, nem lehet ki a magból, hanem γ -sugárzás kibocsátása mellett alapállapotba. megy át. Azok az állapotok, amelyek következőül az egy nukleon szeparációs energiájával felelnek vannak, visszafelé vagy kúriszticai-vírus állapotok. Ezeknek az állapotoknak véges, de viszonylag hosszú az élettartamuk, ugyanis csak rugalmas színváltás vagy γ sugárzásal bomolhatnak. Ha egy reakció során ilyen állapotot gerjesztünk, a hatáskezessémetet hirtelen megnő, ennek rezonanciát mutat. A rezonanciák kezkenyek, ugyanis a hatáskezeléshez kölcsönhatásig reliáns értelmében egy állapot energia bizonnyalanege. Az bomlási ideje közelít a összefüggés

$$\Delta E \cdot \Delta t \sim R, \quad \Gamma \sim R,$$

és egymástól elég messze vannak. Minél nagyobb egy állapot energiája, annál többfélé módon bomolhat el, így annál ritkább lesz az élettartama. Növekvő energiával a rezonanciák, azaz a gerjesztett állapotok száma is növekszik. Az a tartományt, ahol a nívók szélessége jóval nagyobb, mint az egymástól való távolságuk, kontinuumnak nevezik. A növekménytől itt már folyamatnak tekinthető. Az ilyen egy héjmóddal potenciál növekeresete látható.



A gerjesztett nívő lehet:

Kollektív (forgás, rezgés)

Egy részecské (a nukleonok a Fermi szint. fölött kerülnek)



A potenciálvályog átvetéséről.

Gerjesztési típusok

1. Magreakciók
2. Elektromágneses átmenetek (magspektroszkópia)
3. β bomlás
4. Hasadtás
5. Nehézdon reakciók

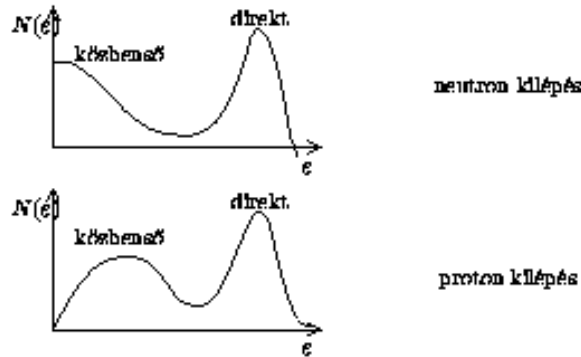
A gerjesztés módja: részecskéket vagy fotonokat lőünk a magba

Magreakcióknak nevezik a nukleáris részecskék ütközése során véghemenző folyamatokat. Egy magreakciót, mint időben lejátszott folyamatot, három részre lehet bontani.

1. A körvonal alapján az a bombázott részecské meghatározott kinetikus energiával közeledik az alapállapotban levő X célcsoport mag felé. Nukleáris kölcsönhatás nem működik a részecskék között, mivel a magerők rövid hatótávolságúak.
2. A közelbenél állapotban a magreakciókban résztvevő valamennyi részecské egy korlátos tár-fogatban belül található, miközben intenzív nukleáris kölcsönhatás működik köztük. Ennek eredményeképpen energia, impulzus és impulszimomentum átadással járó nukleon-nukleon vagy nukleon-mag ütközések következnek be, majd a rendszer két, vagy esetleg több részre, az ún. reakciótermékekre válik szét.
3. A magreakció végső szakaszában a reakciótermékek a magerők hatótávolságával lényegesen nagyobb távolságra válnak el egymástól.

Általános formula:





A teljes hatáskeresztmetszetet rezonanciaásványezetet mutat.

5.3. Magreakciók hatáskeresztmetszete

Nézzük meg, mi mondható a hatáskeresztmetszetről egyesül geometriai megfontolások alapján. Tekintsük azt az esetet, amikor a beeső részereknekelyből egy teljesen fekete testként viselkedő gömbbőn szóródik. A részerek spinjét a most következő tárgyalásokban mindenügy elhanyagoljuk. A beeső részerek impulzusmomentumja $M\hbar$, ahol \hbar a centrumból a beeső irányra merőleges távolsága a részereknek. Ezt az impulzusmomentumot kvantálni kell

$$M\hbar b_i = M, \quad b_i = D, \quad \lambda = \frac{\hbar}{M\tau},$$

ahol λ a beeső részerek de Broglie hullámhoza. Minden b_i és b_{i-1} köztötti önkénti paraméterrel rendelkező részerek impulzusmomentumja M . Ezért részereknek magán való szóródásnak hatáskeresztmetszete nem lehet nagyobb, mint a geometriai területek különbsége

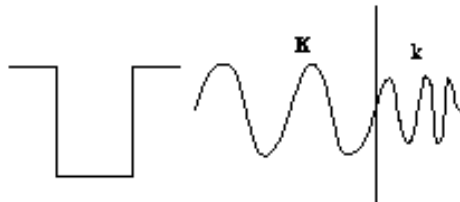
$$\sigma_i \leq \pi(b_{i-1}^2 - b_i^2) \sim (2i+1)\pi\lambda^2,$$

ha $b_i < R$ ill. $i < \frac{R}{\lambda}$. Ha $b_i > R$ ill. ha $i > \frac{R}{\lambda}$ a hatáskeresztmetszetet náras. Termikus neutronok esetén λ nagy, $\pi\lambda^2 \sim 2.56 \cdot 10^{-7}$ barn nagyságrendű lehet. Ha valamennyi parciális hullámra összegyűlik a hatáskeresztmetszetet egy felét korlátját kapjuk.

$$\sigma = \sum_i \sigma_i \leq \pi\lambda^2 \sum_0^R (2i+1) \leq \pi(R+\lambda)^2.$$

A befutó hullám $i=0$ -as része :

$$A \sin kr = 2iA(e^{-ikr} - e^{ikr})$$



A potenciálbólgyűn belül megváltozik a hullámszám. Utána

$$B \sin(kr + \delta) = 2iBe^{-ikr}(e^{-ikr} - e^{i(kr-2i)}).$$

A beeső hullám nem változik meg, csak a kifutó.

$$A = Be^{-i\delta}.$$

A kifutó hullám amplitudójának megváltozása:

$$e^{2M}, \quad |c|^2 = 1.$$

Csak a fázis változhat.

Ha a potenciál komplex,

$$D \sin K^* h = E \sin(kh + \delta) \quad DK^* \cos K^* h = E h \cos(kh + \delta)$$

$$D(e^{iK^*h} - e^{-iK^*h}) = E(e^{i(kh+\delta)} - e^{-i(kh+\delta)}),$$

$$D(e^{iK^*h} + e^{-iK^*h}) = E(e^{i(kh+\delta)} + e^{-i(kh+\delta)}),$$

$$K^* D(e^{iK^*h} - e^{-iK^*h}) = E h(e^{i(kh+\delta)} - e^{-i(kh+\delta)}).$$

Ha a befutó hullám változatlan, $A = Be^{-i\theta}$, de a $K^* \operatorname{ctg} K^* h = h \operatorname{ctg}(kh + \delta)$ egyenletnek csak komplex δ megoldás felel meg.

⇒ A kifutó amplitudó csökken

Komplex $K^* \rightarrow$ komplex V

Általános esetben:

$$\Psi^{(-)} = \sum_l \frac{2l+1}{2kr} i^{l-1} R_l(\cos \theta) [e^{-i(kr-\frac{l\pi}{2})} - s_k e^{i(kr-\frac{l\pi}{2})}],$$

$$\Psi_m = e^{ikr} = \sum_l \frac{2l+1}{2kr} i^{l-1} R_l [e^{-i(kr-\frac{l\pi}{2})} - e^{i(kr-\frac{l\pi}{2})}],$$

$$\Psi_{xx} = \Psi^{(-)} - \Psi_m = f(\theta) e^{i\frac{kr}{r}},$$

$$f(\theta) = \sum_l \frac{2l+1}{2k} i^{l-1} (1 - s_k) e^{-i\frac{l\pi}{2}} R_l(\cos \theta),$$

$$\sigma_{xx} = \frac{\pi}{k^2} \sum_l (2l+1) |1 - s_k|^2.$$

Valós potenciál esetén $s_k = e^{2M}$:

$$\sigma_{xx} = \frac{4\pi}{k^2} \sum_l (2l+1) \sin^2 \delta_l.$$

Ha reakció is van, $|s_k| < 1$

$$\Psi_{ha} + \Psi_{xx} + \Psi_r = 0 \Rightarrow \Psi_r = -\Psi^{(-)},$$

$$\sigma_r = \frac{\pi}{k^2} \sum_l (2l+1) (1 - |s_k|^2).$$

σ_{xx} maximális, ha $s_k = -1 \Rightarrow \sigma_{xx}^2 = \frac{4\pi}{k^2} (2l+1)$.

σ_r maximális, ha $s_k = 0$. Ekkor

$$\sigma_r^2 = \frac{\pi}{k^2} (2l+1), \quad \sigma_{xx}^2 = \frac{\pi}{k^2} (2l+1).$$

Négyzetpotenciál neutronra $l=0$ esetén

$$U_0 = A \sin Kr \quad K^2 = \frac{2m}{r^2} (E + V_0)$$

$$f_0 = -KR \operatorname{ctg} KR = Re f_0 \quad Im f(0) = 0$$

$$\Delta_0 = 0, \quad P_0 = -KR, \quad e^{2i\phi} = e^{-2ikr},$$

$$\sigma_r^2 = 0$$

$$\sigma_m^2 = \frac{\pi}{k^2} \sum_l \left| 1 - e^{2ikr} - \frac{2ikr}{-KR \operatorname{ctg} KR - iKR} \right|^2.$$

Resonancia:

$$Re J_0 = \Delta_0 = 0 \Rightarrow \operatorname{ctg} KR = 0, \quad KR = (n+1) \frac{\pi}{2}.$$

$$\sigma_{xx} = \frac{\pi}{k^2} | -e^{2ikR} - 1|^2 \sim \frac{4\pi}{k^2}.$$

Resonancia nélkül távol

$$\sigma_{xx} = \frac{\pi}{k^2} |1 - e^{2ikR}|^2 \sim 4\pi R^2.$$

$$\lambda = \frac{1}{k} \ll R$$

$D(kR)$ – a két rezonancia távolsága π

\Rightarrow Resonancia szélesség $\sim 1\text{MeV}$, távolság $\sim 10\text{MeV}$

A hasadás, reaktor és sugárterhelés Marx György könyvében található.

5.4. A béta bomlás elmélete

β bomlás során a magban egy neutron átalakul protónra.

$$A \rightarrow B + \bar{\nu} + e^-.$$

A β bomlás során bekövetkező átmenet valószínűsége

$$d\omega_{\beta\alpha} = \frac{2\pi}{\hbar} |\langle \beta | H_\omega | \alpha \rangle|^2 \rho(E),$$

ahol ρ_E a végállapot energiasűrűsége. Ha a mag egy adott energiájú állapotba bomlik, a végállapot energiasűrűsége a $\bar{\nu}$ -k és az e -k adnak járulékot.

$$\rho(E) = \frac{\Omega^2}{(2\pi\hbar)^2} \frac{d}{dE_{max}} [p_n^2 dp_n d\Omega_n \cdot p_\nu^2 dp_\nu d\Omega_\nu].$$

Legyen az elektron energia E és $E + dE$ között. Figyelembe véve, hogy a lehetséges maximális energia

$$E_{max} = E_n + E_\nu,$$

és hogy a neutrino energia

$$E_\nu = p_\nu c \implies p_\nu^2 = \frac{E_\nu^2}{c^2} = \frac{1}{c^2} (E_{max} - E_n)^2,$$

azaz

$$\frac{dp_\nu}{E_{max}} = \frac{1}{c} \frac{dE_\nu}{E_{max}} = \frac{1}{c} \quad \rho(E) = \frac{d\Omega_n d\Omega_\nu}{(2\pi\hbar)^2} \frac{1}{c} p_n^2 dp_n dp_\nu$$

Mindenek alapján az átmeneti valószínűségek

$$d\omega_{\beta\alpha} \sim |\langle p_n | H_\omega | p_\nu \rangle|^2 p_n^2 (E_{max} - E_n)^2 dp_n$$

ahol az átlagolási jel a szögekre átlagolt mátrixelem. Ez a feszültséget működteti még a Coulomb kölcsönhatás:

$$\left(\frac{d\omega_{\beta\alpha}}{p_n^2 dp_n} \right)^{\frac{1}{2}} \sim |H_{\alpha\beta}| (E_{max} - E_n)$$

Curie ábra

Impulsusmomentum és paritás megtartásától okok miatt tiltott az átmenet, ha a mátrixelem néres, illetve nagyon kissé.

Fermi átmenet:

$$\pi_\alpha = \pi_\beta \quad \Delta I = 0 \quad 0 \rightarrow 0$$

Gamow-Teller átmenet:

$$\pi_a = \pi_b \quad \Delta I = 0, \pm 1 \quad 0 \rightarrow 0$$

$$(pe^- \bar{\nu} | H_{\text{gy}} | n\rangle)$$

$$(B(p) | H_{\text{gy}} | A(n)\rangle)$$

Kísérleti példák

$$\overline{|H_w|^2} \sim \frac{1}{f t_{\frac{1}{2}}} \quad f t_{\frac{1}{2}} = \ln 2 f \tau$$

n	\rightarrow	p	$\frac{1}{2}^- \rightarrow \frac{1}{2}^-$	$t_{\frac{1}{2}}$	E_m	$f t_{\frac{1}{2}}$
8Be	\rightarrow	8Li	$0^- \rightarrow 1^-$	10.6 perc	0.872	1100
^{14}O	\rightarrow	^{14}N	$0^- \rightarrow 0^-$	0.813 s	3.5	810
				71.4 s	1.812	3100

$$H_w \sim 10^{-4}$$

$$^7Be \rightarrow ^7Li \quad \frac{3}{2}^- \rightarrow \frac{3}{2}^- \quad \log ft = 3.85 \quad F, G, T \\ \frac{3}{2}^- \rightarrow \frac{1}{2}^- \quad 3.41 \quad \text{keverék}$$

$$^8Li \rightarrow ^8Be \quad 2^- \rightarrow 2^- \quad \log ft = 5.67 \\ 2^- \rightarrow 0^- \quad > 8 \quad \text{tiltott.}$$

$$^{14}O \rightarrow ^{14}N \quad 0^- \rightarrow 0^- \\ 0^- \rightarrow 1^- \quad \text{megengedett.}$$

5.5. Atommagok elektromágneses átmenetei

Az atomok és molekulák átmenetel kölcsönös véghezmenő elektromágneses átmenetek egyedi hálója, igen hatékony eszközök szolgáltattak ezen rendszerek kisérleti vizsgálatára. Noha az elektromágneses átmenetek tanulmányozása az atommagok esetében nem foglal el olyan kiételezettséget, mint az atomspektrumkörplíban, mindenkorral a magkeresztre vonatkozó ismeretek rendkívül fontos forrása. Különlegesen fontos a γ sugárzás az atommag alacsonyan gerjesztett nívának tanulmányozásában, ezek ugyanis csak γ bomlással tudnak bomlani és némielyek csak γ sugárzással gerjeszthetők. Az elektromágneses átmenetek tanulmányozása révén szerzett ismeretek két részre oszthatók. A kibocsátott γ sugarak szögezősége és az egymás után kibocsátott sugarak egymáshoz képesti szöge, azaz szögkorrelációja csak az átmenet multipol jellegétől és a szereplő nívók kvantumszámaitól függ, tehát geometrikus telthetőnek. A sugárzás befejező hatására vonatkozóan, illetve a sugárzás áltartamának mérése esetben a kölcsönhatású operátor mátrixelemeinek a négyzetéből függ, azaz ezek révén a gerjesztett állapotok hullámflgyvényére vonatkozóan szerzünk információt.

Az atommagok legalacsonyabb gerjesztett állapotai kötött, vagy kváziatomáris állapotok, tehát viszonylag kevés, általában elhárított nívók. Az állapotokat általában csak spinjuk, pártikuláris, energiájuk jellemzi, de az elektromágneses átmenetek tanulmányozásában kiemelni kell, hogy fontos az állapotok szerkeze is: hogyan keletkezett a gerjesztett állapot. A gerjesztések lehetnek egyrészről ill. kollektív gerjesztések. Az egyrészről gerjesztések előfordulása a magassabb gerjesztések esetén, $E > 5 - 6$ MeV-nál jelentős: az atommag alacsonyan gerjesztett állapotai kollektív állapotok. Ezeknek a kollektív gerjesztéseknek az energiaja $\frac{1}{2} - 1$ MeV nagyságrendű gombázási mértékű magok közében, áls 100 keV alá csökken deformált magoknál.

Páros-páros magoknál kétfélé paritás állapotot figyeltek meg: a vibrálás és rotáció gerjesztések. A vibrálás gerjesztések nívóI 0-, 2-, 4- nívóI stb. És a második nívó gerjesztés energiája mindenkorának létezés akkora, mint az első nívóI. A vibrálás nívók harmonikus oszcillátor típusú gerjesztések, ahol minden oszcillátor kvantum ugyanannyi energiával rendelkezik. A másik típusú a rotációs nívók csapotta, ezek energiaI I(I+1)-gyel arányos. Az első típus gombelemmetrikus magoknál dominál, a másikok a deformált magoknál. A kísérletek bizonyosra szerint a kollektív nívók kollektív nívóba, egyrészre a nívók egyrészre a nívókba bomlanak szívesebben, illetve ugyanis a mag szerkezete nem változik.

Egy gerjesztett atommag egy oszcilláló töltés, az pedig az elektrodinamikából ismert módon sugárzott képes. A töltött rendszer és az elektromágneses tér között a kölcsönhatás energia:

$$H_1 = - \int \frac{1}{c} [\mathbf{j}(\mathbf{A}) + M(\mathbf{r})] d^3 r,$$

ahol $\mathbf{A}(\mathbf{r})$ az elektromágneses vektorpotenciál, $H(\mathbf{r})$ a mágneses téreneszély, $\mathbf{j}(\mathbf{r})$ a nukleonok által keltett áram, $M(\mathbf{r})$ a nukleonok mágneses momentumja. A fenti kölcsönhatás miatt az 1. sor alatt bekövetkezett sugárzás teljesítményét, T -t a sugárzás impulzusmomentuma és paritása szerint sorbafejtjük. Ha T paritása $(-1)^l$, a sugárzás elektromos multipólosnak nevezünk, ha a paritás $(-1)^{l-1}$ -nel arányos, a sugárzás mágneses multipólos. A sorfejtésből minden oszak az első el nem tiltott tagot kell megtartani, mert az egyes multipóloknak ennek csökkenő sorozatot alkotnak. A foton impulzusmomentuma 1, így a foton legalább 1-es impulzusmomentumot elvise. Az $l=1$ sugárzás eliptik, az $l=2$ sugárzás kvaradrupál, stb. sugárzásnak csak nem levezet. Minél kisebb két állapot impulzusmomentumának a különbsége, annál valószínűbb a sugárzás.

Az elektromágneses sugárzások esetén fenn kell állni az impulzusmomentum és a paritás megmaradási szabályainak. Ha a kezdeti állapot impulzusmomentuma I_a , a végállapot I_b , a multipól sugárzás I , akkor

$$\begin{aligned} I_a &= I_b + l, \\ |I_a - I_b| &\leq l \leq I_a + I_b, \\ M_a - M_b &= m, \end{aligned}$$

ahol M -ek az impulzusmomentumok harmadik komponenseinek sajátártékel.

Mivel $l=0$ sugárzás nincs, az $I_a = 0 \rightarrow I_b = 0$ átmenetek szigorúan tiltoztak. A paritás megmaradási törvények szerint $\pi_a = \pi_b$ esetén páros, $\pi_a = -\pi_b$ esetén páratlan paritást sugárzás a megengedett.

A következő táblázathban fel vanak tüntetve a kezdeti és végállapot impulzusmomentum ill. paritások különbsége mellett a lehetéges multipól sugárzások.

A kölcsönhatás miatt átmenet keletkezik (T), sorbafejtjük a sugárzás paritása és impulzusmomentuma szerint.

Ha T paritása $\sim (-1)^l$, akkor elektromos multipól sugárzásból, ha $(-1)^{l-1}$, akkor mágneses multipól sugárzásból beszélünk.

ΔJ	$\pi_a \pi_b$	Multipól
$0 \rightarrow 0$	± 1	tiltott.
$\frac{1}{2} \rightarrow \frac{1}{2}$	+1	$M1$
$\frac{1}{2} \rightarrow \frac{1}{2}$	-1	$E1$
0	+1	$M1, E2$
0	-1	$E1, M2$
1	+1	$M1, E2$
1	-1	$E1, M2$
2	+1	$E2, M3$
3	-1	$M3, E1$

Egy adott l -el elektromos multipól sugárzás kb. egy nagyságrenddel erősebb, mint az ugyanolyan mágneses multipól sugárzás.

Mint látható, a $0 \rightarrow 0$ átmenetek tiltottak. Ilyen átmenetek helyett a mag belső konverzióval vagy

belől párkeltéssel veszítheti el az energiáját.

$A=185$ magra számolt átménét eredmények:

	E	$t = 1$	$t = 2$	$t = 3$	$t = 4$	$t = 5$
	keV	sec	sec	sec	sec	sec
E_l	150	$8 \cdot 10^{-15}$	$8 \cdot 10^{-1}$	10^{-4}	$2 \cdot 10^{-1}$	$3 \cdot 10^6$
M	150	$3 \cdot 10^{-11}$				$2 \cdot 10^6$
E_l	900	$3 \cdot 10^{-17}$				$3 \cdot 10^{-1}$
M	900	10^{-18}				8

5.6. Maghasadás

Az atommagok kötési energiáját, mint láttuk, a félkémpríkus kötési energiaképlet elég jól megadja. Az egy részre tekintve eső kötési energia a vas körülbelül elemek tartományában maximális, -8,6 MeV körül érték. Körülbelül elemek esetén túl nagy a mag felülete a térfogatbaosztás képest, így a nagy pozitív felületi energia csökkeni a kötést, nehéz elemeknél a protonszámmal arányosan növekvő Coulomb tasztása jut egyre nagyobb szerephez. Energetikai okokból azt vizsgálhatjuk, hogy a könnyű magok köszönhetően magokkal egyesülnek, a nehéz magok könnyebbekké válnak szét. Mindkét folyamatban energia szabadul fel. Az első folyamatot fizikának nevezik, a másodikat hasadásnak. Mindkét folyamat energiatartammalakulással, de több viszonyban az energiatartamhoz csak a hasadás esetén alkalmazható, de több viszonyban az energiatartamhoz csak a hasadás esetén alkalmazható reaktorokban. Fizikai reaktorok csak a csillagokban működnek.

Két könnyű elem fizikai általában nem követhető meg, ugyanis az atommagok pozitív töltései miatt fellépő Coulomb tasztás miatt nem kerülnek olyan közel egymáshoz, hogy a vonzó magentik árványosulásuknak. Ugyanakkor a nehéz elemek elhasználását is akadályozza a Coulomb potenciál. Két nehéz elem csak akkor tud szétválni egymástól, ha a Coulomb gátló hatásának meghaladja a hasadási töredék magoknak, műszával fragmáneknak rendelkezniük. Mivel nehéz elemeknél a Coulomb gátlás nagyon erős, alig néhány millió eV-re van a hasadási töredék és a fragmentumok között. Ilyen nagyságrendű gerjesztések nincsenek a magban, a fenti energetikai meggondolás valahol hibás. Ahhoz, hogy megállapíthatók, hol hibás, részletesebben meg kell vizsgálnunk a hasadás mechanizmusát.

5.6.1. A hasadás kísérleti leírása

1934-ben Fermi és munkatársai megkészíték a deuteron besugárzás révén kapott új elemek ill. új izotópok vizsgálatát. Az az elérési módszerrel fel, hogy a legnehézebb elemeket (Th, Pa, U) neutronnal besugárzva azok β -rombolnak és így új transzverzális elemek hozhatók létre. Uránmagot neutronnal besugárzva négy bétasztív radikálisotópot találtak. Hahn ezek közül a 234, 235 és 238-as urán izotóphoz tartozott, de a negyedikről nem tudták megállapítani, mi lehet. Hahn és Straessmann elkezdték ezt az aktivitást vizsgálni és megállapították, hogy nem lehet az urán százalékos horizontán anyagiból, a báriumtól elválasztani. Számos ellenőrző kísérlet sorozat után Hahn arra a meggondolásra jutott, hogy neutronnal besugárzva az 80-as rendszámú bárium egy radikális izotópja keletkezik.

Mehlner és Frisch a személyes jelenség magyarázatára a következő elírásokat vetették fel: a neutron befogott gerjesztett uránmag a gerjesztés hatására reztráltan kezd, körülönen elváltozni és elhasad. A hasadási termékek két durván egyformájú nagyságú töredék mag és esetleg neutronok, elektronok stb. A hasadás során kissé önmagát a felszabadult energia, ami legfeljebb ~200 MeV. A hasadási termékek, amint azt Frisch kísérletileg is igazolta, nagy hatótávolsággal rendelkeznek. A két termék általában nem egyforma, egy nagyobb és egy kisebb termék keletkezik 100 ill. 60 MeV átlagos energiával.

A hasadás véghemiszférikus során három főbb részről megkülönböztetni; Az első részben az A_0, Z_0 közelbenői mag két, nagy, A_1, Z_1 ill. A_2, Z_2 magra oszik szét. Az urán jólval neutrondúsabb mag, mint a hasadáson keletkezett töredék magok, ezért a hasadás után mintegy 10^{-15} s-ön belül neutron (és esetleg α -rázsz) lép ki a magból, ami a fotonok kilépése követ, egy A_3, Z_3 ill. A_4, Z_4 magot hagyva hátra. Ha ezeknek a magoknak a félkettartama elég nagy, radioaktivitásukkal is kialakíthatók.

Mag	Neutroncsim.
^{232}Th	1.21 ± 0.15
^{232}U	2.30 ± 0.20
^{240}Pu	2.23 ± 0.05
^{254}Cf	3.90 ± 0.14
^{254}Fm	4.05 ± 0.19

5.1. táblázat. Atommagok hasadással körüljáró átlagos neutroncsim.

Célmag	X	E_b	S_n	e_n
^{232}Th	0.750	4.8	6.4	0
^{232}Th	0.732	6.4	5.2	1.2
^{235}U	0.750	4.8	6.4	0
^{235}U	0.740	5.9	5.1	0.3
^{238}Np	0.754	4.3	6.4	0
^{238}Pu	0.775	3.5	5.5	0
^{252}Mg	0.8	2.5	5.5	0

5.2. táblázat.

Nehéz magok hasadási energia (E_b), szeparációs energia (S_n) és a bombázó neutronok hasadáshoz szükséges kinetikus energia

Ezekután a neutronban gazdag magok β -komplexek során A_k, Z_k ill. A_k, Z_k végállapotokba mennek át. Még a β -komplexek között is változik előfordulása, hogy néha neutronok lépnek ki a magból. Ezek a β -komplex látható volta miatt jóval kevésbé lépnek ki, mint a hasadás elején körüljáró neutronok, néha egy egész percrekkel kevésbé. Ezeket a neutronokat késleltetett neutronoknak nevezik nevezik. A hasadáskor jelekben az a kevésbék szempontjából fontos adat, a hasadás során átlagosan körüljáró neutronok száma. Az 5.1 táblázatban felírtunk néhány elemnél a spontán hasadás esetén átlagosan körüljáró neutronok számát.

Külön szoktunk beszélni spontán és gerjesztett hasadákról. Ha a hasadási energia kicsi, a hasadás aligáteffektussal magától is bekövetkezik véges időn át. Az 5.1 ábrán a spontán hasadás fálfelület-tartama van feltüntetve különbségek magokra. A 256-nál nagyobb tömegszámú magok már rendkívül könnyen hasadnak. Könnyebb magok, mint a ^{240}Pu transzmutáció spontán hasadással viszonylag lassan bomlik, de a fálfelület-tartama sokkal rövidebb az ábrán látható ártáknál, ugyanis a bomlás elágazásban α -résszel körülözöttetől tártanak.

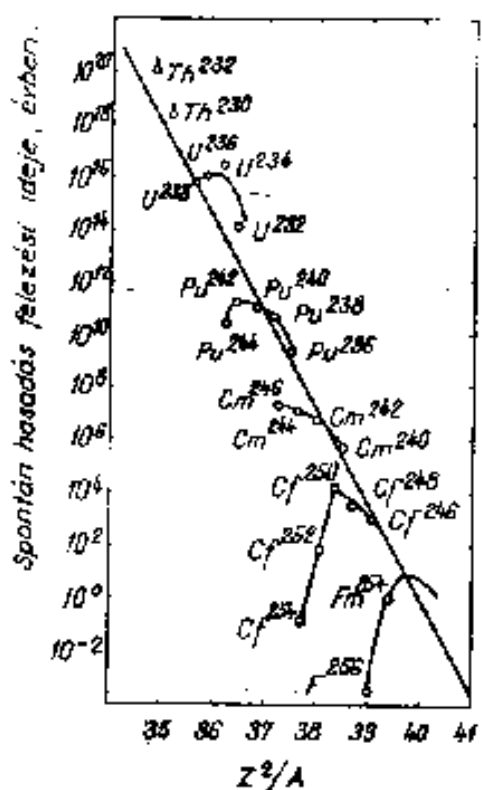
Stabil elemek és még az elág transzmutáció elemek esetén is a hasadás elágazában mesterségesen következik be, a magot valamilyen módon gerjesztik. A hasadási energiát legkönnyebben a (γ, f) (f itt a hasadást jelenti) reakció hatásáresemtesetének viszegátláttival kapjuk meg, ha a γ becsű fotonok energiáját folytonosan váltogatjuk. Az 5.2 ábrán négy magra feltüntettük a (d, pf) és (d, f) hatásáresemtesetek viszonyát a gerjesztő energia függvényében. Mivel hasadási általában termikus neutronokkal szokás előidézni, a közhelyes rendszer energiáját átszámoltuk neutronokkal előidézett reakciók esetére. Az a hatásáresemteseteket, a megfelelő becsű neutron energiájának függvényében ábrázoltuk. Neutronokkal előidézett reakciók esetén a hasadási energia

$$E_b = S_n + e_n$$

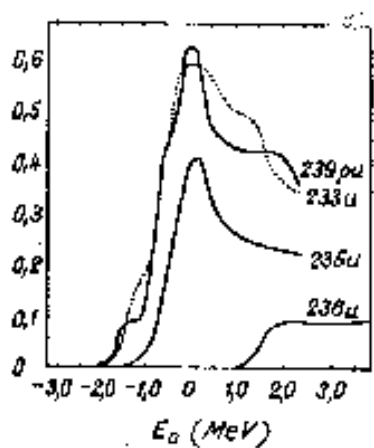
ahol S_n a neutron szeparációs energia, e_n a kinetikus energia.

Az 5.2 táblázathoz néhány nehéz magra feltüntettük π , E_b , S_n és e_n értékét, az 5.3 táblázatban pedig a termikus neutronokkal előidézett hasadási keresátmetszetek értéke van feltüntetve néhány magra. A hatásáresemteseteket csak elág bizonytalannak ismerjük.

Megvizsgáltuk a látható neutronokkal előrehozott hasadárok keresátmetszetét a becsű neutron-energia függvényében. Néhány tízöt elektronvoltig a keresátmetszetet az $\frac{1}{\sqrt{E}}$ törvény szerint változik, majd néhány édes rezonanciaresszszel csökkenhető. Az 5.3 ábrán az ^{235}U teljes ill. hasadási keresátmetszete látható $E < 5$ eV becsű neutronenergiák esetén. A hatásáresemtesetekből válogatva, hogy a hasadás közhelyes mag képződése révén végbemenő folyamat, a rezonancia a közhelyes mag nívóinak felelnek meg. Az 5.4 táblázathoz feltüntettük ^{235}U esetére a rezonanciaenergiák értékeit, a



5.1. ábra. Spontán hasadás felezési ideje $\frac{Z^2}{A}$ függvényében. Az ábra állógarítmikus.

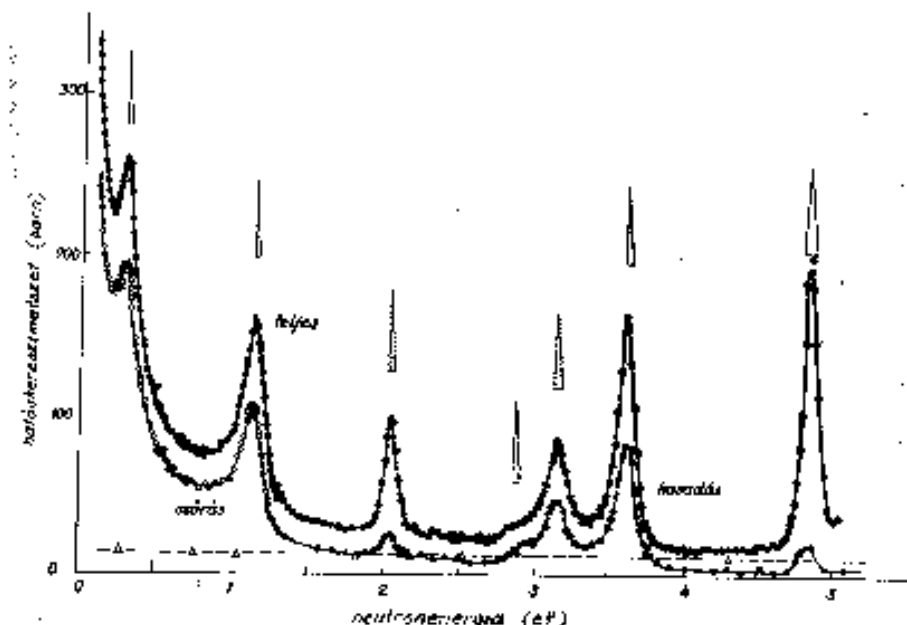


5.2. ábra. A (d,pf) As (d,p) hatásáresteredmények viszonya a neutronenergiának a függvényében

Atommag	σ_f	(born)	$\frac{\sigma_f}{\sigma_{\text{abs}}}$
^{235}U	518 \pm 4		
	530 \pm 8		0.90
	556 \pm 6		
^{236}U	576 \pm 15		
	542 \pm 4		0.81
	590 \pm 6		
^{238}Po	623 \pm 14		
	779 \pm 5		0.7
	1055 \pm 8		0.8
^{243}Am	6390 \pm 100		0.75

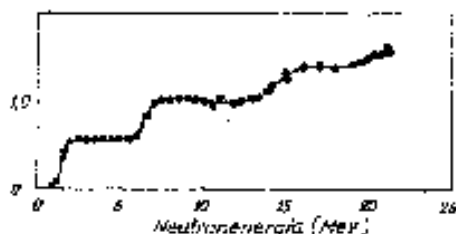
5.3. táblázat. Neutrális magok hasadási keresztmetszetei

$E_0(\text{eV})$	$\Gamma_\gamma \cdot 10^{-3} \text{ eV}$	$\Gamma_b \cdot 10^{-3} \text{ eV}$
0.29 ± 0.005	34 ± 7	105 ± 5
1.13 ± 0.01	30 ± 10	120 ± 15
2.04 ± 0.03	30 ± 6	14 ± 3
2.82 ± 0.05		70 ± 45
3.14 ± 0.02		135 ± 25
3.61 ± 0.02		65 ± 10
4.84 ± 0.02		20 ± 10

5.4. táblázat. ^{235}U rezonancia energiái és a szűkességei (γ -bonálás II. hasadási)

5.5. ábra.

A teljes hasadási keresztmetszetet tükröző a $0.1\text{-}5 \text{ eV}$ -os neutronenergia-tartományban ^{235}U esetére.



5.4. ábra.

^{235}U hasadási keresztmetszetének menete a bombázó neutronok energiájának a függvényében.

Γ_1 sugárzásai és a Γ_2 hasadási szélességeket. Γ_1 nagyjából azonos a különböző nívók esetén, míg a hasadási szélesség ennek füktől. Γ_2 átlagos értéke 0,1 eV körül van.

Az 5.4. ábrán az ^{235}U -nak gyors neutronokkal végyett hasadási keresztmetszete látható. A görbe jellegzetes, más magoknál is ilyen típusúnak adták. 2 és 6,5 MeV közötti energia körött a hasadási keresztmetszet gyakorlatilag állandó. A 6,5 MeV-nél kevésbé emelkedés annak tudható be, hogy $(\text{n},\text{n}'\gamma)$ folyamat is létezhet, míg 14 MeV-nél az $(\text{n},2\text{n}\gamma)$ folyamat követőenergiája van.

5.6.2. Hasadási termékek

A hasadások nagyon kis százalékban a mag körül hárrom egyforma részre oszlik, vagy két részre. Az egy rész is kílét. Ezek a folyamatok azonban nagyon ritkán, 10^{-4} valószínűséggel fordulnak elő, így a többiakban csak a két részre hasadással fogalkozunk.

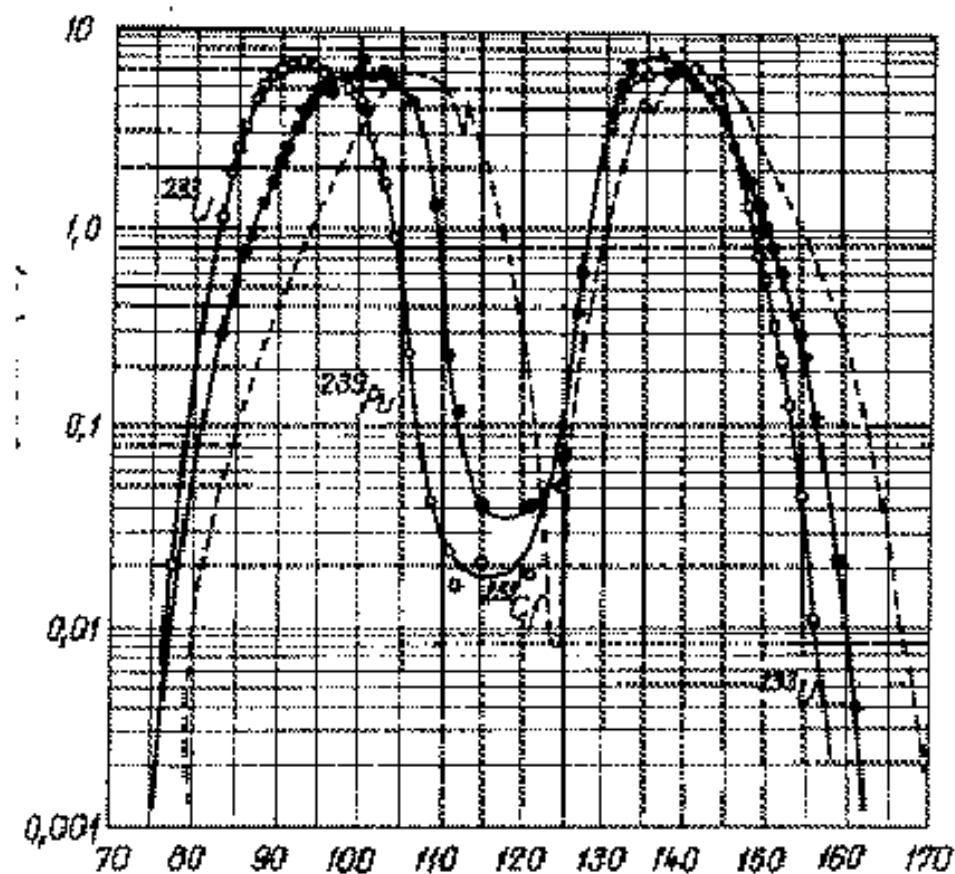
Az elágazások szerint a hasadási termékek tömegének eloszlása nem egyformá. Az 5.5. ábrán néhány magoknak készít neutronokkal kiváltott hasadásiának, illetően spontán hasadásiának a tömegeloszlását ábrázoltuk. A két egyenlő részre való hasadás néhány magoknál láthatóan nagyon valószínűlhet. A csökkenés helye néhány magknál nagyjából azonos helyre esik, íme a néhány mag osztás minden magánál, a könnyűt mag osztás a tömegesim osztákonak megfelelően kicsit eltérők.

A törmeléknél könnyebb magok esetén a tömegeloszlás formája meg változik, egyre nagyobb valószínűséggel lép fel szimmetrikus hasadás. Az 5.6. ábra a ^{226}Ra hasadási termékeinek tömegeloszlását mutatja. A szimmetrikus és antiszimmetrikus hasadás körfülből egyformán valószínű. Úgyintán né a szimmetrikus hasadás valószínűsége nehezebb magokra is, ha né a bennük bombázó részessége energiája.

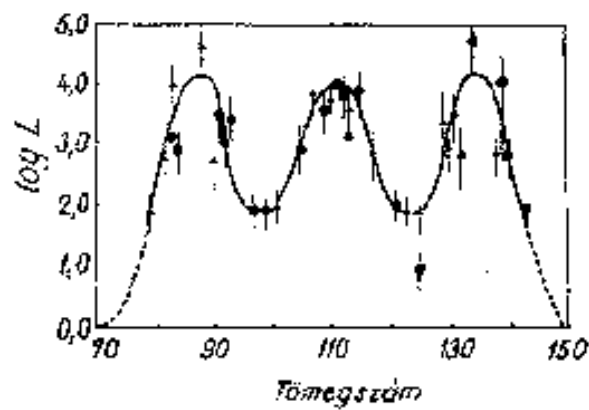
A hasadási termékek tömegeloszlását először a statisztikus modellrel próbálták meggyártani. A statisztikus modell szerint a hasadási magban termikus egyensúly áll elő és a rendszer véglapotainak valószínűségei, azaz azt, hogy melyik végállapot milyen valószínűséggel valósul meg, a két végmag nívótársulatának a szorosan határozza meg. A legvalószínűbb az a hasadási mód, amelykoránál a hasadási termékek nívótársulatainak a szorosan a legnagyobb. A statisztikus modell durván meghatározza a hasadási termékek tömegeloszlását, de természetesen a héjszerkezet, illetően a párenergia hatását sem szabad figyelem kívül hagyni.

A hasadási termékek töltésselősségeit is célzottan meghatároznak, ez azonban kiötrölleg sokkal nehezebb feladat. A hasadás után keletkezett termékek nagyon neutronfelesleg, hiszen egy néhány magban enkkal nagyobb a neutronfelesleg, mint könnyű magokban, így a hasadást követően β -komplexek következnék be. A β -komplexek a legtöbb esetben olyan gyorsak, hogy nem sikerül regisztrálni őket. Úgy tűnik, hogy elég jó eredményeket ad az a feltevés, hogy a végmagok protonhiányú a stabil borbárok többséhez képest egyformá a két mag esetében.

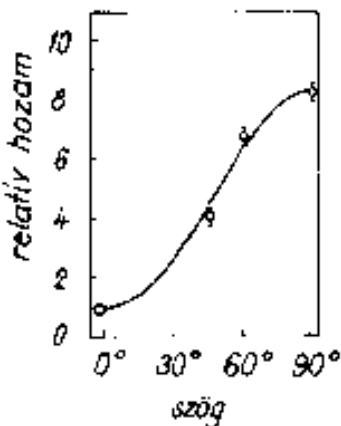
A kiötröltek szerint a hasadásnál kílétő részek szélessével is függ attól, hogy a hasadás milyen módon gerjesztik. Röthasadásnál, azaz fotonok által elindított hasadásnál azt tapasztalták, hogy a hasadási termékek a hasadást előidéző részreki irányához képest anktorápián repülnek szét. Páros-páros előtérben a foton energiájával. Az 5.7. ábrán 7 MeV-es fotonokkal keltett hasadási hasadási termékeinek anktorápiáját mutatjuk be ^{232}Th esetére. Páratlan tömegesim előtérben a foton energiája mag esetén anktorápiáit nem Ásvaletek. Az anktorápiák oka a páros-páros magok nívótárszerkezetében keresendő. Ha a gerjesztési energia csak kiegészít haladja meg a hasadáshoz szükséges



5.5. ábra.
A hasadtól termékek tömegének eloszlása lássát neutronokkal való bombázással ^{235}U és ^{233}U
esetében, továbbá ^{239}Pu spontán hasadtól



5.6. ábra. A hasadtól termékek tömegeloszlása ^{226}Ra esetében

5.7. ábra. ^{232}Th hasadtai termékeinek szögelosztása a γ fotonok irányához képest.

energiát, a deformáció során a magnak levezet felesleges energia van. Párca-párca magok superfolyékonyak, ezért egyes részecskék csak akkor tudnak gerjesztődni, ha egy pár szimmetriatáblánál nagyobb energia áll a mag rendelkezésére. Ha a fennmaradó gerjesztői energia ennél az érték nél kisebb, kollektív növek gerjesztéseknek. Ezek követői van 1^- nívó is, tehát páratlan paritású és egyes impulzusmomentumú. Mivel a fotonabszorpció az elektronos dipól átmennetnél a legnagyobb, a gerjesztett mag 1^- állapotba kerül a foton elnyelése után. Mivel a foton impulzusmomentuma a haladás irányába edlik, az 1^- impulzusmomentumállapotú mag beindulás is ebbe az irányba lesz. Párca-párca magok kollektív gerjesztésnél az impulzusmomentum irányá és a deformáció idő szimmetriatengelye merőlegesek egymásra. Mivel a kijött részek a mag szimmetriatengelyhez képest lépnek ki izotrópán, a besét foton irányához képest a kilépés anizotróp lesz. Ha a foton energia nagyobb, nem csak kollektív, hanem egyre több egyrészecske 1^- állapot is gerjeszthet, ezekben az impulzusmomentum irányá és a deformáció szimmetriatengelye nem merőleges egymásra, hanem a legkülönbségesebb iránytak lehetnek, különösen a szögelosztás izotróp lesz. Úgyintén fennáll az izotrópia páratlan magok esetén, mivel ott már kis energia is gerjeszthetnek egyrészecske nívóik.

Gyors neutronokkal vagy töltött részecskékkel bombázva az atommag impulzusmomentuma nagyjából a részecskék besettk irányára merőleges. Mindezután a mag szimmetriatengelye is merőleges az impulzusmomentumra, így a szimmetriatengely a besét irányába mutat, a részecskék kilépése ebbe az irányba lesz.

5.7. Hasadási energia meghatározása héjmodellből

Az atommag energiájának Weizsäcker-féle empirikus formulájában nincs figyelembe véve sem a héjszerkezet, ill. a párenergia, sem a deformáció. Ez utóbbi az előbbiből következik: héjszerkezet nélkül a legnagyobb energiájú magalak mindenig a gombaszimmetrikus.

A héjszerkezet hasadának figyelembevétele nem til egyeszerű dolog. Elvileg meg lehet azt csinálni, hogy a Hartree-Fock szimmetrikus hasadási szimmetrikai végtelen deformált magokra is, azaz a $\langle \psi | H | \psi \rangle$ hullámfüggvényt minimalizáljuk az egyrészecske hullámfüggvények szerint, ahol H a mag teljes Hamilton operátora. Az ψ a teljes hullámfüggvény, de az csak az egyenstíli deformált állapotot szolgáltatja. Ahhoz, hogy hasadt deformációkra megkapjuk a mag hullámfüggvényét, mellékfáthallékint meg kell még adni a magasabb momentumok értékeit is. Ilyen módon a hullámfüggvényeket a deformáció paramétereik függvényében kapjuk meg. Mivel azonban deformált magoknál a nívók nem degeneráltak és minden hullámfüggvény sajátos része is különbözik, a deformált Hartree-Fock szimmetria platonikusura pl. 240x240 osztolt differenciálegyenlet megoldását jelenti, ami nehézségekhez fűződik. Éppen ezért a szelf-konkrétna Hartree-Fock egyenletek helyett hasadtaknál egy Saxon-Woods potenciálban szolgáltak az egyrészecske hullámfüggvényeket megoldani. Ha azonban a Saxon-Woods egyrészecske energiákkal határozzák meg a mag energiáját, az

$$E = \frac{1}{2} \sum_i (t_i + e_i)$$

Hartree-Fock összefüggés használata már nem jogosult. (E a mag teljes energiaja, e_i az egyrészreke energiák értéke. És t_i az egyrészreke kinetikus energia.) Ez csak self-consistentes szimulációk esetén érvényes. Mag lehet természetesen azt is csinálni, hogy a Saxon-Woods egyrészreke hullámfüggvények antiszimmetrikus szorítását kövesse az így kapott teljes hullámfüggvénnyel képesek H-várhatalmukat, egyszer deformált, egyszer gömbszimmetrikus esetre, és a kettő kölönbsége a hasadás energiája.

$$E_b = (\psi_{k\sigma\sigma\sigma f}|H|\psi_{k\sigma\sigma\sigma f}) - (\psi_{k\sigma\sigma p}|H|\psi_{k\sigma\sigma p})$$

A szimulációk azonban rendkívül hosszadalmasak és nehézségek és nem várhajtjuk, hogy elég pontosak, hiszen a Saxon Woods hullámfüggvények csak közelítőleg érvényesek, egyáltalán nem a valódi hullámfüggvények, és nem tudjuk, milyen jó ez a közelítés.

Ezt a problémát elkerülendő Strutinsky Árnumatával egy új módszert találtak ki. A deformált folyadékcsapp, mint láttuk, előrendben jól leírja a deformációt, csak a héjszerkesztet kell figyelembe venni valamit módton. Egy Saxon-Woods potenciálvölgynél meghatározza az egy részreke energiákat. Az a mag teljes energiáját mint a

$$E = E_{\text{szm}} + \Delta E_{\text{h}\sigma f} + \Delta E_{\text{p}\sigma f}$$

kifejezést, írva fel, ahol $\Delta E_{\text{h}\sigma f}$ és $\Delta E_{\text{p}\sigma f}$ a

$$\Delta E_{\text{h}\sigma f} = \sum_i e_i - \overline{\sum_i e_i}$$

$$\Delta E_{\text{p}\sigma f} = E_{\text{p}\sigma f} - \overline{E_{\text{p}\sigma f}}$$

összefüggésekkel van meghatározva. $\Delta E_{\text{h}\sigma f}$ a héjkorrekció, $\Delta E_{\text{p}\sigma f}$ a páremergia miatti korrekció. A fentiak felírásához a következő alapgondolat vezet: a csepplémodell energia az átlag energiáértéket tartalmazza, tehát csak az ehhez képest fellépő korrekciókat kell figyelembe vennünk, amik egészben véve ki az átmérőket. Az

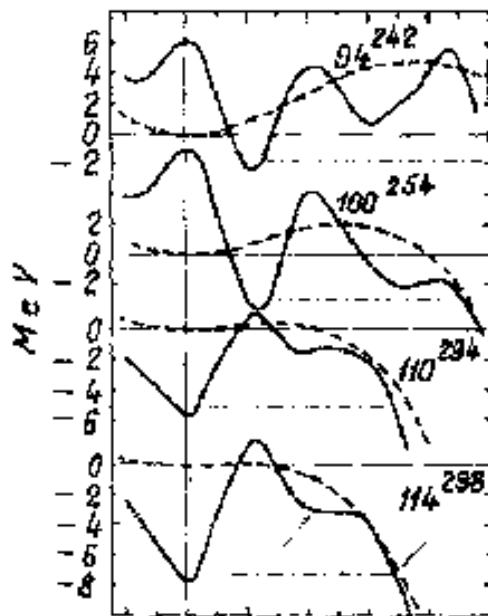
$$E = \sum_i e_i + E_{\text{p}\sigma f}$$

kifejezés nagyon pontosanul határozza meg az energiát, egyáltalán nem várhajtjuk, hogy a hasadás energia értékének meghatározásábanáljó átmérőket kapunk. A kis átmérőkkel korrekciók meghatározására azonban jó lehetőség az eljárás is. Mivel az átlagértéket jól megkapjuk a csepplémodell számításokból, vonjuk le a fenti E -ből az átlagértéket. Az adunk hozzá a csepplémodell átlagértéket. Az eredmények csaknugyan rendkívül jól megegyeznek a tapasztalattal. Az 5.8 ábrán az e deformációs függvényben (a magassabban rendel deformációt körül minimálunk) fel van tüntetve a mag energiaja. Az első minimum az alapállapot deformációjának felel meg. Valamennyi magnál láttható egy második minimum is a hasadás előtt. Jól látható, hogy a második minimum a héjszerkesztet következménye, a csepplémodell (szaggatott vonal az ábrán) nem ad ilyen minimumot. Nehéz magokra (transzverzális magok) a második minimum után fellépő maximum alacsony és keskeny.

A két maximumra hasadás gát. Itt az utóbbi évek közötti eredményei igazolódtak. Ezek közül a legfontosabb a spontán hasadás izomérek felidélezése volt. Ezek az izomér állapotok inkább hasadással bomlanak, mint γ bomlással. Az első ilyen izomér, amit felidéztek a ^{242}Cm izomér állapota, 14 ms feleségi idővel hasadt. A jelentős magyarázata a második minimum fellépte. Az izomér állapot ezen második minimumban van, a hasadás abból az állapotból jóval könyebb, mint az alapállapotból.

5.8. Az atomenergia felhasználása

A hasadás magfizikai jelensége, egy magfizikai számra a hasadás a gerjesztett atommag egy lehetőséges bomlási formája. A hasadás szerepe egyáltalán nem kitüntetett. A gyakorlati élet szempontjából azonban a hasadás tölniött a magfizika keretein, s hasadás során felváthatóbb hatálmas energiamennyiséget miatt. Már minden országban atomenergia birtokbaigények vannak. Az a hasadásban



5.8. ábra.

A potenciális energia e függvényében különböző magokra. A szaggatott vonal a cseppmodell eredménye, a folytonos vonal a hélyisérvetető is magába foglalja.

felkavartult energia hasznosítása orvagos gávfásig feladattá vált. Éppen ezért indokolt az atomenergia hasznosításának elvi és gyakorlati problémáival külön beszélni.

5.8.1. Neutron kllépés hasadásokor

Mint már említettük, a hasadt magok lényegesen neutrondúsabbak, mint a hasadási termékek. A neutroneleslegűket a magok részben β -bonálssal, részben neutron kllépés révén veszik el. A neutrónok egy része a hasadt pillanatban kllép a magból, más részük viszont csak a magból kllépés előtt jóval később, másodpercen át esetleg percenként kllép ki. Ezeket a neutrónokat nevezik késleltetett neutrónoknak. A késleltetett neutrónok nyilván nem kötözött magreaktoroknál megszokott bonális során lépnek ki, hiszen ezeknek az időtartama $10^{-16} - 10^{-20}$ sec lenne. A késleltetett neutrónok klléptének magyarázata a következő: a hasadtak után végtermékek nem kötött neutrónjakkal szemben elveszik neutrondllépés révén. A maradék magok még neutrondúsak lehetnek, de neutrondllépés miatt nem kötölhetik be, mert minden neutrón kötött. Ezek a magok (β -bonálssal más magokhoz akadályozták). Előfordulhat, hogy a keletkezett α mag nem stabilis neutrondllépésessel szemben: Ilyenkor neutrónok lépnek ki a magból. Természetesen ez a neutrondllépés csak a β -bonálás után kötölhető be, így a hasadtakhoz képest késleltetett. Az aszimmetrikus kllépő neutrónok energiája néhány MeV körül van, hasadtaknál átlagosan 2,5 neutrón lép ki. A késleltetett neutrónok energiája keV nagyságrendű, ^{235}U esetén átlagosan 0,018 neutrón lép ki magonkent.

Ha egy hasadt mag neutrónokkal ütközök, a neutrón befogja és bizonyos valószínűséggel elhasad. Egy hasadt során 200 MeV energia szabadul fel, nagyrészt a hasadási termékek kinetikus energiája formájában. A hasadási termékek ütköznek az öket kötölvevő anyagban, az ütközés során lelassulnak. Az kinetikus energiájuk hővé alakul. A felkavartult energia tehát hőenergiává alakult ki.

A hasadt során neutrónok lépnek ki a magból, amely neutrónok egy része további hasadtat indukálhat az öket kötölvevő hasadt anyagban. Ha egy, vagy egynél több neutrón kellett törni a hasadtat, a hasadt önfennállás lezér, minireaktor kötölhetik be. Ha átlagosan eggyel neutrón kel-

Célmag	σ_f (barn)	σ_n (barn)	γ	η
^{235}U	521	69	2.51	2.29
^{236}U	590	108	2.47	2.08
Természetes urán	—	—	2.47	1.33
^{239}Pu	729	300	2.91	2.08

5.5. táblázat. Hasadt anyagok jellemző termikus neutronokkal bombázva

nagyobb hasadtat, a felszabadult energia állandó, ex a helyzet a reaktorokban. Ha egyenlő több neutron kelt, nagyobb hasadtat, a felszabadult energia exponenciálisan növekszik: ex az atombomba.

Nézzük meg, mi a valószínűsége annak, hogy egy a hasadtasorrán kilépett neutron nagyobb hasadtat kelt el. A kilépő neutronokkal a következők történhetnek:

1. Kilépnek a hasadt anyag felületén
2. A hasadt anyag körüljáró jelenleg nem hasadt anyagban fogékonyak lesznek
3. Hasadt anyagban fogékonyak lesznek, de nem képesek elő hasadtat keltetni
4. Hasadt következik lesz.

A neutron veszteséget csaknem teljesen követi, ha tisztta hasadt anyagot alkalmazunk, amiben minimális a szennyezettsége, csak olyan szennyezettséget van jelen, ami nem nagyon fog be neutronokat, továbbá ha nagy hasadt tömbökkel veszünk, azaz a felületet csökkenítjük a térfogathoz képest.

Legyen N azoknak a gyors neutronoknak a száma, amelyek hasadtasorrán elnyelőknek a hasadt magokban. A magok hatékonyanak hasadtással, rugalmas neutron szárasával vagy β -hasadtással. A rugalmas neutronszáras esetben az esetekben elhanyagolható. Az a teljes keresztszintet:

$$\sigma = \sigma_f + \sigma_n$$

A hasadt magok száma ezek szerint:

$$\eta = \frac{N\sigma_f}{\sigma}$$

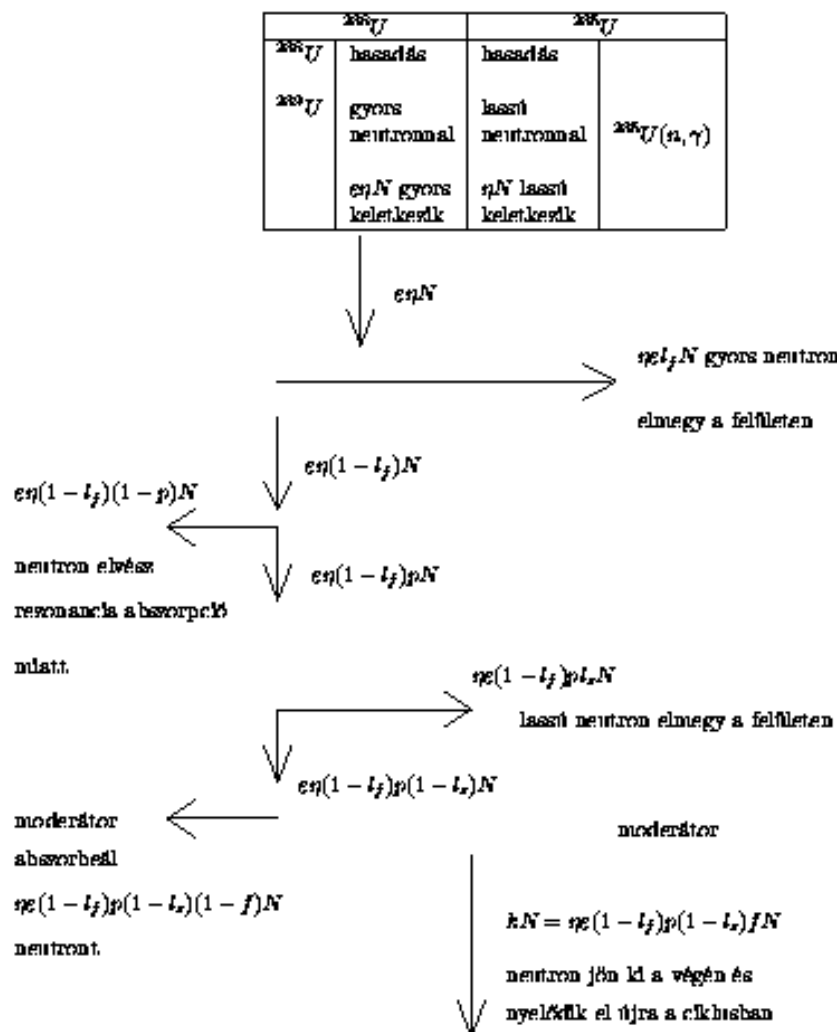
Az 5.5. táblázathoz fel van tüntetve néhány magra a hasadtasorrán kilépő neutronok száma (r) egy tisztta végtelen anyagban az újra hasadt magok száma (η). Az a σ_f II. σ_n hatáskezessétszintek értéke.

5.8.2. Hasadt reaktorok

Hasadt reaktorok a természetben megtalálható legjobban hasadt anyag, az uránium segítségével működnek. Az urinak két izotópja van, az ^{235}U és a ^{238}U . Ezek közül az ^{235}U hasad jobban, kisebb a hasadt energiája, ugyanis ennél nagyobb a $\frac{\sigma_f}{\sigma_n}$ aránya. Az ^{235}U -nek természetesen a spontán hasadt felülettartása is rövidebb, azért a természetben kisebb mértékben található: a természetes urán követnek csak mintegy 7%-a ^{235}U . A reaktorban elszaporban ^{235}U van. Az ^{235}U -ban a hasadtasor keresztszintet 1 MeV-nál lassabb neutronok esetén elhanyagolható, de 5-100 eV-es neutron energiájának rezonanciák vannak, ahol az (n,γ) hatáskezessétszintet nagyon nagy. Ez az oka annak, hogy a természetes urán nem hasad el, ha elég nagy a tömb ^{235}U -ben egyetlen neutron is elindithatna a hasadtat, de az ^{235}U hasadtasor keresztszintje csak termikus neutronokra nagy, ha pedig a neutronok klasszikusak, az ^{235}U elnyeli őket. Éppen ezért a természetes uránban csak úgy következhet be a hasadtas, ha a neutronok lelassítása az urántomban kívül történik.

A reaktorok működtetésének elérő követelménye, hogy az elérő pontban említett η faktor egyenlő legyen. ^{235}U -re $\eta = 2.08$, természetes urárra $\eta = 1.33$. Ez az egy elnyelt lassít neutronra eső keletkezett gyors neutronok száma. A keletkezett gyors neutronokat esetén le kell lassítani a hasadt anyagon kívül. Emlati, hogy hasadt uránreaktor lassító anyagba behelyezett uránrudakból áll. A lassító anyag neutron befogadó keresztszintje kicsi kell hogy legyen, illetve például a grafit, vagy a deuteron.

A neutronikus szemantikusan az 5.9. ábrán látható.



5.9. ábra. Neutron ciklus természetes urán reaktorban

A termikus neutron elnyelők a hasadó anyagban, gyors neutron kör körben, az lelassul majd tűr elnyelők. Eredetileg N lassú neutron nyelőkkel el és kN gyors neutronok adtak, amelyek a rölk végén tűr elnyelőknek. A reaktor működésének feltétele, hogy $k > 1$ legyen, de ugyanakkor k tölcsőszerűen nagy sem lehet, k ártékét kell egy reaktor működésénél meghatározni.

Ha N neutron nyelőkkel el, elérhető ηN gyors neutron keletkezik a hasadás során. Ezek körül néhány ^{235}U -on kelt hasadást, ezek során több gyors neutronok keletkeznek, így a gyors neutronok száma csökkenésre csökken. Néhány gyors neutron elhagyja a reaktort, ezek tehát a további események szempontjából elvesznek. Ha I_f a neutronok felületén való kihúzásának valószínűsége, a megmaradt gyors neutronok száma $\eta(1 - I_f)N$. A lelassulás során a neutronok egy része természetesen elszármaz, az uránba és elnyelők ^{235}U -on működőben fotonok lépnek ki. Ha p annak a valószínűsége, hogy egy neutron elkerül az elnyelést, a megmaradt gyors neutronok száma $\eta(1 - I_f)pN$. A termikus neutronok egy része meging elhagyja a reaktort további elnyelés nélkül, így a megmaradt neutronok száma $(1 - I_r)$ -el csökken, végül a neutronok egy része a lassú anyagon fogódik be. Ha f annak a valószínűsége, hogy a neutron nem fogódik be a lassú anyagon, a meghatározandó k állapot:

$$k = \eta p f (1 - I_f)(1 - I_r).$$

Ha a hasadó részéből összesen nagyon nagy, $I_f = I_r \sim 0$, azaz a felületen való elszármazás valószínűsége elhanyagolható,

$$k_{\text{cs}} = \eta p f = 1.33 \cdot 1.02 \cdot 0.9 \cdot 0.9$$

tipikus adatok az egyes tényezőkre, így a reaktor működésének a feltétele az, hogy a neutronok felületen való elszármazása ne csökkenje le a k ártékét 1.10-nél 1 alá.

Már a világ különböző részéin különböző típusú reaktorok működnek, ezeknél minden ártalma részletesebben beszélünk. Errémes megemlíteni azonban egy problémát, ami valamennyi hasadó reaktornál létezik: a hasadás után radioaktivitás lép fel az anyagok maradványai vissza, amelyeket valamilyen módon el kell távolítani. Ezek az anyagok hosszabb rövidebb ideig még sugárzanak, és árt elegendően elszármaztatni őket tilosztanak veszélyes lenne. Önműködésbe ágyazva feltéhenleg ártalmatlanul tehetők, mert az atom a sugárzásnak nagy részét elnyeli, de ez költséges és nehézséges eljárás. A radioaktivitás szennyezett termékek elhelyezése minden reaktornál probléma és nem megoldott feladat.

5.8.3. Fúziós reaktorok

Energiafelhasználás nem csak hasadás, fizikai révén is bekövetkezhet. Itt csak a fizikai reaktorok leginkábbi problémáit emlíjtük meg.

Két deuteront α -résszé fissionálása közben nagy mennyiségi energia szabadul fel. Az ilyenkor szennyezett radioaktív anyag nem keletkezik. Mivel deuteront könnyegesen nagyobb mennyiségen található földünkön, mint urán, a fizikai reaktorok türelménye is kárem van. Elvileg tehát a fizikai reaktorok sokkal célszerűbb energiasolgáltatók berendezések, mint a hasadó reaktorok, ennek dacára fizikai reaktor ma még nem tisztel és a környezőben senki sem érzi kevésbé működését. A fizikai reaktorok megvalósításánál fellépő technikai problémák megoldása ugyanis még nagyon messze van.

Két deuteront α -résszé való egyesítését, akárak a nehez magok szétbontását, a kétet határozt Coulomb-taszítás akadályozza meg. A deuteronok közt ható nukleáris erők csak akkor átvényezhetők, ha a részek 10^{-13} cm távolságra vannak egymástól. Ahhoz, hogy két töltött deuteront ilyen közel kerülhessen egymáshoz, le kell gyakorolni a kétet fellépő elektronos tasztást. A Coulomb-gáz magassága klasszikusan $\frac{1}{\sqrt{4\pi\epsilon_0}}$, ilyen nagy energiája kell, hogy legyen a két részecskék. Kvantummechanikailag a részek aligátfeléktelen révén ennek kisebb energia esetén is álljanak a potenciál falon, de ahhoz, hogy a fizikai nagy valószínűséggel végeredményen, legalább néhány keV energiája kell hogy legyen a részecskék. Mivel a fizikai nem finomított folyamat, mint a hasadás, nem elég néhány ilyen nagyenergiájú részecskét belől a rendszerről, hanem el kell érni, hogy jelentős számú részecskének ilyen nagy energiája legyen. Ez csak olyan módon érhető el, hogy a rendszert felmelegítjük és a részecskék hőmozgásból származó kinetikus energia a kívánt árték. Egy meleg gáz részecskéinek sebessége és így kinetikus energiaszabadsága Maxwell-elvezetést követ, azaz az E energiájú részecskék száma $e^{-\frac{E}{kT}}$ -vel arányos. Egy E energiájú részecské a Coulomb-gáton $E < V_c$ esetén (V a Coulomb-gáz magassága, $e^{-\frac{E}{kT}}$) valószínűséggel jut el, ahol $\propto V_c$ -től függ. A fizikai valószínűsége tehát $e^{-\left(\frac{E}{kT}-\frac{1}{V_c}\right)}$ -vel arányos végeredményben. A legnagyobb a folyamat valószínűsége annál az

energiával, ahol a kitévű minimális, azaz $E = \left(\frac{e^2 T}{2}\right)^{\frac{1}{2}}$ -nél. Ilyenkor a feldő valószínűsége $e^{-2\left(\frac{E^2}{kT}\right)^{\frac{1}{2}}}$ -nál lezr arányos. A Coulomb gáz magasságával függ, azaz egy adott árték. A feldő valószínűsége annál nagyobb, minél nagyobb a T hőmérséklet. Számottevő feldő valószínűséghoz kb. millió fok hőmérsékletre kell a gáz felmelegíténi.

A feldő reaktornál kapcsolatban levő technikai problémák három részre oszthatóak:

1. A deuteron gáz felmelegítése
2. A millió fokos gáz együttes-tartása
3. A felzabadjút hőenergia hasznos elvezetése.

Az első probléma elvileg már megoldott, felismeréssel tudnak millió fokos hőmérsékleteket elérni. Annál nehézebb feladat a magas hőmérsékletű gáz együttes-tartása. Semmi más erény nem bírja ki ezt a magas hőfokot, tehát ezért tartani a gáz nem lehet. A megoldás valószínűleg magneses tér segítségével történhet. Óriási elektromágnesekkel töltött részéket elvileg esetleg együttes lehet tartani. És a gáz, amely kevesenyomot, de egyelőre nem elkerül stabilizálni az egészet. Végül nem olyan egyszerű feladat a felzabadjút energia elvezetése sem.

5.8.4. Atombombák

Az atomenergiát pusztító célra körülönbözőbb felhasználási, mint békés célra, hiszen bombában egy csomó szabályozott feladattal nem kell tördíni, evenkívül mivel bomba kevesebb van, speciálisabb anyagokból lehet készíteni.

Az első atombombák a hasadt bombák voltak. A hasadt bombákat ^{235}U -ból, vagy a még jobban hasadt, a Földön ma már nem található, ötmillió éves felére időjel ^{239}Pu -ból csinálták. A hasadt bombák működési elve ugyanaz mint a reaktor, csak itt nagyobb szerephez jut a kritikus méret meghatározása. Reaktoriál a reaktor méretét uránrólak betolásival ill. kihívásával környül szabályozni, a bombánál ezt nem lehet csinálni. Mivel a bombában nincs ^{235}U , a hasadtis során kiépül gyors neutronok magban a hasadtis anyagban lelassulnak, miközben nagysánumú neutron kiép a felhőben. Ahhoz, hogy a hasadtis láncreakcióterületen bekövetkezzen, a felhőt és a térfogat méretének viszonya egy meghatározott értéknél kisebb kell hogy legyen. Ugyanakkor nyilvánvaló, hogy a kritikus méretnél nagyobb bombákban a hasadtis véletlenül pl. kosztunkus sugárzás hatására is meghibásodhat, így ekkora bombákat tárolni nem lehet. Az atombomba éppen ezért két, a kritikus méretnél kisebb felgörbült áll, amelyeket a ledobás pillanatában lönnék össze, miközben a hasadtist egy körzetesleges radikális neutronforrás behajtja.

A feldő bombák megalakítása is lényegesen egyszerűbb feladat, mint a feldő reaktort, hiszen a felmelegített gáz csak néhány pillanatig kell együttes-tartani. A prőbombaiban mindenki a feldő gázat működítve tartotta, hogy a robbantás pillanatában a rendszer többi együttesmaradjon. A gáz a robbantás pillanatában egy hasadt bomba melegítette fel. Elhanyatos vérvízben a gáz, még egy hasadt környenylel venták körül a nagyobb hatékonyiséget teremtő.

A bombákat többi fogásokkal lehet még hatékonyabbá és borzasztóan pusztítókká tenni. Egy ilyen lehetősége például a bombáknak Ce környenylel való körlövéséle. A Ce egy 5 éves felére időjel radikális anyag, aholról tehát korból bombát dobnak, ott a terület gyakorlatilag 5 évig lakhatatlanná válik.

Valamennyi bombában neutronok szabadulnak fel, a neutronok pedig különböző anyagokon befolyásolva radioaktív izotópokat képeseknek. Egyik ilyen veszélyes izotóp a strontium radioaktív izotópja, amely a tejel a teljes emberi szervezetbe kerülhet. A strontium a káliumhoz hasonló kémiai szerkezetű, képes kis gyermekcseppek szintrendszerebe a kálium helyett beépülni. Nem csak az atombombák ledobása veszélyeztette a Föld lakóinak az épségét, hanem a kisérleti robbantások is.

6. fejezet

A magfizika felhasználása

A magfizika elméleti, kísérleti és technikai eredményei számos tudományágban továbbra a gyakorlati felületen is felhasználják. A továbbiakban, amikor, hogy teljesítére törekednénk, ezek között az alkalmazások közül néhányat foglalkozunk részleteiben.

6.1. A magfizika a fizika egyéb területein

A magfizikai eredményeket természetesen leg először a fizika egyéb területein, továbbra a határterületeken alkalmazzák. Az astrofizikával az elvű fejlesztések részletesen foglalkozunk, erről nem kiírunk most beszélni. De ugyancsak sokat felhasznál a magfizikai eredményekből az elemrések fellépése. Egy részecskefallás számára az atommag kísérleti objektum, amelyen az alapvető kölcsönhatást behatárol támogatásban. Az erős kölcsönhatásra vonatkozó alapvető kiemelések közé tartozik a nukleon-nukleon valamint a nukleon-neutron kölcsönhatás ismerete. Az előbbi a magfizika szerves része, az utóbbi mezonoknak atommaggal való kölcsönhatás támogatásával ismerhető meg legjobban. A részecskefallás ma használt matematikai eszközeinek egy része, mint pl. a reprezentációk vagy a komplex függvénytan egyes részei szintén a magfizikai eszközökkel születtek meg. De a magfizika hatására fejlődött ki az elemrések fizikában alkalmazott működésük nagy része, a gyorsítók, detektők stb. Az elemrések fizika valójában a magfizika továbbfejlesztése a nagyobb energiák tartományában.

Magfizikai jelenségeken alapuló működések használata gyakran a szilárdtestfizikában is. Ilyen működés lényege az, hogy az atommag gerjesztett állapotot mágneses és kvadrupólusmátrixok révén kölcsönhatásba lépnek a környezeti mágneses és elektromos terével és ezáltal pl. megváltozik a növekvő energia vagy a magnyonamatékok ártáka. A leggyakrabban használt egyik működés a Mössbauer effektuson alapszik.

Atomfizikában régóta megfigyelték az ún. rezonanciaabszorpciót. Ez mondhat, amikor egy bizonyos frekvenciájú besugárzásra az atom alapállapotból gerjesztett állapotba megy át, majd egy másik irányba ugrással az elnyelt fényt emitálja. Ezért alapszik pl. a fluoreszcencia. A folyamat hatáskeresztsézetének rezonanciaártáka van a gerjesztett és alapállapot kölcsönhatásának megfelelő energiában.

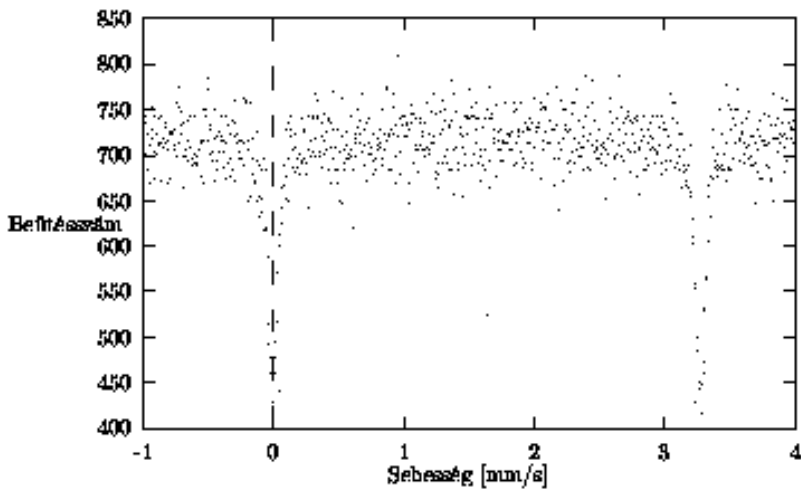
Hasonló jelenség vátható elvileg a magfizikában is, tölgy gerjesztett állapotnak megfelelő energiájú γ -sugarak, amelyek valamilyen radioaktív forrásból lépnek ki, rezonanciaállapotban elnyelők, majd újra kibocsátóknak. A rezonanciaabszorpciót nem tudták azonban megfigyelni. Ennek oka az volt, hogy a mag, amikor egy γ kvantumot kibocsát, visszalökkelik, az energia egy része erre fordítódik és a kisugárzott energia kevesebb mint a gerjesztett növekvő energia. Ha ugyanezen kijött γ -sugarakkal besugárzunk újra az anyagot, nem lesz a hatáskeresztsézetben rezonancia, attól nélküli az alacsony energiájú növekvő növekvőlámpáig keskeny, még csak nem is vagyunk a rezonancia közelében. Ha azonban a sugárzást kibocsátó atommagok egy kristályban vannak, a visszalökkelődő energiát a kristály veszi fel. A kristály a visszalökkelődő energiát részben transzmisszív, részben belső energia formájában veszeli fel. Az elso részek között a kristály nagy tömegével láthatóan elbanyagolható. Meg lehet mutatni, hogy bizonyos körfűrészések között a belső energia ártáldisznak valószínűsége is nagyon kicsi és az emellett abszorpció visszalökkelődés mentes. Legyen a visszalökkelődés során az energiavisszatérítés

$$\Delta E = \frac{E_0^2}{2M_e}$$

Így legyen a kristályon belül a vibrálás állapot energiája $\hbar\omega$. Ha $\Delta E \gg \hbar\omega$, azok oszcillátor vannak fel a vibrálásához energiát. Ha azonban $\Delta E \ll \hbar\omega$, egy oszcillátor kis valószínűséggel gerjesztődik és az absorbpcik vibrálásmentes lesz. Mivel $\hbar\omega \sim \hbar\Theta$, ahol Θ a kristály jellegzetes hőmérséklete, a vibrálásmentes absorbpcik feltétele

$$E_0^2 \ll 2M_e^2\hbar\Theta,$$

azaz kis energiánál jöhet előre.



A vibrálásmentes emelésű vonalak energia rendkívül lágas. Ha a mag elektromágneses térbe kerül, a hyperfineinterakciót miatt az energiaállapotot felhasadnak. A rendkívül lágas energiájú γ -sugarak mérésével megállapítható a felhasadás energiakörülbelülje és így a kihangsúlyozható elektromágneses tér erőssége. A kristályban levő elektromágneses tereket ilyen módon jól lehet mérni.

A magnitikus eredményeket a fizikával határos területeken is nagyban felhasználják. Mikrobiológusok radioaktív atommagokat használnak nyomjelzőként a sejtök szaporodásiának ill. a baktériumok viselkedésének tanulmányozásához. Biológusok radioaktív besugárzott állatok megfigyelésével határozzák meg, milyen meassze növegnak el az állatok eredeti helyzetükhez stb. Sajnos ezekkel nincs lehetőség részletesen foglalkozni, csak néhány gyakorlati alkalmazás és védekezési szempontot említenek meg a következőkben.

6.2. Sugárvédelem

A radioaktív izotópok olyan izotópok, amelyek önmaguktól radioaktív sugárvissza stabil magokra bomlanak. A radioaktív izotópokat mesterségesen állítják elő, a sugárvissza köré a körvonalakban a neutron sugárvidést is beszednek. A gyakorlati életben és tudományos célakra egyaránt használnak radioaktív izotópokat, azért elszükséges az legfontosabb feladataink a sugárvissza elleni védekezés megismerése.

A radioaktív bomláskorban felzavarhatók sugárvissza energiáinak csak az a része fejt ki biológiai hatást, amelyik a testszövethen elnyelhető. A besugárzott anyag egy grammja által hárulólag fajta ionizált sugárvisszából elnyelt energia mennyisége nevezik röviden rad. 1 rad = 100

eng/g. Elektromágneses sugárásnak dízelnek egysége a röntgen (r). Egy röntgen erősségű elektromágneses sugárás hatására 1cm^2 normál levegőben egy elektromosztatikus, egységgel rendelkező ionpár keletkezik.

Az emberi szervezet nem egyformán érzékeny a különböző sugárásokra. Ugyanolyan dízel gyors neutronsgárdia jóval veszélyesebb, mint lássz. Ez még az az utóbbi is veszélyesebb, mint a γ -sugárás. Ezért bevezettek még egy egységet, a rem-ét. Egy rem-erősségű sugárás ugyanast a biológiai hatást váltja ki, mint egy röntgennel γ sugárás.

A sugárás biológiai hatása elérésben abban jelentkezik, hogy származtatja az élő szervezetek sejteit. Nem tudni pontosan, hogy exakt milyen módon tessz, valóban illeg ionizáció révén. Két elmélet van a sugárhatások mechanizmusára, egyik elmélet sem teljesen elfogadható.

A találkaielmélet szerint az élő sejtekben egymástól bázisos távolságokra meghatározott méretű sugárterületen törögök foglalnak helyet. Biológiai sugárhatás csak akkor következik be, ha a sugárás részesével egy ilyen sugárterületen törögöt találnak el. Minél nagyobb a dőrs, annál valószínűbb a találás.

A visszaküldési elmélet szerint az élő szervezetben nagy mennyiségi víz van, és az ionizációk többsége ezekben a vízmolekulákban jön létre. A semleges vízmolekulákból kímélőleg igen aktív gyökök keletkeznek, amelyek a biológiai fontos molekulák kímélő szervezetet. Ez így biológiai tulajdonságot megváltottatják.

Kis méretű besugárás után egy rövid idő elteltével a szervet regenerálódik, a sejtek normális mértékben szaporodnak, azaz a szervet pótolja a megsérült sejtek egy részét. A sugárirtalmat nemcsak az szabja meg, mennyi a besugárzott dízel, hanem az is, hogy exaktan milyen idő alatt sugárzott be. Rövid idő alatti nagyobb behatás ártalmassabb, mint hosszú idejűben ugyanakkor hasznább ideig tartó kisebb behatás. Természetesen a regenerálásra soha nem teljes, az ártalom egy kis része mindenkor megmarad és összegyűlik a szervetben.

A sugárirtalmak külön csoportját alkotják az ún. genetikai sugárirtalmak. A legfontosabb szerepe az öröklődő tulajdonságoknál a kromosomáknak van. Iónizáló sugárások hatására valótozások tükrébenek a kromosomákat alkotó géneket, vagy azok elhelyezkedésétben és esztájai az öröklődő tulajdonságok változnak. Ezeket a változásokat névenk mutációknak. Mutációk másokból is előfordulhatnak és hatásuk elvileg hasonló is lehet, de egy olyan bonyolult szervetben, mint az ember, a leghasznosabb mutációk valószínűleg már kialakultak. Ez az új mutációk inkább csak károsak. A mutációk rejtje a lappanghatárnak egy emberben, olyan módon, hogy az egyik csillámból öröklődött mutációk többségeinak az utódoknak és csak akkor jelentkeznek szervetben, ha egy egyed mindenki oldalról való részével egyformán mutációkat örökölt. Így lehet, hogy a most szemléltetett károkozások csak néhányoknak látásnak napvilágát.

Közvetlen azonnali károkozást akkor okoz a sugárás, ha erősége meghaladja a 25 radot. Ez általában jelentősen megváltottatja a fehérsejtek számát. 400 rad dörs körül a besugárzott személyek fele egy hónapon belül meghal, 600 radot pedig alig van aki túlél. Ha a sugárás nem éri az egész testet, hanem csak a végtagokat, hatása lényegesen gyengébb, rendszerint a bőrre korlátozódik. 400 radnál bajhullás, egész sebek jelentkeznek. Használ a β -sugárás hatása is, mivel a részesések kis áthatoló képességek miatt nem jutnak a szervetbe. Az α -sugárás csak akkor veszélyes, ha bejut a szervetbe, külön hatása nincs, mert a bőr átvételelten részén elnyelik.

A sugárásnak meghibegyedések közül igen gyakori az olyan eset, amikor az évek, esetleg évtizedek alatt kibővítött hatások összegének és súlyos betegségek okoznak. Az átlagos életkor sugárásnak kitett személyeknél általában még akkor is megrövidül, ha a halálhoz közelítőleg semmi köze nem volt a sugárirtalonnanak.

A sugárások elleni védekezés jelenleg csak arra korlátozódik, hogy a sugárásnak kitett dolgozók minél kevesebb dőrt kapjanak. Ez elérhető úgy, hogy csakként a veszélyes helyen való tartózkodás idejét, a sugárforrástól való távolságot növelik és véglől úgy, hogy a sugárforrás és a dolgozó közé elnyelő körbejegy helyeznek.

6.3. A radioaktivitás orvosi felhasználása

Az előző pontban beszélünk arról, hogy a radioaktivitás milyen veszélyes az emberi szervezetre. Azonban az orvostudományból jól ismert tény, hogy ami nagymértékben veszélyes az emberi szervezetre, kis mértékben és helyesen alkalmazva felhasználható gyógyítára.

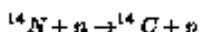
A sugárterápia, azaz az ionizáló sugárások segítségével való gyógyítás a klinikaiatban erősen használtott, a rák elleni kezelésekkel. Természetesen nem várhatjuk azt, hogy a radioaktivitás meggyógyítja a rákot, hiszen a rák a szervet sejtkepzést, sőt bályos rendszereinek a meghibegedése. Az ennek gyógyítása ma még komolyen, de azt remélhetjük, hogy bátoros esetekben megállítja azt. A sugárterápia lényege az, hogy olyan részlet juttatnak a beteg testrésszékre, amelyik elpusztítja a nemkívánatos tiliburjának sejtekét. Ez a fegyver természetesen káros, hiszen a besugárás során az egészséges sejtek is elpusztíthatják, éppen ezért fontos az egészséges testrések védelme. A rák elleni besugárzásnál nagy energiát γ -kvantumokat juttatnak a szervetbe, ezek ugyanis a mélyebb testrésekhez is eljutnak. A γ -kvantumok körülönbözőre alkalmaz radioaktív izotóp a rádióm, azonban ez tökéleges drága. Napjainkban a körhárok elektroforézis alkalmaznak.

A radioaktív izotópokat nem csak kölcsönös sugárásai miatt alkalmazzák a gyógyításhoz, hanem nyomjelző tulajdonságuk miatt is. Radikális nyomjelzők, a kölcsönösekben még lebb szé, itt csak annyi említenek meg, hogy radioaktív izotópokat keverve más anyag kölcsönök alkalmazásuk miatt nyomon követhetjük. Az egyik terület, ahol a radioaktív izotópok nyomjelző szerepe nagyon fontos, a jól szervetben való megfigyelés a tanulmányozás. A jól szervetben van a pajzsmirigy által termelt hormonnal és így a pajzsmirigy működésével. Ha kis mennyiségű radioaktív jádot fogyszunk tüplálék formájában, az hamarosan megjelenik a nyakban levő pajzsmirigybén, és egy γ -sugárás detektort elhelyezve a nyak előtt mérni tudjuk. Az aktivitás erősségeinek a változása a pajzsmirigyből működésére jellemző.

Ugyancsak fontos radioaktív vas részének megfigyelése a szervetben. A vas a vér vérké vértestjének a felépítéséhez szükséges, elég tiszta vasmennyiséggel a szervetben (egy felnőtt ember szervetében 4-5 g van) vérszegénységet okoz. Radioaktív izotópokat juttatva a szervetbe nyomon követhetjük evez után a tüplálék elfogyasztásától egészen a vérsejtekben való beépülésig. Megfigyelések szerint a vasatominokat a szontvelő abszorbálja, majd néhány nap miatt radioaktív vérké vérsejtek jelennek meg a vérben, körülbelül 10 napig. Innen megállapítható, hogy a vérké vérsejtek kb. 10 nap alatt pusztulnak el. A vas a vérsejtek elpusztulása után nem töröklik el a szervetből, hanem újra megjelennek a szontvelőben.

6.4. Kormeghatározás radioaktív izotópokkal

Az egyik legkomplexebb kormeghatározás módja a radioaktív szénatom mérésén alapul. Földiuket a világűrből állandóan nagyenergiájú részecskék milliárdjai érik: ez a kozmikus sugárás. A kozmikus sugárásnak nagyenergiájú részecskéi a Földet körülvevő levegőbőrök körül rétegeiben levő atommagokba ütközve szabaduló neutronokat húrnak ki. Ezek a neutronok csak kis valószínűséggel foghatnak be a légtér oxigénjébe, csaknem mindenek között egy nitrogén atommagban nyelik ki el, miközben a



magnetraktó megy végbe. A keletkező ^{14}C radioaktív, 5560 év felesége idővel β -romlás révén körül visszaakalul nitrogénné.

Az állandóan keletkező és bomlik ^{14}C izotópok közelében az ávmilliók során radioaktív egyensúly alakult ki, évenként ugyanannyi bomlik el, mint amennyi keletkezik. A kozmikus sugárás által kiváltott neutronok számának az évetben körülbelül 7.5 kg ^{14}C keletkezik a légkörben. A szén felesége idejéből tudjuk, hogy ha évente 7.5 kg bomlik el, akkor az egész Földön mintegy 60 tonna radioaktív szén van.

A radioaktív szén kémiallag ugyanolyan viselkedik, mint a stabil szén, azaz bejut minden élőlény, ember, állat, növény szervetébe. Ezekben a radioaktív és inaktív szén választva ugyanaz, mint a

Légrőben. Amíg a növények és állatok élnek, a radioaktív szén egyenstílben van, azaz ugyanannyi szén vesznek fel táplálék stb. után, mint amennyit elbonlik. Ha azonban az anyagot nem megváltjuk ezekben, a radioaktív szén utánpótlása megszűnik, a radioaktív és stabil szén aránya megváltozik. A megváltozott viszonyból meg lehet határozni a lelet korát: Természetesen a működés csak olyan esetekben alkalmashatő, amikor a tárgyak szénét tartalmaznak. Az ha a szénatomok kiszerelésére az álmány elpusztításával megszűnt, továbbá ha még mindig van elég radioaktív szén az anyagban, azaz kb. 40-50 000 évesnél fiatalabb a lelet. Rághazethen például, ahol 5-10 000 éves tárgyak korát kell megállapítani, a működés igen hosszú és 100 éven belül pontosít. Ezzel a működésrelatív határoztal meg pl. az ókori Babilónia naptárnak kezdőpontját. A tudások ugyanis nem tudták egyértelműen kiválasztani két körzetet, hogy melyikről napfogyasztás történt az, melyiknek alapján meg lehetett volna állapítani az akkor kiemelkedő leletet. De találtak egy 4000 éves hőszálat, amelynek gerendázása be volt vissza a hős építésének éve, Hanumurabi naptára szerint. Meghatározták a fa kivágásának idejét radioaktív szén tartalmára alapján és a kérdez előtt. Még hamisított fáraó korabeli faesszékét is felismertek enyhébb: a szén-14 tartalom a napjainkban kiszűlt tárgyakkal egyenlő meg.

Ugyancsak radioaktivitáson alapozik az a kormeghatározás működése, amelyet genofizika alkalmaznak környezetkémények keletkezésére idejének meghatározására. A természetben levő uránium izotóp ^{238}U és ^{235}U keverék. Mivel az ^{235}U gyorsabban bomlik, a két izotóp aránya attól függ, milyen régen került az urán arra a helyre. Természetesen a stabil végtermékek arányát is meg kell vizsgálni.

6.5. Izotópek ipari és mezőgazdasági alkalmazása

A radioaktív izotópek technikai alkalmazásának egyik lehetősége a nyomjelzés. Radioaktív izotóppal támogatással lehet pl. a trágyások, elektrobarán feszítőtartalmú trágyák felerősítését a növényekbe. Reaktorban besugárzott fresszor-31 β -bomlás fresszor-32-re alakul, aminek 14 nap a feleslegi ideje. A ^{32}P sugárzását Gelger-Müller csövekkel érzékelhetjük és a vegyületek utolsó nyomjelzés körvonalában. Kiderült például, hogy a felszívódás megkönnyítése után néha 20 percen belül eljut a fresszor a gyökérzetlől a levelekig. Ugyancsak radioaktív fresszor, nitrogén és kálium segítségével mutatták ki, hogy egyes tápanyagok a levelezetben vagy a rölk körülöttük is bejuthatnak a növényzetbe, így ezeket speciális levélpermestek keresztül a leggasztadagonabb a növényekbe vezírnak.

A földi legfontosabb körüljáró a fotocintézis, amelynek során a zöld növények a Nap energiájának felhasználásával a levegőből és a talajból szerezzetek egyszerűtlen anyagokat bonyolult szerves vegyületekkel alakítják át. Ez a folyamat az emberiség élelmiszerellátásának alapja. Radioaktív szénatomok segítségével elkerülhető a fotocintézis folyamatának nyomjelzés körvonal. Növényeket különösen meg radioaktív szénatomokat tartalmazó üvegekben nevelve megállapítható, milyen egyszerűbb vegyületeken keresztül épülnek fel a bonyolult szerves vegyületek. Így különösen különleges módszerekkel körüljárók hogyan befolyásolják a fotocintézis sebességét. Kimutatható, hogy attól függ a szénatomok sokkal lassabban épülnek be a növényi szervezetbe, mint napfényben.

A sugárzás pusztító hatását használják fel egy igen kártékony légyfajta körözésre. A hímeket ^{60}Co forrás segítségével sterilizálták, ezek hatására az 1) generációban kikelt légyek száma csökken, még véglő lassan időt.

Gamma sugarak hatására nem csírálik a burgonya, így több lehetséges eltemeli. Más élelmiszerök is tartáthatók sugárzás segítségével. Természetesen a használt részük ilyenkor nagyon kicsi.

Sugárzó izotópek nyomjelző szerepét használják fel olaj és vízvezeték csővek tisztításához. Ha a cső föld alatt van és pl. elhúzódik, radioaktív izotópek kimutatják, hol van a dugulás helye.

Gamma abszorpció működést használják körülájárásra amin minőségek gyors ellenőrzésére is. A körülájárásra amin szénhidrogének, szénmal szén és hidrogénatomokból épülnek fel. A C/H viszony a termék minőségeinek jellemzője. A γ sugarakat egy hidrogén szennyezettségi anyag erősen hanyatlal el mint egy pusztán szénatomokból álló anyag, így a γ sugarak elnyelésének mértéke az anyag hidrogéntartalmát adja meg.

γ -abszorpciót módosíthat a talaj minőségeire is következtetni tudnak, ugyanis a különböző minőségű agyag különböző mértékben nyel el a γ -sugárokat.

α , β és γ sugárás elnyelésén alapuló vastagságmérőket is készítettek, amelyek sugárzó anyagon való elnyelésére alapján az anyag vastagságát adják meg (vékony papír, acéllemez stb.). Természetesen különböző agyagokra más a használás.

A gyakorlati alkalmazásokból csak néhányat soroltunk fel, oldalakon keressetl folytathatnánk még, azonban a céhünk csak az volt, hogy megmutassuk: a magfizika nem elvonatkoztatott tudomány, hanem más tudományokban is a gyakorlati életben egyaránt léptek nyomon alkalmazásuk az eredményei. Külön meg lehetne említeni a magfizikai kísérletek céljából alkalmazott kísérleti és technikai felkészültség jelentőségeit. A kísérleti fizika igényel gyakran hihetetlent hatnak a műszaki tudományokra és az iparra. Példaként lehetne említeni, hogy a Kézponali Fizikai Kutató Intézetben (KKFI) merült fel a magfizikai részről először igény többcsatornás analizátorok, majd később kis számítógépek felhasználásra. Ennek következményeképpen az intézetben kialakult egy erős elektronikus gárdia, amely magas szinten tervezett, meg és állított elő analizátorokat. Az összesítőgépeket.

A minden naplónkban hozzászoktunk ahhoz, hogy azt hagyjuk, a magfizika legfontosabb eredménye a reaktor létrehozása volt. Anélkül, hogy ennek a fontosságát lebecsülnénk, fel kell hívni a figyelmet arra, hogy a tudományok és a technika majd minden területén alkalmazzák a magfizika eredményei: a régen, a biológia, a kohász, a mestergondola ... sokszor anélkül, hogy tudnak.

7. fejezet

Csillagfejlődés

7.1. Viriál tételek

A viriál tételek a Newton egyenletekből levezethetők:

$$m \frac{d^2 r}{dt^2} = F, \quad \frac{1}{2} \frac{d^2}{dt^2} (mr^2) = mr \frac{d^2 r}{dt^2} + m \left(\frac{dr}{dt} \right)^2, \\ \frac{1}{2} \frac{d^2}{dt^2} (mr^2) = m \left(\frac{dr}{dt} \right)^2 + rF.$$

Minden tömegpontra használva, és felhasználva, hogy $I = \sum m_i r_i^2$ a tehetetlenségi nyomaték és $K = \frac{1}{2} \sum m_i r_i^2$, a kinetikus energia:

$$\frac{1}{2} \ddot{I} = 2K + \sum_i r_i F_i.$$

Ha az erő gravitációs erő, akkor a viriál:

$$\text{viriál} = \sum_i r_i F_i = \sum_{ij} -\frac{G m_i m_j}{r_{ij}} = \Omega$$

azaz

$$\frac{1}{2} \ddot{I} = 2K + \Omega.$$

Ha a rendszer egyenstílyban van, I nem változik, $2K + \Omega = 0$. Ez a viriál tétele.

Alkalmazás ideális gázokra

Ideális gáz esetén egy részecske átlagos kinetikus energiája $\frac{3}{2} kT$. Egy adott, d_n tömegben dN molekulára van, így ennek kinetikus energiaja:

$$dK = \frac{3}{2} k T dN = \frac{3}{2} R T dm = \frac{3}{2} (\gamma - 1) c_v T dm, \quad (\gamma = \frac{c_p}{c_v}), \quad k = 8.3 \cdot 10^{-24} \frac{\text{J K}}{\text{fok}}$$

A gáz belső energiaja $E = c_v T dm$, így a kinetikus energia és belső energia kapcsolata: $K = \frac{3}{2}(\gamma - 1)E$, ahol (egyatomos) ideális gázra $\gamma = \frac{5}{3}$, $K = E$. A teljes energia $U = E + \Omega$.

- Egyenstíly esetén a viriál tétele alapján $2K = -\Omega$, tehát:

$$\frac{3\gamma - 1}{3(\gamma - 1)} \Omega, \quad E = -\frac{\Omega}{3(\gamma - 1)}$$

a) Ideális gázra

$$U = \frac{1}{2} \Omega, \quad E = -\frac{1}{2} \Omega,$$

b) Degenerált gázra

$$\gamma = \frac{4}{3}, \quad U = 0, \quad E = -\Omega.$$

- Ha a rendszer kontrahálódik, $2K + \Omega < 0$, így $2K < |\Omega|$.

Egyenletes anyagelosztásra $\Omega = -\frac{3GM^2}{5R}$, ekkor Meissi gáza:

$$K = E = \frac{3}{2}k\bar{T}N = \frac{3}{2}k\bar{T}\frac{M}{\mu n}.$$

A kontrakció feltétele ezek szerint:

$$\frac{3k\bar{T}}{\mu n} \frac{M}{R} < \frac{3}{5} \frac{GM^2}{R}, \quad k\bar{T} < \frac{1}{5} \frac{GM}{r} \mu n.$$

Bevezetve a sugár helyett a stírlátást ($\rho = \frac{3M}{4\pi r^3}$), a kontrakció feltétele:

$$M > 1.2 \cdot 10^{-10} \frac{T^{\frac{5}{3}}}{\mu^{\frac{2}{3}} \rho^{\frac{1}{3}}}.$$

Konklúziók:

- Intergalaktikus anyagra $\mu \sim 1$, a galaktikák kialakulása idején $T = 10^4 K$ volt, $\rho = 10^{26} \frac{g}{cm^3}$, így $M > 1.2 \cdot 10^{10}$, azaz en az egyszerű meggyondolás jól adja a galaxisok tömegét.
- Egyenletben $T = 1.1 \cdot 10^6 \mu M \rho^{\frac{1}{3}} (K^{\frac{5}{3}})$ azaz néhány tömeggel nő a hőmérséklet.

Degenerált rendszerek

Degenerált rendszere a részecskék kinetikus energiája a stírláttal lezárt arányos:

$$\frac{E}{A} = \frac{\hbar^2}{2m} (3\pi^2 \rho)^{\frac{1}{3}}, \quad \frac{E}{A} = \frac{3}{5} E_F$$

Ultrarelativisztikus esetben $E = pc$ miatt $pc \sim \rho^{\frac{1}{3}}$, $\frac{E}{A} = \frac{3}{4} E_F$.

Egy rendszer akkor válik degenerálttá, ha a hőmérsékleti energiája sokkal kisebb a Fermi energiánál, azaz ha $kT \ll E_F$. Degenerált rendszerek fontos tulajdonsága, hogy alaplapothan levén nem tudnak sugárzni.

Teljesen ionizált hidrogén gázban a protonok stírlátása, így fermi impulzusuk is megegyezik az elektronokéval, a kinetikus energiájuk enyésszer kisebb. Az elektromág. hamarabb degenerálódik, mint a protomág.

Relativisztikus elektromág. esetben az egyenletben feltétele $\frac{3}{4} N_e N_i (3\pi^2 \rho_e)^{\frac{1}{3}} \sim \frac{3GM^2}{5R}$, ahol $N_e = \frac{M}{\mu N_A}$, $\rho_e = \frac{M}{V}$. Ez maximálisan kb. $1.2 - 1.4 M$ tömeget jelent. Ezt hívják Chandrasekhar határnak.

7.2. A Nap energiatermelése

Gravitáció során az eddig felzabudult energia a Napban: $W = -\frac{3}{5} \frac{GM_\odot^2}{R_\odot} + \frac{3}{5} \frac{GM_\odot^2}{R_0}$. A sugárzás ideje $t = \frac{R_0}{2L_0}$, ahol L_0 az átlagosan 1 szen szintű sugárzott energia. A Napra az adatok: $M_\odot = 1.99 \cdot 10^{30} g$, $R_\odot = 6.96 \cdot 10^{10} cm$, $L_\odot = 3.86 \cdot 10^{26} \frac{erg}{s}$ és ha $L_0 = \frac{L_\odot}{10}$ -et vesszük, $t = 2 \cdot 10^6 \text{ év}$. A Föld kora $5 \cdot 10^9$ év, tehát ennél jóval hosszabb.

A magreakciókban felzabudult energiával kifejezve $\frac{\Delta M^2}{L_0} = t$, $t = 5 \cdot 10^9 \text{ s}$ és $L_0 = L_{max}$ ártékkel $\Delta M = 5 \cdot 10^{-4} M_\odot$ adódik, azaz a Nap tömegének csak 0.05%-a sugárzott ki. Ha a csillag tömegének 10%-a égett a hidrogént, annak mintegy félre fogott el működ. Ha a Nap teljes tömege vas körülbelül elemekké alakul, a felzabudult energia $\Omega = QM_\odot = 1.6 \cdot 10^{30} \text{ erg}$, $Q = 8 \text{ MeV/nukleon}$, ami mai fényszínig $t = 1.2 \cdot 10^{11} \text{ évig}$ világítana. Nukleáris energiatermelés nélkül tehát Napunk nem tudna ma világítani, de könnyű elemek felszínjáról elegendő energia áll rendelkezésre.

7.3. A csillagokban lezajló magreakciók

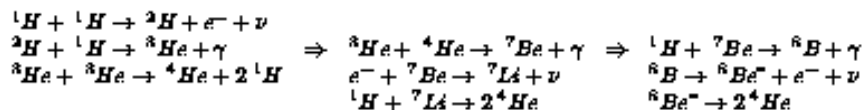
Kérdés, milyen magreakciók mehetnek végre a csillagokban? $T = 10^7 K$ hőmérsékleten

- Proton lönc

Polyamat	Relszabaduló energia (MeV)	Idő
${}^1H + {}^1H \rightarrow {}^2H + e^- + \nu$	1.44	$14 \cdot 10^9$ év
${}^2H + {}^1H \rightarrow {}^3He + \gamma$	5.49	6 sec
${}^3He + {}^3He \rightarrow {}^4He + 2 {}^1H$	12.85	10^8 év

$$E_{pp} = 26.2 \text{ MeV}, \quad E_\nu = 0.26 \text{ MeV}/\nu.$$

- Borflúm-bor lönc



- Katalitikus magreakciók

Polyamat	Relszabaduló energia (MeV)	Idő
${}^{12}C + {}^1H \rightarrow {}^{13}N + \gamma$	1.95	$1.3 \cdot 10^7$ év
${}^{13}N \rightarrow {}^{13}C + e^- + \nu$	2.22	7 perc
${}^{12}C + {}^1H \rightarrow {}^{14}N + \gamma$	7.59	$2.7 \cdot 10^6$ év
${}^{14}N + {}^1H \rightarrow {}^{15}O + \gamma$	7.35	$3.2 \cdot 10^6$ év
${}^{15}O \rightarrow {}^{15}N + e^- + \nu$	2.71	82 sec
${}^{15}N + {}^1H \rightarrow {}^{12}C + {}^4He$	4.96	$1.1 \cdot 10^6$ év

$$E_C = 25.2 \text{ MeV}, \quad E\nu = 0.72 \text{ MeV}/\nu.$$

- Nehézebb elemek kialakítása

$$2 {}^4He \rightarrow {}^8Be \rightarrow 2 {}^4He + \gamma \quad \tau = 10^{-17} \text{ sec.}$$

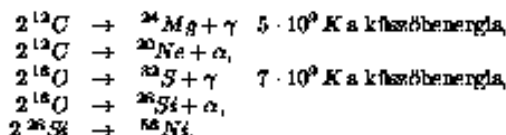
A 8Be gyorsan elborollik, de ha azalatt még létesül a mag, befog egy α -t, $T = 10^8 K$ -nek megfelelő energiával, ${}^{12}C$ alakulhat ki.

2 termikus $\alpha \rightarrow {}^8Be$ 84 keV-es rezonancia

3 termikus $\alpha \rightarrow {}^{12}C$ 7.57 MeV-es rezonancia Hoyle ext. magjánál!

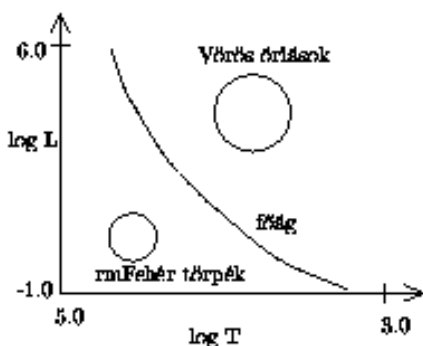
Magasabb hőmérsékleteken α és β befogás, esetleg β bomlás: az elemek lassan kialakulnak a vadv.

- További fontos magreakciók



7.4. A csillagfejlődés menete

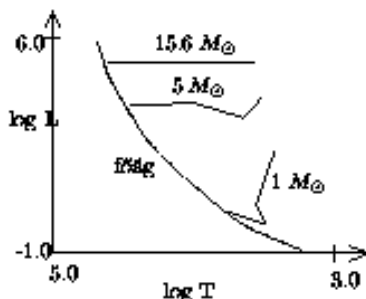
Az ismert csillagokat hőmérsékletük és használható energiajuk függvényében egy sikor ábrázolhatjuk: ex az ún. Hertzsprung-Russel diagram.



A legtöbb csillag egy vastag meghatározott vonalon található: ezeket a csillagokat nevezik főággal menti csillagoknak. Ezenkívül még két tartományban találhatók nagyobb számú csillagok: a vörös óriás ill. a fehér törpe tartományban. A diagram többi részén viszonylag kevés csillag helyezkedik el. A H-R diagram megállítható a csillagfejlődés lefolyásának körzetében. A következőkben röviden ennek a főbb vonásait tekintjük át.

A csillagok fejlődésének kezdeti szakaszában még nem elég magas ahhoz a hőmérséklet, hogy magreakciók végbemelenjenek. Ilyenkor a kicsit meleg csillag sugárzásai energia vesztéstől csökken a kontraktív során felszabadult gravitációs energia pótja. A virágzó térel értelmében a kontraktív során a felszabadult energia fele a csillag hőmérsékletét növeli. A megnyitott hőmérséklettel gáz nyomása lépés csökken a növekvő gravitációs nyomást ellenőrizni. Ahogy nő a hőmérséklet, nő a kiszáradott energia, így az ast felerős kontrakció is gyorsul. Ha a hőmérsékletet eléri a 10^7 K -ot, a csillagok közigében beindulnak a magreakciók.

A kezdeti kontrakció stádiumban a csillag összeolvadik, így az effektív hőmérséklete növekszik. A kiszáradott energia mennyisége függ attól, hogy milyen mechanizmus juttatja a felszabadult energiát a felülfelé: sugárzás vagy konvektív vezetés, azaz a csillaganyag egyes részéinek mozgása. A konvektív vezetés hatásanabb, illetve a csillag több energiát sugároz ki, mint sugárzás vezetésnél. Kezdeti stádiumban a csillagok konvektívak, azután sugárzóvá válnak, a csillag tömegével függően. A csillag a jobb felé vagy kisebb sarokból a bal oldal vagy kisebb rész felé vándorol, tömegével függően bejut a főágra. A következőkben ezek a folyamatok láthatók.



A ${}^1\text{H} \rightarrow {}^4\text{He}$ átgép lassan megvéghez a csillagokban. Mindezzel a kiszáradott energia a magreakciók során felszabadult energiával pótlik, gravitációs kontrakcióra nincs szükség, a csillag hőmérséklete és a kiszáradott energiamennyisége állanthat, a csillag a HR diagramon a helyén marad. A hidrogén Átgép csillagok alkotják a főárat. A főáron azért van olyan sok csillag, mert ez a csillagfejlődés leghosszabb szakasza. Nap nagyságú csillagok 10^{10} évig Átgép a kisebpen levő hidrogén készletükkel, 10-szer nagyobb csillagknál a kontrakció során a hőmérséklet magasabb lett, ezért

ezekben egy-néhány nagyságrenddel gyorsabban zajlik le a hidrogénágot, de minden csillagnál ez a folyamat 1-3 nagyságrenddel többet tart, mint a fejlett bármelyik másik szakaosa.

Ha a csillag körülötte a hidrogénkészlet kimerült, a csillag energiasztesést megint csak gravitációs kontraktívval tudja próbálni. A kontraktív során megint emelkedik a centrális hőmérséklet. Ha a csillag hőmérséklete eléri a 10^8 K-t, a hélium égető reakciók is behindulnak. Ismétlődő gravitációs kontraktív, illetve magreakciók révén a csillag eljuthat egy olyan stádiumba, amikor a körülötte levő elemek mind vannak körülötte elemek. Újabb magreakciók ekkor már nem jelent energianyereséget, ugyanakkor a csillag hőmérséklete $10^9 - 10^{10}$ K körülbelül vállik. A csillag elérkezett egy olyan fejlődési pontba, amikor a békés fejlődést jelentő egyensúlyi elvek nem tudnak érvényesülni; valami katastrofia kell, hogy bekövetkezzen.

7.5. A csillagfejlődés véggállapotai

7.5.1. Fehér törpék kialakulása

Nem minden csillag jut el abba a stádiumba, amikor a csillagtörzsben levő elemek mind vannak körülötte elemek: kisebb csillagokat ebben megakadályozhat a csillaganyagban levő degenerált elektronsgáz. Az elektronsgáz szerepével eddig nem tiltsága semmi foglalkozásunk a csillagfejlődés során. Nyilvánvaló azonban, hogy az elektronsgáz szerepe a gázanyomás kialakulásában nagy, hiszen a nyomás $1/m$ -mel arányos. Ahogy a protonok egyre nehezebb elemekévé tömörülnek, a barionokból álló részük csökken, míg az elektronok részére változatlan marad, azaz az elektronok szerepe a nyomás kialakulásában egyre jelentősebb.

Egy rendszer akkor válik teljesen degenerálttá, ha egy bármelyik körülöttei alatt minden állapot be van töltve a rendszerben. Minél kisebb egy részesete, a kvantummechanikai határavatlanossági reláció általában annál nagyobb az impulzus bármelytől, azaz annál nagyobb a feszültség, amit elhoglal. Egy ideális gáz egy degenerált gáz nyomása akkor lesz egyenlő, ha

$$\rho = \frac{\hbar}{m} \beta T = c_1 \frac{\rho^{\frac{5}{3}}}{m^{\frac{2}{3}}},$$

azaz

$$\rho \sim m^{\frac{1}{3}}.$$

Mínél kisebb a részesete tömege, annál kisebb az a struktúrák, ahol a gáz degenerálttá válik. Egy degenerált gáz nyomása és így belső energiaja nem a hőmérséklettől függ, hanem a struktúrától. Vagyis ha az elektronsgáz degenerálódott, a gravitációs kontraktív nem a hőmérsékleteit növeli, hanem a nyomást. Ez azt jelenti, hogy ilyenkor újabb magreakciók behirdítésére nem lesz a hőmérséklet elég nagy.

Az előmondottak alapján világos a kis csillagok fejlődésének a véggállapota. Ha a csillag kisebb, a gravitációs kontraktív során hamar degenerálttá válik az elektronsgáz, további magreakciók ilyenkor nem következnek be, a rendszer lassan szugorodik. A szugorodás csak egy kritikus ártalig tarthat, a gázanyomás a további kontraktív megakadályozza. Minél további energiaszabadulás folyamatok nem mennek végre a csillag lassan lehűl. A degenerált gáz sugárzása jóval kevesebb intensív, mint az ideális gázé, a sugárzás során elektronátmennetek nem következhetnek be, mert az elektromágnesik minden be vannak töltve. Ezek a kisebb, fehér, lassan plákláló légiestek a fehér törpék.

Ahogy a csillagban körülöttei kifogy a hidrogénanyag, a kifelé nézők a körülöttei kontrahálóknak, miközben megnő a csillag hőmérséklete és nagy lesz a sugárnyomás. A nagy sugárnyomás felülfelé a csillagot, nagy méretű lesz, miközben a kifelé nézők hőmérséklete leszökken. Az ilyen csillagok a sok energiát kiszolgáló, de kis felületi vagy effektív hőmérsékletű részük vagy fehér törpések, amelyek a HR diagram jobb felé sarkában helyezkednek el. Ha további magreakciók nem indulnak be, a csillag összeszegődik, azaz a felületi hőmérséklete a nagy struktúra miatt megnő, minnenek hideg felületi részük, ugyanakkor a kiszolgált energia leszökken, a csillag fehér törpévé válik. A fehér törpék a HR diagram bal alsó sarkában helyezkednek el.

Körülbelül az $M < 10 M_{\odot}$ bármely csillagok valnak fehér törpévé, azaz jelenlegi tudásunk szerint.

a Nap is egyorra fehér törpe lesz majd. Körülbelül 5 milliárd évig tart még a Napban a centrifális hélium ágás, eszalatt a Föld átlaghőmérséklete eg feljebb 20°C -ot növekszik. Ezután gravitációs kontraktív következik be majd, amelynek során a Föld átlaghőmérséklete borslásnak szerint 800°C -ra emelkedik, majd kb. 10-100 millió évig tart a különböző rétegek hidrogénjének ill. a centrifális héliumnak az ágása. Valószínűleg további magreakciók nem indulnak be a Naphoz, a Nap (és a Föld legkorábbi) lassan kihűl, egyikével válik a jelentéktelen és nagy számú fehér törpének.

A körülbelül tízszázmilliárd Naptörmeignál nagyobb csillagok közepe mai elnöfletűnk szerint teljesen vagy részlegesen vissza alakulhat. Itt további energianyereség most már magreakciók révén nem lehetséges, a hatalmas, 10^9 fok hőmérsékletnek megfelelő kisugárzott energiait csak a gravitációs kontraktív fedezheti. A legkifelébb rétegek ilyenkor szinte szabadon esnek a csillag belsője felé, minden egyensúlyt felborul. A különböző rétegek még könnyűk elemekből állnak, ezek a formális centrumba beérkezve magátalakulásukban vesznek részt. A korábban milliárd évekig tartó folyamatok itt pillanatok alatt bekövetkeznak, és hihetetlen nagy energianyereséget szabadtul fel. A rendkívül nagyenergiájú részecskék és fotonok a legkifelébb rétegekben magreakciókban vesznek részt; minden lehetséges izotóp kialakul. Ez az a műhely, ahol a nehéz elemek keletkeznek.

Most már két energiafogyasztó mechanizmus is van a csillagban: a nehéz elemek kialakulása és a sugárzás. További gravitációs kontraktív következik be. A közeppontban hatalmas mennyiségi nagyenergiájú neutrino, antimatteriű sugárzás keletkezik, elektroban párolódva révén. Ezek a különböző rétegeken elnyelődnek, energiájukat átadják az anyagnak. A nagy mennyiségi kivitt energia hatására a csillag felrobban. Ezt a folyamatot nevezik szupernova robbanásnak.

Szupernova-robbanás során a csillagnak akár 80-90 %-a is kirepülhet a világűrbe. A visszamátról csillag maganyag többségi részére, ami elektroban neutrinosokból áll. Az elektronok kinetikus energiája ugyanis a Pauli elv feltételében olyan nagy, hogy energetikailag kedvezőbb egy elektronnak és protonnak neutron állapotba menni. A neutroneccellenben neutrinosok protonok, protonok neutrónra alakulnak. Igy a felépő neutrinosok miatt a csillagok hamar elveszítik hőenergiájuk nagy részét. Az 10^6 K alá hűlnek le, és nem tudjuk öket direkt nukleon megfigyelni. Mivel az utóbbi években megfigyelt pulsátor csillagok (pulsárok) valójában neutron csillagok, kiszámított minden megfigyelhetők.

Ha a neutroneccellen törme egy kritikus méret alatt van, a csillaganyag nyomása és a gravitációs nyomás egyenstílt tart, a csillag stabilis. A neutroneccellen a csillagfejlődés egy másik végállapota. A kritikus méret meghatározása nehéz feladat, függ a nagy szírkötő működök kölcsönös hatás erőktől, a neutrino időlépések gyakoriságától, stb. A kritikus méret 1-3 Naptörmeig körülött változik a számításoktól függően. Ez azt jelenti, hogy akár 10-25 Naptörmeig nagyságú csillagok végállapota még mindig neutroneccellen. Egy dobozban vörös van egy olyan kritikus méret, aminek nagyobb csillagnak nincs stabills végállapota, a csillag menetrendjéből egyre jobban kontrahálódik, míg gravitációs sugárzás belől kerül. A csillagfejlődés ezen harmadik végállapotaiban, a fekete lyukakról fotonok révén nem nyerhetünk információt, ugyanis az elektromágneses sugárzás ittja olyan görbült, hogy ezek nem tudnak a fekete lyukból kijönni. Ezeket a csillagokat legfeljebb csak nagy gravitációs terük segítségével figyelhetjük meg.

7.5.2. Szupernova robbanás

A szupernova robbanás az Univerzum legláthatóvá vált jelensége. A kibocsátott energia a robbanás során $\sim 10^{52}$ erg, aminek a sugárzásnak (mindeknél hosszabb tartományban) csak kb. 1%-t viszik el. Ennél tízszor nagyobb a számított anyag kinetikus energiája, és ezeket nagyobb a neutrinosok által elvitt energia. A robbanás során felhasznált energia fénysesebéhez tehet egy csillagot, mint az egész galaxis. Néhány hónap alatt a felrobbant csillag több fényt sugároz ki, mint a Nap 80 milliárd év alatt. Évente mintegy 10 szupernova robbanást figyelnek meg a környező galaxisokban. A Tejúttárenszben valószínűleg 50 évente van egy robbanás, ennek mi csak kissé részét tudjuk megfigyelni. Nagyon fontos az 1954-ben kitalált csillagok által megfigyelt Rák-körű robbanás. Mintegy 10000 évelőtt robbant a Vela, ami egy második Nap fényseségű objektum megjelenését jelentette.

A szupernova robbanásokat két nagy csoportra osztják, I. és II. típusú robbanás csoportjaihoz.

Ezeknek több alakosportja van. Az eredeti megkülönböztetés olyan adódott, hogy az I. típusú csipernóvákban nem volt található hidrogén vonal, míg a II. típusban igen. Ma már tudjuk, hogy a fejlődésük egészben más.

Ia típusú csipernóva

Eredetileg binér rendszerben létező fehér törpe. A csillag magához vonz a partnertől anyagot, és ekkorban tömege a kritikus tömeg fölött nő (a kritikus érték $1.4 M_{\odot}$, az a tömeg amivel egy degenerált elektrongyűrűt ellenállóra tartan). Amikor ez bekövetkezik, gravitáció-kontrakció megy végbe, a csillag anyaga rendkívül mértékben felmelegszik, felmelegesítés során vas körülbelül elemek alakulnak ki, utána lassan robban a rendszer (detonáció, nem exploszió). Robbanás után csillag egész anyaga szétomegy, nem marad viszsa neutroncsillag. Fehér törpében nincs hidrogén, érhető hogy H szintén nincs sincs. A csillag felülete kiold, nagyon finyest a robbanás, egy nagyságrenddel finyebb, mint a II. típus. Az I. típusú csipernóva robbanások 20%-a ilyen, 20% sok más alakosportba csatlak, ekkor is most nem beszélünk. Az Ia típusú csipernóva robbanások távolság mértéke alkalmazhatók.

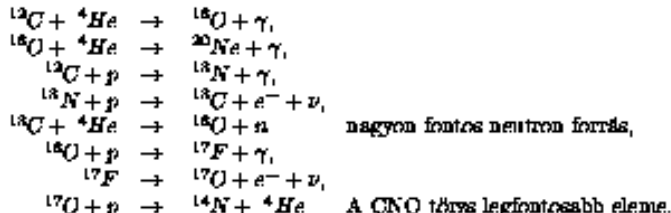
II. típusú csipernóva

Sokkal drámaiabbr, Ám fizikailag is érdekesebb. Három részre tagolható folyamat: **preszupernova**, **halálkora**, **halálpáros**. Az robbanás.

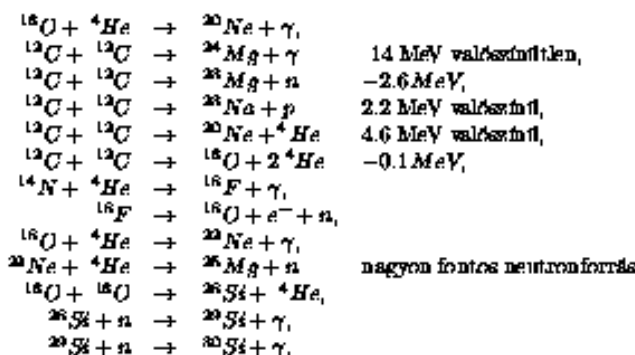
a) Preszupernova fejlődés, elemek kialakulása

Ha a csillag elég nagy volt ahhoz, hogy a törmelége úgy alakulhasson át, vas körülbelül elemekké, hogy kötőben az elektrongyűrű nem degenerálódik, a csillag savartalanul fejlődhet, újabb héjat. Ágytve, vas körülbelül atommagokká. H Ágytve, szemben fontos különbség, hogy most a neutronok és protonok száma eltérő megegyezik. Ez nagyon meggyezett a magreakciókat.

Legfontosabb magreakciók amik lejátszódnak:

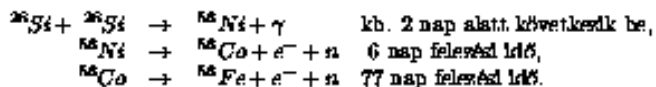


További Ágytak a felzabadjuk energiával:



de ugyanakkor Sí könnyen elborulik könnyebb elemekre He, n, p kibocsátással. Ezeket a maradék Sí-k befogják, Ám kialakul az ${}^{56}\text{Ni}$.

Robbanás Sí Ágytak, ami az összesreakciókat héj mögött körülvetlenül szomszédos rétegeken megy végbe, kialakulhat körülvetlenül is:



Nehéz elemek kialakulása

a-folyamat

Neutronok találhatók csillagban, ezek probléma nélkül befogynak magokba. A befogás után bármi körülhetetlensége lebeghet, ennek révén a csillagfejlődés utolsó stádiumában, amikor már a vas körül magokban fogynak be a neutron, kialakul az összes nehéz elem. Ezt a folyamatot nevezik a folyamatnak (laest, slow n befogás)

r-folyamat

A robbanás folyamatokban nagy neutron stírliséget kapunk, hiszen itt neutronos magok születnek. Ekkor neutron gondozott stabilitáspontjai alakulnak ki, héjásvérzéstetőt is figyelembe véve, hiszen a megleküsz neutronos röntgenmagok kialakulásának valószínűsége nagy. Meteoritekből lehet követhetően valószínűsítésekre, nagyon jó egyezések, pl. urán körülbelül elemekre.

Presszopermobilban a helyzet nem lassítás, a rendszer a nagyobb rend felé halad. H csillagban minden rész teljeslegesen mosoghat, egy nukleonra eső entrópia 15. Vastányban 56 nukleon együttes mosog, entrópia 1. Különbséget neutrinók és fotonok válták el.

b) Kollapszus

Amikor a csillag tömege vas körülbelül áll, további fizikai energia nyeresége nem lehet, gravitáció kontraktív törzsnél. $18-20 M_{\odot}$ tömegű közveti csillagnál a vastörzs $14 M_{\odot}$ körül tömegű, törsz nyomás nem tud egyenestlét tartani gravitációs nyomással (Chandrasekhar limit, kb. $0.7 M_{\odot}$), 0.1 sec alatt kollapszus. Gravitáció miatt a törsz felmelegszik, de ez nem csökkeneti kollapszust, azt ellenkezőleg. Ok: A törsz nyomását először az elektronok száma és energiája szabja meg. Kollapszuskor a vasmagok kis része feltörlik, amiből energia kell, esztétikai részletek átlagenergiája. Mindezt $p + e^-$ neutrondalakul, neutrinók lépnek ki, ezek elviszik energiat, és csökken a relativistikus elektronszám. Mindezen még elősegíti kollapszust.

Az elektron befogásba folyhatatlanul, ha a neutrinók teljesen szintén kinembenek a törszből. Ha a törsz stírlisége $4 \cdot 10^{11} \frac{\text{cm}}{\text{sec}}$ lesz, a neutrinók bennragadnak az anyagban, szívódnak a magokban. Amikor a rendszer stírlisége eléri a $2 \cdot 10^{12} \frac{\text{cm}}{\text{sec}}$ -t, az elektronokon is szívódnak. Ezután elektronok száma sem csökken, egyenestlét áll be. Az elektronok nukleonokhoz való aránya egyenestlétban kb. 0.39.

A kollapszus elűzése véget ér.

Az összehűtődés még tart tovább, de elektron száma már nem csökken. Kollapszus mielőlküld része akkor ér véget, amikor stírlisége eléri a maganyag néhányosorosát. Magok ilyenkor szétolvadnak, maganyag keletkezik. Anyag nem tud tovább összehűdni, ellenállás keletkezik, ez végül lükészülést jelent. A lükészülést meghatározóhoz fontos a maganyag állapotegyenlete, azaz a $P(\rho)$ függvény meghatározása. Az állapotegyenlet magikusai ismeretekből alapállapotban:

$$\frac{E}{A} = \alpha \rho^{\frac{3}{5}} - \beta \rho + \gamma \rho^{\sigma-1}.$$

Ebből adott hőmérsékleten meghatározható $P(\rho, T)$

További stírliségnövekedéssel szemben ez akkor tiszta, ha

$$P \sim \rho^{\frac{3}{5}}, \quad \frac{dP}{d\rho} < 0, \quad \frac{2}{9} \alpha \rho^{\frac{3}{5}} > \sigma(\sigma+1) \gamma \rho^{\sigma-1}.$$

c) Robbanás

Amikor az anyagstílus nagyanyagánál nagyobb, és nem nyomható tovább haszn, a nyomás megnő, és a beléle eső sebessége leül. Nyomáshullámok terjednek kifelé, egészen a törvé szűlőig. Felfelé közelében lelassulnak, mert szenbe találkoznak bőségi anyaggal, majd megúlnak, és az újabb hullámok elérik az elükket, nyomást okozva. Nyomás csökkenő anyag becsapja. Hullámfront megtölt, anyag stílusára nagyobb lesz, mint hullám által el nem ért térfürben, attól keletkezett. Hullámfront megtölt, hullámok nyomása még nagyobb, egyre jobban utárrák korábbi nyomáshullámokat, hullámfront megedekké válik, sebességeben szakadás következik be: lökéshullám keletkezik.

Lökéshullám a vastagsági körzetben, kb. $0.7 M_{\odot}$ -nál keletkezik. Nyomáshullám nem okoz állapot változást a körzegben, lökéshullám igen. Nagy változás stílusában több, mint ki magával anyagot. Sebességet nem a körzeg határozza meg, mint hanghullámnál, hanem hullám energiája. Lökéshullám $30 - 50 000 \frac{\text{km}}{\text{s}}$ sebességgel halad kifelé. Prompt lökéshullám nem jut ki csillag felfelére, mivel a törvé felületeire érve elvezeti energiáját, lelassul. Ok: a magok röntgenlámpája, energiát visz el, hőmérséklet. Az nyomás csökken. Ekkor $p + n \rightarrow e^- + \nu$ folyamat is fellép, kisebb stílusában neutrinoink már kimehetnek, ez is elviszi energiát. A nyomáshullám $300-500 \text{ km/s}$ -ig költ. csillaganyagba. Mai nézet szerint lökéshullámot a neutrinoik hirtékjük irányába.

Visszamaradt neutrinoszíllag hibhetetlen nagy energiáját, energiáját neutrinoik viszik el. Ezek nagyrészt kölcsönök rendszereből, de kb 100 km-re a centrumtól még minden esetben csökken a stílusában anyaggal, nagy energiát adva át az atommagoknak. Nagy entrópiát adnak át a rendszereknek, kijebb entrópia költ, nagy entrópia graffens konvekcióval okoz, meleg anyag kiárulik. Ez a kiáruló anyag a lökéshullámoknak nagy energiát ad át.

$500-3000 \text{ km/s}$ kölcsönök femelegítő anyagot, robbanás magreakciók keletkeznek, itt jön létre az ^{56}Ni . 3000 km/s után már szabadon költ a lökés a felfelére, és magával vívja a nagy energiát, szétrobbantja csillagot. Supernova robbanás láthatóval válik.

d) Az 1987-es szupernova robbanás

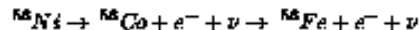
A Nagy Magellan Kékben, 160 000 fénymélyre, egy $18 M_{\odot}$ -os lökéshullám robbant fel.

Történet:

- Első információt a ν -k hozzák, ν burst, 12 ill. 8-10 sec-on belül (félgyetlenségi energiához $\sim 20 \text{ eV}$ tömeg).
- Két órával később nem látható, három órával később igen.
- Először intenzív UV, miután megfigyelik, halványodik.
- Legalább félhet napjának kölcsönökben 2 hónapig, aztán halványodik.
- 5 hónap után megjelenik röntgen és γ sugárzás.
- halál sugárzás kölcsönökben körülött felmelegített burrokhoz.
- 2 év után pulsáció jel, 2000/s, de elhalik.

Az elhalászt igazolja:

- ν kölcsönök neutrón csillag kialakítását bizonyítja. Ennek tömege $1.4 M_{\odot}$, 10^{52} erg energiát visznek el. Ennek a töredéke kinetikus, szabaddá fénnyenergiaként szabadul fel.
- UV sugarak bizonyítják a nagyenergiájú lökéshullámot.
- Fényeség gyengülése 77 nap teljesül héjá, a



folyamatnak megfelelően.

- Átláthatóbban 5500 foknál, rekonkombináció, nincs e^- annál ν töltéssel.
- Mikorral a kifelé néző elválasztásnak megjelenik röntgen és γ sugárzása, és a többi elem is. Az elemgyakoriság a várt.

Érthetetlen:

- Milyen kék része a csillag? (Kisebb csillag kevésbé fényes)
- Hol a pulsár? A kialakult neutron csillaggal mi lett?

7.6. Neutroncsillag

A supernova robbanás után viszszamaradt csillag neutroncsillag vagy fekete lyuk.
A neutroncsillag maximális tömege relativisztikus degenerált rendszer egyenleteiből:

$$m(r) = \int_0^r d^3r \rho(r)$$

és az Oppenheimer-Volkoff egyenlet (a hidrostatikai egyensúlyt relativisztikus általánosítása)

$$\frac{dp(r)}{dr} = -G \frac{\left(\rho(r) + \frac{p(r)}{c^2}\right) \left(m(r) + \frac{4\pi r^3 p(r)}{3}\right)}{r^2 \left(1 - \frac{2Gm(r)}{rc^2}\right)},$$

(nem relativisztikus esetben $\frac{dp(r)}{dr} = -G \frac{m(r)p(r)}{r^2}$).

A csillag hőmérséklete alacsony, ν -k elviszik az energiát.

$$n \rightarrow p + e^- + \bar{\nu}, \quad p \rightarrow n + e^- \nu.$$

Az állapotegyenletet kell meghatározni.

7.6.1. A neutroncsillag megfigyelési lehetőségei

a) Pulsárok

10^{12} gáus mágneses tér, rotáció és mágneses tengely nem egyezik meg. A mágneses tér irányában kihúzódik az anyag: színknotoron sugárzás.

Megfigyelések:

1. Perihélius illetve pulzánsidő \rightarrow M és R ebből meghatározható.
2. Lassulás idő (megfigyeltük)

$$E_{rot} = \frac{1}{2} \Theta \Omega^2, \quad E_r = \Omega \Theta \Omega = \frac{\Omega^2 \Theta}{T}.$$

$T = \frac{\Omega}{\dot{\Omega}}$ a lassulás, Θ a tehetetlenségi nyomaték, Ω a szögsebesség.

Rökl-körön: $\Theta \approx (4.9 \pm 3.9) 10^{14} \frac{m}{cm^2 s}$, $M \approx (1.1 \pm 0.8) M_\odot$.

3. Felgyorsulás.

Ok: csillagengergás.

$$\dot{\Omega}(t) = \Omega(t) + (\Delta \Omega_0)(Q e^{-\frac{t}{T}} + 1 - Q)$$

Belső szerkezetre lehet következtetni.

4. Felgyorsulás gyakorisága: Már a Vela és a Rökl-körök esetén.

$$\frac{\Delta \Omega}{\Omega} \approx \begin{cases} 10^{-4} & \text{Vela} \\ 10^{-6} & \text{Rökl} \end{cases}$$

Szerkezet, belső feszültség műs.

b) Pulszár hozzácsatlakozik:

Hér X-1, $M=1.33 M_{\odot}$

Röntgenpulszárása periodus 1.24 s

Binér forgás 1.7 nap, látható a partner mozgásiból. Relativisztikus processzió 35 nap.

Pulszáró oka: anyag ledrámlás partnertől, felmelegszik 10 millió fokra. Röntgen sugárzás. Az akkredit 15-60-szer annyi energiát szabadít fel, mint a H füstje. A kvarc energiája is innen van.

Vannak más pulsárok, ahol a beszűkített anyag felgyorsítja a forgást. (600/s).

A fekete lyuk összenyomja a mágneses teret, nem lehet pulsár.

Binér rendszerben lehet röntgen pulsár vagy burst. A pulsár fatal, nagy tömegű, partnere kék csillag, a másik tiszta. Utóbbi lehet supernova eredménye. Mágneses térenősség különbség: 50 ms pulsár és partner tömege mindigelyik kb. $1.4 M_{\odot}$.

Gravitációs hullámokra mérés lehetősége: ismerve a két tömeget, a binér pulsár periódusa 75 millimás-nal kell hogy szükkjenjen évente. Mérés: 76 ± 2 ms. Méretlökésg ola: pulsár periódus (nem orbitális) évente 0.25 ms. 50000-szer kisebb mint a Rák-köröké.

Binér rádió pulsárok is vannak. A partner fehér törpe vagy neutroncsillag, valaha röntgen binér volt, előzőben felgyorsult. Van egyetlennel is. 1.56 ms, 10000-szer gyengébb mágneses tör. Partner elszakadt.

8. fejezet

Kozmológia

Newtoni program: mozgásegyenlet. Az kezdeti feltétel:

$$\frac{d^2 y}{dt^2} = F(y), \quad y(0) = a.$$

A kezdeti feltétel specifikus, elhelyett állandó Univerzum feltevés. A mozgásegyenletek egyenletei megoldhatók kell keressük:

$$F(y_0) = 0, \quad \frac{dy}{dt} = 0.$$

A legfontosabb paradoxonak:

1. Clausius-hálál: minden intenzitásparaméter kiegyenlítődik, kémiai és termodynamikai egyensúly. Ma nincs!
2. Seeliger paradoxon: Ha gravitációs terék, erő, gyorsulás.

$$\nabla^2 \Phi = 4\pi G \rho.$$

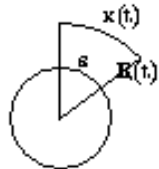
Az egyenletek statikus megoldása csak $r=0$ esetén van. Még Einstein is keresteti ilyet.

8.1. A modern kozmológia kezdetei

1. Friedman: mozgásegyenletek nincs statikus megoldása. Vagy közelebbílik, vagy távol az Univerzum.
2. 1929. Hubble törvény: az Univerzum minden irányban egyenletesen távolul (A távolulás megoldja hálál problémát.)
3. Fekete test sugárzása. $T=2.75$ K-nak megfelelő háttérugrás van. Magának egyenletes.

1. és 2. következménye:

Tegyük fel egy homogen isotrop Univerzum létrehozását. (nagy skálán az igaz). Ekkor

$$\begin{aligned} x(t) &= aR(t), & v(t) &= a\dot{R}(t). \\ \text{s } R(t) & \text{ állandó vertített távolság} \\ v(t) &= \frac{\dot{R}(t)}{R(t)}x(t) = H(t)x(t), \\ H(t_{max}) &= H_0. \end{aligned}$$


Hubble törvény:

$$\sigma = H_0 r.$$

Távolodás során vörösebbelődés. A Wien félle eltolódási törvény szerint:

$$\lambda_{\text{max}} \sim T^{-1},$$

de az eltolódékból

$$\lambda \sim R(t)$$

Így a hőmérséklet:

$$T \sim R(t)^{-1}.$$

Doppler effektus van a távolodás miatt, a hullámhossz változik:

$$\frac{\lambda_0}{\lambda_t} - 1 = z, \quad \frac{\lambda_0}{\lambda_t} = \frac{R(t_0)}{R(t)}$$

Itt λ_t a kibocsátott hullámhossz, λ_0 a mért t_0 időben.

A z Doppler eltolás arányos távolsággal. Ebből az Univerzum kora meghatározható. Amikor távolságok névezők, az R skálafaktor névre:

$$H_0 = \frac{9.78}{h} 10^9 \text{ km/s}, \quad t = H_0, \quad 0.1 \leq h \leq 1.$$

A fekete test sugárzás energiasűrűsége:

$$\rho(t) = \alpha T^4.$$

A hőmérséklet, mint láttuk $T \sim R(t)^{-1}$ így a sugárzás energiasűrűsége:

$$\rho_t \sim R(t)^{-4},$$

míg az anyag:

$$\rho_m \sim R(t)^{-3}.$$

Ma jóval több sugárzás szűrűsége, mint anyag, valaha nagyobb volt. A korai időszakban a sugárzás dominált.

8.2. A newtoni Univerzum fejlődése

A gravitáció erő

$$F = \frac{GMm}{r^2}, \quad M = \frac{4\pi}{3} r^3 \rho.$$

A teljes energia

$$E_{\text{tot}} = \frac{1}{2} m v^2 = \frac{GMm}{r} - \frac{1}{2} m r^2 [H(t)^2 - \frac{8\pi}{3} G\rho] \leq 0.$$

Az energia negatív illetve pozitív értéke meghatározza az Univerzum tágulását. A kritikus szűrűség:

$$\rho_{\text{krit}} = \frac{3H^2}{8\pi G} \sim (1-16) \cdot 10^{-27} \frac{\text{kg}}{\text{cm}^3},$$

$$\Omega = \frac{\rho}{\rho_{\text{krit}}}.$$

($\rho_{\text{krit}} = 5 \frac{H_0^2 c m}{m^3}$, nagyon jó valószínűben $2 \cdot 10^{11} \frac{\text{molakülén}}{\text{m}^3}$).

Az energia átfiratott sebesség korábbi definíciójával. Bevezetve a $k = -\frac{2E_{\text{tot}}}{m v^2}$ kifejezést:

$$\dot{R}^2 = R(t)^2 \left[\frac{8\pi}{3} G \rho(t) - H^2(t) \right],$$

azaz m-től és x-től független egyenletet kapunk. Ha $k=0$, a differenciál egyenlet könnyen megoldható. Ha az anyagátrilégtől függ:

$$\begin{aligned}\rho &\sim R^3, & \frac{\dot{R}^2}{R^2} &= \frac{8\pi}{3} G \rho, & \dot{R}^2 &\sim \frac{1}{R}, & R(t) &\sim t^{\frac{2}{3}}, \\ H(t) &= \frac{2}{3}t, & \Rightarrow \tau &= \frac{3}{2}H_0,\end{aligned}$$

és megkaptuk $R(t)$ időfüggését.

Sugárzás esetben az egyenlet megegyezik:

$$\begin{aligned}\rho &\sim R^{-4}, & \frac{\dot{R}^2}{R^2} &\sim R^{-4}, & R(t) &\sim t^{\frac{1}{2}}, \\ \frac{\rho_x}{\rho_x} &= -4 \frac{\dot{R}}{R} \sim \sqrt{\frac{8\pi}{3} G \rho_x}, & \rho_x(t) &= a T^4, & \rho_x &\sim \frac{1}{t^2},\end{aligned}$$

és a hőmérséklet időfüggése:

$$T(t) \sim t^{-\frac{1}{2}}.$$

Az Universum tágulása miatt, ahogy az elvárásból látható.

Az energiatípus $e(t) = \rho(t)c^2$ és így a $V(t) = V_0 R^3(t)$ térfogatban az energia:

$$E(t) \sim \rho(t)V(t).$$

A tágulás során a rendszer numlik véget:

$$dE = -pdV, \quad E = -3 \frac{\dot{R}}{R} \rho(t)V(t).$$

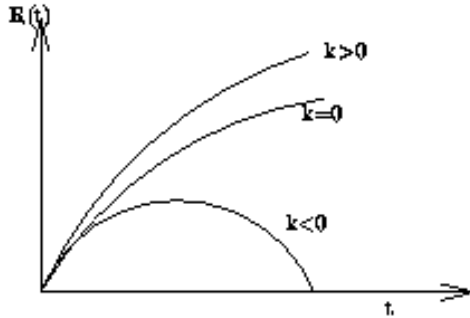
Ebből megkaphatjuk egy ideális gázra a stárlégt változásait:

$$\begin{aligned}\rho dV + V d\rho &= -pdV, \\ \rho &= -(\rho + p) \frac{V}{V} = -3(\rho + p) \frac{\dot{R}}{R}, \\ \rho &= -3 \frac{\dot{R}}{R}, \\ \dot{R}^2 &= \frac{8\pi}{3} G \rho R^2, \\ 2\dot{R}\ddot{R} &= \frac{8\pi}{3} G (\lambda R^2 + 2R\dot{R}\rho), \\ \ddot{R} &= -\frac{4\pi}{3} G \rho(t) R(t).\end{aligned}$$

Az Einstein egyenleteket használva az elso egyenlet, ami az energia megharadását írja le, változatlan.

$$\dot{R}(t)^2 = -k + \frac{8\pi}{3} G \rho R^2$$

k különböző értékel a különböző tágulási módszereknek (elliptikus, parabolikus, hiperbolikus) felelnek meg (hasonlóan, mint a bolygómozgásnak a pálya).



A második egyenlet relativisztikus esetre írásakor

$$\ddot{R} = -\frac{4\pi}{3}G(\rho + 3p)R,$$

ami

$$dE + pdV = 0$$

alakban írható egyenlet esetére. Ez az egyenlet az adiabatikus tágulást írja le. Ha a nyomás nem négyes az energiaváltozás sem az.

Az Universumban minden energia megnőni fog!

Ha R csökken, E és M nő,

$$M \sim \rho \sim \frac{1}{R^3},$$

$$E \sim M.$$

Finom egyenlet, nehéz látványosan $\frac{E_{kin}}{E_{pot}} \rightarrow 1 - t$.

Ha

$$\frac{E_{kin}}{E_{pot}} - 1 \sim \begin{cases} 10^{-4} & T \sim 1 \text{ eV}, \\ 10^{-16} & T \sim 1 \text{ MeV}, \\ 10^{-20} & T \sim 100 \text{ MeV}, \\ 10^{-50} & T \sim 15 \text{ GeV}. \end{cases}$$

$P \rightarrow 0$ esetén M és R ellentétesen változnak, viszont előbb haladva $\frac{M}{R}$ nő, E_{pot} nő, $\frac{E_{kin}}{E_{pot}} \rightarrow 1 - t$. Ez egy kördei feltétel probléma. Megoldható, ha felteassuk, p nem minden pozitív. (Ilyen van nehézben reakciókban is, instabilitás)

A negatív p jelentések megértéséhez nézzük általában p jelentését. Bevezethetjük az effektív tömeget:

$$\ddot{R} = -\frac{4\pi}{3}G(\rho + 3p)R = -\frac{GM_{eff}}{R^2}$$

$$M_{eff} = \frac{4\pi}{3}R^3(\rho + 3p)$$

Kördei formában Universumban a sugárzás $p = \rho/3$.

$$\dot{M}_{eff} = 2M$$

Negatív nyomás gravitációban kompenzázza a tömegtörlésget (antigravitációt), gyorsulás $\rightarrow 0$. Tömeg termelik, éppen úgy hogy $\frac{M}{R}$ állandó legyen.

Nem csak megállítani lehet a fükezetlétet, de megfordítani is. Ha felteassuk, hogy

$$p = -\rho$$

$$\frac{GM}{R} \sim R^3, \quad R \sim e^{kt}, \quad \dot{M}_{eff} = -2M.$$

Ilyenkor $p + \rho = 0$ (legnegatívabb lehetséges nyomás) A speciális krendel feltételeit krendel negatív nyomás esetlegességekben is teszi.

8.3. Extrapoláció viszsa

Hátorszámok Universumot. Kik előidézik

$$T = (1+z)T^0, \quad \begin{aligned} & \text{fotonra:} \\ & E_{\text{mag}} \sim (1+z)^4 E_0 \end{aligned}$$

A hőmérséklet, sugárás energia illetve nyugalmi energia változása az időszakokban során:

$$E_m \sim (1+z)^3 E_0.$$

* $z = 1500, T = 4000K$ – A hidrogén atom ionizálódik. Korábban plasma volt. A compton szűrés mellett egyenletesen van elektron és foton közt. minden szerkezet foton szűrésben ekkor keletkezik, a hőtérsegérválasztóval előzés után. Mégpontot figyeljük meg.

* $z \sim 10^9, T \sim 3 \cdot 10^9 K$ – ekkor $\sim MeV$ nagyságrendű fotonok, szétverik magot. A mai elemek itt keletkeznek. Korábban csak nukleonok voltak.

* $z \sim 3 \cdot 10^9, T \sim 10^{10} K$ – párolgás. Termodynamikai egyensúly e^-, e^+, γ között. A részeseket szírták meg tipikus laboratóriumi szírtás.

* $z \sim 10^{13}, T \sim 3 \cdot 10^{13} K$ – antinépek keletkezése. A teljes szírtás még mindig kisebb mint ρ_n .

Még tovább visszanévre törént a kvarkanyag keletkezése. Az Universum nuklearisfejlődése (amikor még a magféllel fontos) akkor kezdődik, amikor a bárkok megjelennek.

A részeseket egyenestílusban vannak a sugárásnal nagy energián. Amíg $mc^2 \sim E$, ugyanolyan gyakoriak, mint a fotonok, mert keletkezni tudnak.

$$2\gamma \rightleftharpoons \pi + \pi.$$

Protonok és neutronok addig vannak egyenestílusban, amíg a kükösítés ideje eléri, át tudnak alakulni egymásba.

$$n + \nu \rightleftharpoons p + e^-,$$

$10^{15} K$ körül ez gyakori folyamat. Amikor ν kifagy

$$\frac{[n]}{[p]} = e^{-\Delta E c^2 / kT}.$$

Kb. $10^{10} K$ -nál a gyenge kölcsönhatás ideje hosszabb mint az Universum addigi kora (is), utána a neutronok már csak bomlanak, illetve magokba rendeződnek. Könyvti magok ($D, ^3He, ^4He, ^7Li$) keletkeznek.

Vizsgály Ásványok, amiket ma látnunk, öt értekelől függ. 4He elégére független ($2.15/115 \sim 25\%$). A hőnyuf elemek gyakorisága megnövekedik, mert nyíl borítás engye van az Universumban.

Mindenesek a jelenségek (nukleosintézis, hőtérsegérválasztás, stb.) bizonyítják a Big-Bang-et.

8.4. Big Bang modell

Fellelősek:

1. A fizikai törvények nem változtak (állandók változhatnak).

2. Formál, egyenletes gáz van az Universumban, termikus egyenlősély.
3. Gáz és téz együtt fejlődik.
4. Az anyag állapotában és a sugárzásban bekövetkező változások olyan simák, hogy az Universum termofizikai fejlődésében nem játszanak szerepet.
5. Az Universum nagy skálán homogén: minős el és körül.

Kötélezetek mérő vonatkozásban

1. Tágulás, vörösebbelőrök.
2. Mikrohullámú háttérangyrács (fekete test).
3. p , α és egyéb kölönnyű elemek viszonya.

A sikerek minden az elso másodperc után vannak csak!

A problémák minden a kezdeti felhalmozási jövnek:

1. A háttérangyrácsban fotóknál letröptör van, ami termikus egyenlősélyt jelent. Ma ez nincs. Hogyan jött ki az Universum a termikus egyenlőségből?
2. A horizontális problémája: az okszig elve miatt az Universum egyes részei soha nem lehettek körülölelhetők a γ sugárzás kibocsátásakor, mégis a γ sugárzása nagyon sima. Horizontális távolság: az a maximális távolság, amit a fény megtehetett az Universum kezdete óta. Unformáltsági kérdés feltehető?
3. Nagyon speciális kérdések feltételek esetében az anyagelosztásra. $\Omega \sim 1$ az indulás, de attól kivétel elhagy. Simaság!
4. $\frac{[E]}{[r]} \sim 10^{-6}$ Hogyan jött ki egy ilyen arány?
5. A galaxisok (nagy méretű struktúrák) keletkezése nem magyarázható meg.
6. Az antilanyag hiánya
7. Távololdalán $E_{kin} \sim E_{pot}$. Miért?

A kérdések egy részére a GUT tud választ adni.

Big-bang időskála

Idő	Hőmérséklet	Energia	Lehetőséges jelenség
10^{-44} s	10^{34} K	10^{19} GeV	Kvantum gravitáción
10^{-37} s	10^{29} K	10^{16} GeV	Erős, elektromágneses és gyenge kölcsönhatás egyensúly
10^{-33} s	10^{27} K	10^{14} GeV	Az anyag predominanciája az antilanyag felett.
10^{-9} s	10^{15} K	10^3 GeV	A gyenge kölcsönhatás levéllek
10^{-2} s	10^{13} K	1 GeV	A kvarkokból kialakul a p és a n
100 s	10^6 K	10^{-4} GeV	Nukleonok kialakulása: He, D kialakulása
10^6 év	10^3 K	0.1 eV	Rotacionális, a háttérangyrács eredete
10^{10} év	3 K	10^{-5} eV	Galaxisok kialakulása
$\sim 10^{13}$ év	?	?	Az anyag szépporlat vagy gravitáció kollapsusa

8.5. Az élet kialakulásának és az interstelláris közlekedésnek feltételei

Az élet kialakulásának a feltételeit néhány pontosan meghatározni, bonyoltságos alapvető összefüggéseket, azonban a körföldményeknek ki kell elégíteniük. Ezek minden összefoglalva a következők:

- A víz folyékony állapotban való jelenlété. Ez a feltétel ugyanis valószínűleg a strukturális képződésre vezető kémiai reakciók alapja. A kémiai kötősek többféleképpen lehetnek, de a legbonyolultabb fehérjémolekulák hidrogén kötőszellemek, ezek kialakulásához víz kell. Jóval számos fok alatti hőmérsékleten a hidrogénköti látványtól jégoldalban tülsígesen lázad folyamat, magas hőmérsékleten viszont a struktúra elborul.
- Ne legyen koncentrált szabad áram (ionizáló sugár stb.) jelen, amely a komplex struktúrákat elbontja. Sérülés van olyan védelemre, amely a világjár sugárnyára nem hatolhat. Itt alábbi nélküli A Föld körül ilyen védelmet a levegő réteg jelent.
- Az élet kialakulása lázad, milliárd éves folyamat. Sérüléses, hogy annyi időn át az élethez szükséges hőmérséklet, legyen a bolygó, amely nem változhat tülsígesen pl. Napközel-Naptávol vagy hasonló okok miatt.

Ez a három követelmény nem tülnik tülsígesen soknak, mégis ennek megtervezése, mely csillag bolygóján keresztül az életre alkalmas körföldményeket. Ezek a megtervezések a következők:

- A csillag nem lehet kettős csillag. Kettős csillag esetén a bolygó olyan hosszan elnyújt ellipszközön kering, hogy napközelnaptávolban túl nagy a hőmérsékletkülönbség. A csillagok 60%-a kettős csillag, a c) követelmény ezeket automatikusan kizára.
- A csillag nem lehet tülsígesen nagy, ekkor ugyanis a csillag gyorsan fejlődik, a hidrogén-hélium égés túl gyorsan megy vége, emberi élet kialakulására nem elég a bolygó az idő, legfeljebb primitív élet várható.
- A csillag nem lehet tülsígesen kicsiny, ekkor ugyanis kicsi körföldje az a blokkban, ahol az élet kialakulásra alkalmasak a körföldmények és kicsi annak a valószínűsége, hogy ebben a tartományban egy bolygó van.
- A Naprendszeren belül az impulzusmomentum 99,5%-át a bolygók képviselik, illetve csillagok impulzusmomentuma viszont magára a csillagokra koncentrálódik, ezeknek feltehetőleg nem volt még idejük bolygó létrehozni vagy befogni maguk köré. Olyan csillagot kell tehát keresniük, amelynek kicsi az impulzusmomentuma.

Mindenek a körföldmények elágéjében lehetségesek azon csillagok számát, amelyek körföld keringő bolygókon feltételezhetők, hogy élet van. A hosszúk legközélebbi olyan csillag, amely a fenti körföldményeket mind kielégít, a 10 fénnyévre levő Tau Ceti.

Az emberiségnak rágó vágya a csillagok kötet utazni, és mitől a világűrbe rakéta emberérek utaznak, természeti szerepkörök az a feltevés, hogy nemcsak más emberiségek lakott keresik fel interstelláris rakétáink. A probléma azonban nem ilyen egyszerű. Ha az interstelláris térben könnyül lenne utazni, várható, hogy más csillagoval bolygóink fejlettebb emberiségek megélhetővé volta már a Földet. Eddig azonban kizárt a repülő csillagokat és a "Jövő Emlékek"-ben próbálták bizonygatni, hogy bonyolycsökkenésük csökken a csillagokra koncentrálódik, ezeknek feltehetőleg nem volt még idejük bolygó létrehozni vagy befogni maguk köré. Olyan csillagot kell tehát keresniük, amelynek kicsi az impulzusmomentuma.

Ha valaki a Tau Cetini akarna eljutni, 20 fényév távolságnyi utat kell oda vissza megtennle. Ha a rakéta fénysebesség felével halad, akkor is 40 év: egy emberélet. Ezalatt a normális élet környezetéhez kell hozzájárni, azaz családjához, táplálék előteremtésére, gyógykezelésre, tisztta ruhanemű felvételére stb. mind minden gondolni kell. Mekkora lehet az a rakéta, amelyik mindenbőven elegendő anyagot visszamagával, 8-10 ember életéhez szükségeset biztosítja 40 évre? Ez az a nagy tömeget olyan nagy energiával kell felükni, hogy a Föld vonzerejének és a Naprendszer vonzerejének elhagyása után a sebessége még mindig a fénysebesség fele legyen. Erre valóban nincs a Föld egész ismert energiakészlete nem lenne elegendő. De tegyük fel, hogy a rakétát kifizetik ilyen sebességgel: hogyan lassul azután le a Tau Ceti terébe érve? Az biztos, hogy az ehhez szükséges energiát már nem visszamagával és ha az ittja körben talált interstelláris anyagot 100%-osan energiává alakítja át, akkor sem elég erre az energiára. Az egyetlen előlgazdálkodás magyarázat az, hogy a fogadó bolygó kell, hogy lelassítja a rakétát. Jelen tudásunk szerint ugy tünik, hogy az interstelláris közelekedés elengedhetetlen feltétele az interstelláris beszélgetés.

Az interstelláris beszélgetést a Föld már megkezdte. Hatalmas adók próbálkozzanak rendszeresen súrlódottak a Tau Ceti felé forróulva a legalacsonyabb prímásokat egymás után. Ki tudja? Talán hihetetlenül néhány évnél vissza is kerülünk.